



Jiná ověření:

Paré:


Orientační schéma:



Razítko oprávněné osoby:

Podpis:

Datum:

Revize:	Datum:	Popis:	Kontroloval:
[000]	[06/2023]	Definitivní odevzdání dokumentace	Ing. L. Marek

Stavebník/Investor:	Správa železnic, státní organizace		SPRÁVA ŽELEZNIC
Adresa:	Dlážděná 1003/7, 110 00 Praha 1		
Zástupce investora:	Stavební správa západ, Diamond Point		
Adresa:	Ke Štvanici 656/3, 186 00 Praha 8 – Karlín		

Zhotovitel díla:	TOP CON SERVIS s.r.o.	
Adresa:	Ke Stírce 1824/56, 182 00 Praha 8	
Kontakt:	T: +420 284 021 740 E: topcon@topcon.cz	
Zhotovitel části/objektu:	TOP CON SERVIS s.r.o.	
Adresa:	Ke Stírce 1824/56, 182 00 Praha 8	
Kontakt:	T: +420 284 021 740 E: topcon@topcon.cz	
Hlavní projektant (HIP):	Ing. Libor Marek	Specialista: Ing. Libor Marek

Název stavby/akce:	Rekonstrukce mostů v km 72,637 a 72,721 trati Domažlice - Planá	Označení investora: S632100043
		Zakázka: 74-21
Název části:	Mosty, propustky a zdi	Označení části: D.2.1.4
Název objektu/dílčí části:	Most v ev. km 72,637	Označení objektu/komplexu: SO 11-20-02
Název přílohy:	Statický výpočet	Číslo přílohy (typ/pořadí): 3. 001
Název dílčí části přílohy:		
Odpovědný projektant:	Zpracovatel přílohy:	Měřítko: -
Ing. Tomáš Vejběra	Ing. Tomáš Vejběra	Formáty: -
Kraj:	Katastrální území:	TUDU:
Plzeňský	Tachov	0331 38
		Smluvní datum zpracování: 06/2023

Označení investora:	Stupeň dokumentace:	Část:	Objekt:	Podoblast:	Příloha:	Revize:
S 6 3 2 1 0 0 0 4 3	- P D P S	- D 2 1 0 4	- S O 1 1 2 0 0 2	- X X	- 3 - 0 0 1	- 0 0 0

[Prostor pro další informace]

**Rekonstrukce mostů v km 72,637 a 72,721 trati
Domažlice - Planá**

**DOKUMENTACE PRO VYDÁNÍ SPOLEČNÉHO POVOLENÍ
STAVBY (DUSP + PDPS)**

SO 11-20-02 – Most v ev. km 72,637

**STATICKÝ VÝPOČET NOSNÉ
KONSTRUKCE**

Obsah:

1. Úvod.....	4
1.1. Identifikační údaje.....	4
1.2. Základní údaje pro návrh mostu.....	4
1.3. Přehled značek a symbolů.....	4
1.3.1. Zatížení, vnitřní síly, posouzení průřezu.....	4
1.3.2. Materiál.....	5
1.3.3. Průřezové charakteristiky.....	5
1.4. Materiálové charakteristiky.....	5
1.5. Předpoklady a postup výpočtu.....	6
1.6. Použitá literatura.....	6
1.6.1. Normy.....	6
1.6.2. Literatura.....	6
1.7. Použité programy.....	7
2. Popis nosné konstrukce.....	7
2.1. Vzorový příčný řez.....	7
2.2. Půdorys.....	8
2.3. Podélný řez a pohled.....	9
3. Popis výpočetního modelu.....	10
3.1. Schema NK.....	11
3.2. Značení prvků hlavních nosníků.....	12
3.3. Značení prvků příčný řez.....	13
4. Zatížení.....	14
4.1. Stálé (G).....	14
4.1.1. Vlastní tíha.....	14
4.1.2. Ostatní stálé.....	14
4.2. Proměnné (Q).....	15
4.2.1. Svislé zatížení železniční dopravou.....	15
4.2.2. Boční rázy.....	15
4.2.3. Rozjezdové a brzdné síly.....	15
4.2.4. Zatížení teplotou.....	17
4.2.5. Zatížení od bezstykové koleje.....	17
4.2.6. Zatížení neveřejných služebních chodníků.....	17
4.2.7. Třecí síly v ložiskách.....	18
4.2.8. Vykojení a jiná zatížení železničních mostů.....	18
4.2.9. Zatížení větrem.....	18
4.3. Schéma zatížení příčného řezu.....	19
4.3.1. Zatížení stálá.....	19
4.3.2. Zatížení proměnná.....	20
4.3.3. Rozhodující nebezpečné kombinace zatížení.....	20
5. Mostovka.....	21
5.1. Příčníky.....	21
5.1. Plech mostovky.....	32
6. Hlavní nosníky.....	36
6.1. Dolní pás.....	36
6.1.1. Průřezové charakteristiky.....	37
6.1.2. Vnitřní síly.....	37
6.1.2.1. N4-L: střed rozpětí prutu.....	37
6.1.2.2. N-4-L: styčník 4.....	38
6.1.3. Mezní stav únosnosti.....	39
6.1.3.1. Posouzení průřezu N4-L – $dx=1/2L$	39
6.1.3.2. N-4-L: styčník 4.....	40
6.1.4. Mezní stav únavy.....	42
6.1.4.1. Průřez viz 6.1.1.....	42
6.1.4.2. Vnitřní síly N4-L.....	42
6.1.4.3. Posouzení.....	42

6.1.4.4.	Průřez viz 6.1.1	43
6.1.4.5.	Vnitřní síly N4-L - styčník	43
6.1.4.6.	Posouzení.....	44
6.1.5.	Zatížitelnost.....	44
6.2.	Horní pás	45
6.2.1.	Průřezové charakteristiky	45
6.2.2.	Stabilitní výpočet	46
6.3.	Řez 1	47
6.3.1.	Vnitřní síly	47
6.3.2.	Mezní stav únosnosti.....	48
6.3.3.	Mezní stav únavy	51
6.3.4.	Zatížitelnost.....	52
6.4.	Diagonály.....	53
6.4.1.	Průřezové charakteristiky	53
6.4.2.	D2 – maximální tlačená diagonála.....	57
6.4.2.1.	Vnitřní síly	57
6.4.2.2.	Mezní stav únosnosti	58
6.4.2.3.	Mezní stav únavy	60
6.4.2.4.	Zatížitelnost.....	61
6.4.3.	D3 – maximální tažená diagonála	62
6.4.3.1.	Vnitřní síly	62
6.4.3.2.	Mezní stav únosnosti	63
6.4.3.3.	Mezní stav únavy	65
6.4.3.4.	Zatížitelnost.....	65
6.4.4.	D4	66
6.4.4.1.	Vnitřní síly	66
6.4.4.2.	Mezní stav únosnosti	67
6.4.4.3.	Mezní stav únavy	69
6.4.4.4.	Zatížitelnost.....	70
6.4.5.	D5	71
6.4.5.1.	Vnitřní síly	71
6.4.5.2.	Mezní stav únosnosti	72
6.4.5.3.	Mezní stav únavy	73
6.4.5.4.	Zatížitelnost.....	74
6.4.6.	D6	75
6.4.6.1.	Vnitřní síly	75
6.4.6.2.	Mezní stav únosnosti	76
6.4.6.3.	Mezní stav únavy	77
6.4.6.4.	Zatížitelnost.....	78
7.	Dynamické chování konstrukce	79
8.	Reakce	82
9.	Deformace konstrukce	83
9.1.	Nadvýšení konstrukce.....	83
10.	Posouzení spodní stavby	84
10.1.	Úvod	84
10.2.	Návrhové zatížení	84
10.3.	Stavebně-technické podmínky	84
10.4.	Geotechnické podmínky.....	84
10.4.1.	Inženýrskogeologický průzkum	84
10.5.	Popis statického modelu	87
10.5.1.	Geometrie spodní stavby.....	87
10.6.	Předpoklady výpočtu.....	89
10.7.	Přílohy	89
	Tabulka zatížitelnosti.....	97
	Přehled zatížitelnosti částí mostu (dle S5/1).....	97

1. Úvod

Účel tohoto statického výpočtu je návrh hlavní nosné konstrukce a nových částí spodní stavby mostu SO 11-20-02 v ev. km 72,637 trati Domažlice – Planá u Mariánských lázní. Most se nachází v širé trati, v oblouku. Na mostě je navržen VMP 2,5.

1.1. Identifikační údaje

Název stavby:	Rekonstrukce mostů v km 72,637 a 72,721 trati Domažlice - Planá
Objekt:	SO 11-20-02 – Most v ev. km 72,637
Charakter stavby:	Rekonstrukce
Stupeň dokumentace:	Dokumentace pro společné vydání povolení stavby (DUSP) + Dokumentace pro provádění stavby (PDPS) (Obsah dokumentace je v souladu s vyhláškou 499/2006 Sb. Příloha 10)
Objednatel:	Správa železnic, s.o., Stavební správa západ
Správce:	Správa železnic, státní organizace, Oblastní ředitelství Plzeň, Sušická 1168/23, 326 00, Plzeň
Projektant:	TOP CON SERVIS s.r.o., Ke Stírce 56, Praha 8
Katastrální území:	Tachov (č.k.ú.: 764914)
Obec:	Tachov (560715)
Kraj:	Plzeňský
Trať:	Domažlice - Planá u Mar. Lázní
č. podle jízdního řádu:	184
č. dle prohlášení o dráze:	106 00
č. dle nákr. jízdního řádu:	717
TÚ:	0331 Havlovice (včetně) (býv. Paseč.) – Tachov (mimo)
DÚ:	38 – Tachov zastávka - Tachov
Vžitý název:	
Překonávaná překážka:	řeka Mže a její inundační část

1.2. Základní údaje pro návrh mostu

- jednokolejný most – trať v oblouku u $R=201\text{m}$
- přemostňovanou překážkou je trvalá vodoteč říčka Mže a její zátopové území
- doba životnosti 100 let
- prostý nosník o jednom poli- rozpětí 21,875 m uložený na kalotových ložiskách
- železniční svršek: kolejnice S49, ocelové pražce Y
- trať 3. třídy
- proměnné krátkodobé zatížení:
„model zatížení 71“ klasifikovaný součinitelem $\alpha = 1,1$, $V=60\text{km/h}$

1.3. Přehled značek a symbolů

1.3.1. Zatížení, vnitřní síly, posouzení průřezu

G_k	[kN/m ² ,m]	charakteristická hodnota zatížení – stálé (plošné liniové)
G_d	[kN/m ² ,m]	návrhová hodnota zatížení – stálé (plošné liniové)
Q_k	[kN/m ² ,m]	charakteristická hodnota zatížení – proměnné (plošné liniové)
Q_d	[kN/m ² ,m]	návrhová hodnota zatížení – proměnné (plošné liniové)
$\gamma_{Q,(G)}$	[-]	dílčí součinitel zatížení
N_{Ed}	[kN]	návrhová hodnota tlakové, tahové síly
M_{Ed}	[kN.m]	návrhová hodnota ohybového momentu
V_{Ed}	[kN]	návrhová hodnota posouvající síly
$N_{b,Rd}$	[kN]	návrhová vzpěrná únosnost tlačeního prutu
$N_{t,Rd}$	[kN]	návrhová únosnost taženího prutu
$N_{c,Rd}$	[kN]	pružná kritická síla pro příslušný způsob vybočení

λ	[-]	štíhlost
χ	[-]	součinitel vzpěrnosti
$\sigma_{x,Ed}$	[MPa]	podélná napětí
$\sigma_{z,Ed}$	[MPa]	příčná napětí
τ_{Ed}	[MPa]	smyková napětí
δ_i	[mm]	svislá výchylka, průhyb
δ_{lim}	[mm]	limitní svislá výchylka, průhyb

1.3.2. Materiál

E	[MPa]	modul pružnosti
G	[MPa]	modul pružnosti ve smyku
f_y	[MPa]	mez kluzu oceli
f_u	[MPa]	mez pevnosti oceli
$\gamma_{M,i}$	[-]	dílní součinitel spolehlivosti materiálu
ρ	[kg/m ³]	objemová hmotnost materiálu

1.3.3. Průřezové charakteristiky

ϕ	[mm]	průměr
A	[mm ²]	plocha průřezu
A_{vz}	[mm ²]	plocha stojny průřezu
A_{eff}	[mm ²]	efektivní plocha průřezu
b	[mm]	šířka průřezu
h	[mm]	výška průřezu
b_{eff}	[mm]	účinná šířka průřezu
β	[-]	součinitel účinné šířky průřezu
L	[mm]	délka
L_e	[mm]	náhradní délka
t	[mm]	tloušťka
t_f	[mm]	tloušťka pásnice
t_w	[mm]	tloušťka stojny
d	[mm]	výška stojny
I_y	[mm ⁴]	moment setrvačnosti k ose y
I_z	[mm ⁴]	moment setrvačnosti k ose z
I_k	[mm ⁴]	moment tuhosti průřezu v prostém kroucení
$W_{el,y}$	[mm ³]	elastický průřezový modul k ose y
$W_{el,z}$	[mm ³]	elastický průřezový modul k ose z
$W_{pl,y}$	[mm ³]	plastický průřezový modul k ose y
$W_{pl,z}$	[mm ³]	plastický průřezový modul k ose z
W_{eff}	[mm ³]	efektivní průřezový modul
i_y	[mm]	poloměr setrvačnosti k ose y
i_z	[mm]	poloměr setrvačnosti k ose z
y_c	[mm]	y – nová hodnota souřadnice těžiště
z_c	[mm]	z – tová hodnota souřadnice těžiště

1.4. Materiálové charakteristiky

Ocel S355 J2+N

E=210 GPa – Modul pružnosti materiálu

$f_y=355$ MPa – Jmenovitá hodnota meze kluzu materiálu pro tl. ≤ 40 mm.

$f_y=335$ MPa – Jmenovitá hodnota meze kluzu materiálu pro tl. > 40 mm.

$f_u=510$ MPa – Jmenovitá hodnota meze pevnosti materiálu pro tl. ≤ 40 mm

$f_u=490$ MPa – Jmenovitá hodnota meze pevnosti materiálu pro tl. > 40 mm

Dílčí součinitele spolehlivosti materiálu ocelových průřezů

- $\gamma_{M0}=1,0$ - Průřezy třídy 1,2,3
- $\gamma_{M1}=1,0$ - Průřezy třídy 4 a stabilitní posouzení prutu
- $\gamma_{M2}=1,25$ - Průřezy oslabené otvory
- $\gamma_{MF}=1,35$ - Součinitel spolehlivosti únavové pevnosti
- $\gamma_{Mw}=1,25$ - Součinitel svarových spojů
- $\gamma_{M}=1,0$ - Průřezy třídy 1,2,3,4 pro mimořádné zatížení

1.5. Předpoklady a postup výpočtu

Pro posouzení únavové pevnosti je uvažováno:

- Standardní doprava
- Objem dopravy – řád 6 - méně než $1,825 \cdot 10^6$ t/kolej za rok
- Doba životnosti 100 let

Postup výpočtu

Konstrukce byla posouzena v mezním stavu únosnosti, únavy a použitelnosti.

- příprava statického modelu nosné konstrukce
- výpočet vnitřních sil na konstrukci
- určení rozhodujících průřezů pro jednotlivé prvky n.k.
- návrh a posouzení n.k.

1.6. Použitá literatura

1.6.1. Normy

- 1) ČSN EN 1990 ed. 2 Zásady navrhování konstrukcí
- 2) ČSN EN 1991-1-1 Zatížení konstrukcí - Část 1-1: Obecná zatížení – Objemové tíhy, vlastní tíha a užitná zatížení pozemních staveb
- 3) ČSN EN 1991-1-4 Zatížení konstrukcí - Část 1-4: Obecná zatížení – Zatížení větrem
- 4) ČSN EN 1991-1-5 Zatížení konstrukcí - Část 1-5: Obecná zatížení – Zatížení teplotou
- 5) ČSN EN 1991-1-6 (+ZMĚNA Z1,Z2) Zatížení konstrukcí - Část 1-6: Obecná zatížení – Zatížení během provádění
- 6) ČSN EN 1991-1-7 (+ZMĚNA Z1) Zatížení konstrukcí - Část 1-7: Obecná zatížení – Mimořádná zatížení
- 7) ČSN EN 1991-2 Zatížení konstrukcí - Část 2: Zatížení mostů dopravou
- 8) ČSN EN 1992-1-1 ed. 2 Navrhování betonových konstrukcí – Část 1-1: Obecná pravidla a pravidla pro pozemní stavby
- 9) ČSN EN 1992-2 (+ZMĚNA Z2) Navrhování betonových konstrukcí – Část 2: Betonové mosty – Navrhování a konstrukční zásady
- 10) ČSN EN 1993-1-1(+ZMĚNA Z1) Navrhování ocelových konstrukcí – Část 1-1: Obecná pravidla a pravidla pro pozemní stavby
- 11) ČSN EN 1993-1-5(+ZMĚNA Z1) Navrhování ocelových konstrukcí – Část 1-5: Boulení stěn
- 12) ČSN EN 1993-1-8 Navrhování ocelových konstrukcí – Část 1-8: Navrhování styčnicků
- 13) ČSN EN 1993-1-9(+ZMĚNA Z1) Navrhování ocelových konstrukcí – Část 1-9: Únava
- 14) ČSN EN 1993-1-10(+Opr.1+2, ZMĚNA Z1) Navrhování ocelových konstrukcí – Část 1-10: Houževnatost materiálu a vlastnosti napříč tloušťkou
- 15) ČSN EN 1993-2 Navrhování ocelových konstrukcí – Část 2: Ocelové mosty
- 16) ČSN EN 1997-1 Navrhování geotechnických konstrukcí – Část 1: Obecná pravidla

1.6.2. Literatura

- 1) Rotter T, studnička J: Ocelové mosty, ČVUT Praha 2006
- 2) Rotter T, studnička J: Ocelové konstrukce 30 – Ocelové mosty, pomůcka pro cvičení, ČVUT Praha 2004

3) Studnička J.: Ocelové konstrukce normy, ČVUT 2011

1.7. Použité programy

- 1) Scia Engineer – program pro řešení prutových a deskových konstrukcí metodou konečných prvků.
- 2) IDA NEXIS 32 – program pro výpočet prutových, deskostěnových a skořepinových konstrukcí (Ida & spol. s.r.o. Brno, FEM consulting s.r.o. Brno, SCIA International, Belgie)
- 3) Autocad 2016 LT
- 4) MS Office 2013
- 5)

2. Popis nosné konstrukce

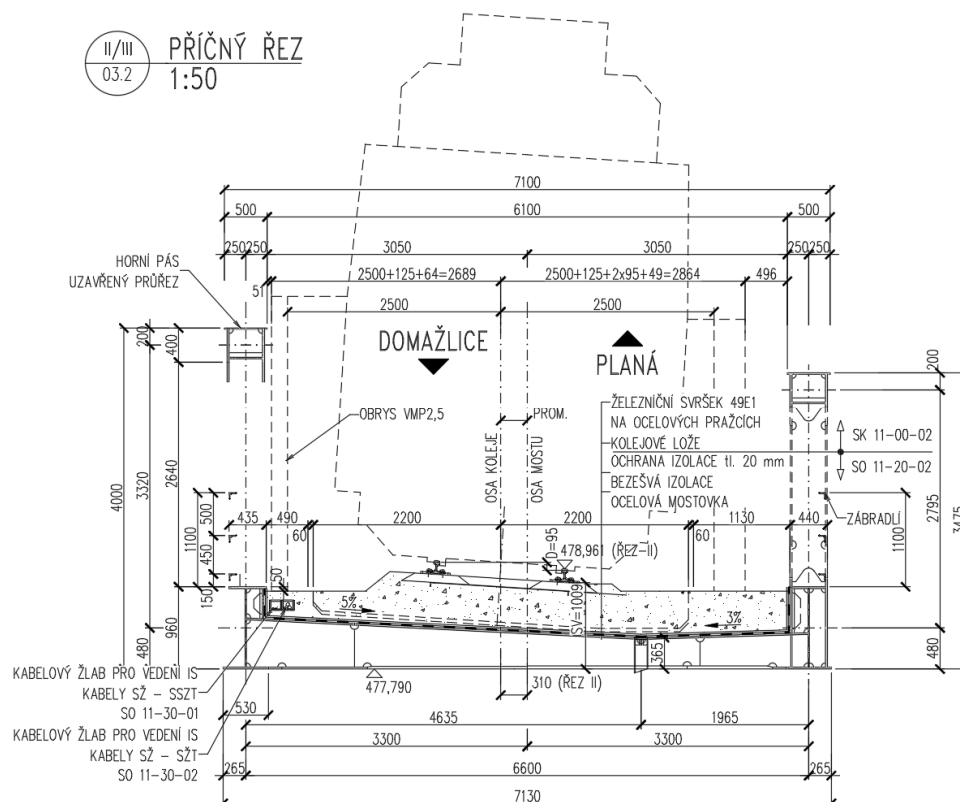
Je navržen ocelový svařovaný most s dolní příčnickovou mostovkou a průběžným kolejovým ložem. Dva hlavní křivopásové nosníky OK jsou tvořeny bezsvislícovou příhradovou soustavou. Konstrukce je uložena na sanované spodní stavbě se zesíleným podzákladem mikropilotami.

statická soustava:	prostorová příhradová konstrukce o 1 poli – prostě uložená
počet mostních otvorů:	1
délka přemostění	19,735 m
rozpětí:	21,875 m
stavební výška	1,009 m
šikmost mostu:	90°
šířka mostu:	7,10 m
volná výška nad hladinou:	cca 2,5 m

Uspořádání pod mostem

Most překračuje řeku Mži a její inundaci. Po rekonstrukci zůstane překračované území beze změny.

2.1. Vzorový příčný řez



[illegible]

IZJEDINJENI SPOREI KRETI NA ODOLIVOSTI PRIZNACI
KRETAJOĆI SE: 100, 200, 300, 400, 500, 600, 700, 800, 900, 1000
DREKCI ČAMCIJOVA MIN. T. 0,20 m FRANCE P-2A HINENJA PO VESTIHU: T. MAX 0,30 m W=0,95
DREKCI ČAMCIJOVA MIN. T. 0,50 m FRANCE P-40 HINENJA PO VESTIHU: T. MAX 0,30 m W=0,95
DREKCI ČAMCIJOVA MIN. T. 0,30 m FRANCE P-43A HINENJA PO VESTIHU: T. MAX 0,30 m W=0,95
VODOSTAJ IZOLACIJE: KRETAJOĆI SE: 100, 200, 300, 400, 500, 600, 700, 800, 900, 1000
VODOSTAJ IZOLACIJE: KRETAJOĆI SE: 100, 200, 300, 400, 500, 600, 700, 800, 900, 1000

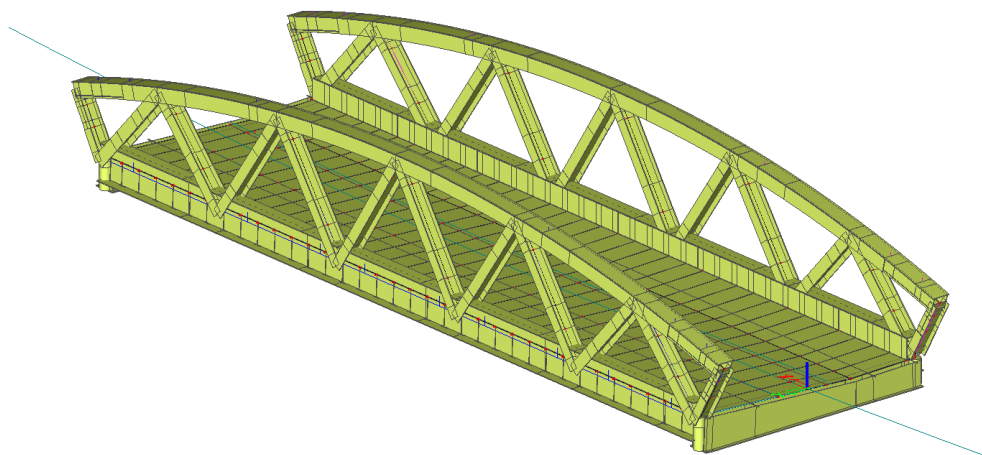


3. Popis výpočetního modelu

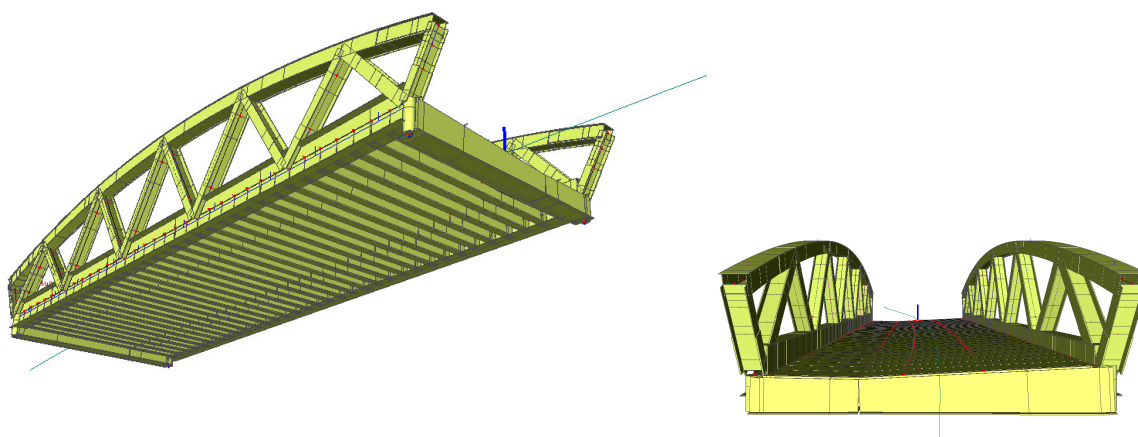
Pro výpočet globálních účinků zatížení a stanovení vnitřních sil byl vytvořen kombinovaný prostorový model. Je tvořen z prutových prvků kombinovaných s desko-stěnovými prvky. Průřezové veličiny modelovaných prutů odpovídají průřezovým charakteristikám skutečných prvků. V modelu není zahrnut vliv příčných výztuh hl. n. ani jiných konstrukčních výztuh. Tato skutečnost je zohledněna zvýšením zatížení od vlastní tíhy o 15%.

Do desko-stěnových prvků plechu mostovky byly vloženy prutové prvky příčných výztuh. Průřezy příčných výztuh jsou tvaru obráceného písmene T. Průřezy dolního pásu hl. n. jsou tvaru I s nesymetricky umístěnou horní pásnicí. Horní pásy jsou tvořeny uzavřeným průřezem. Diagonály hl. n. jsou tvořeny symetrickým průřezem ve tvaru písmene I. Pro vyhodnocení vnitřních sil v programu Scia Engineer bylo použito modulu „žebro“, který umožňuje automatický součet vnitřních sil prutového a desko-stěnového prvku z dané šířky včetně vlivu excentrického umístění desko-stěnového prvku k prutovému prvku. Podpory na začátku mostu jsou příčně pohyblivá a pevná, na konci mostu jsou voleny jako všesměrně pohyblivé a příčně pevné. Do výpočtu byla zavedena tuhost podpor zohledňující výrobní tolerance a určité „dosednutí“ ložisek.

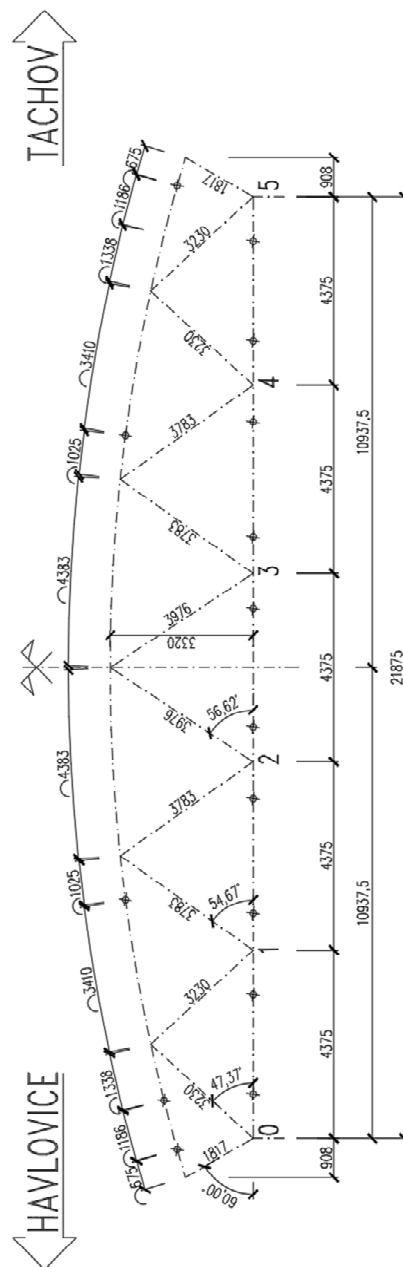
Pohled na konstrukci:



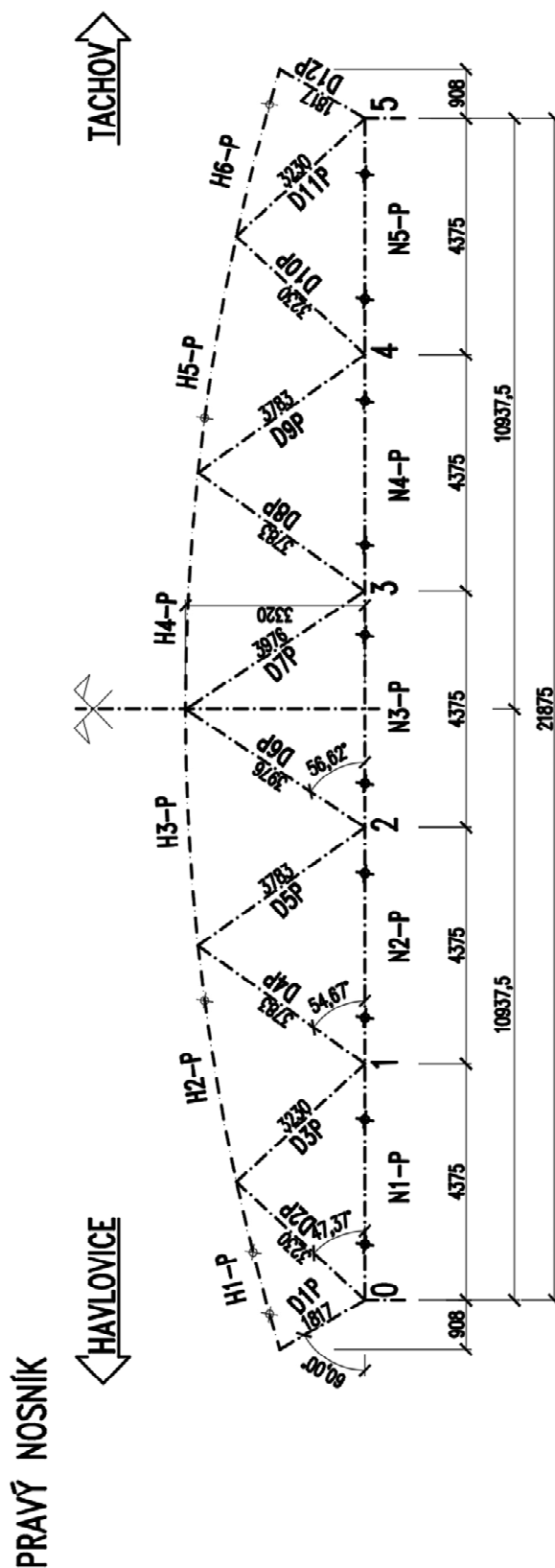
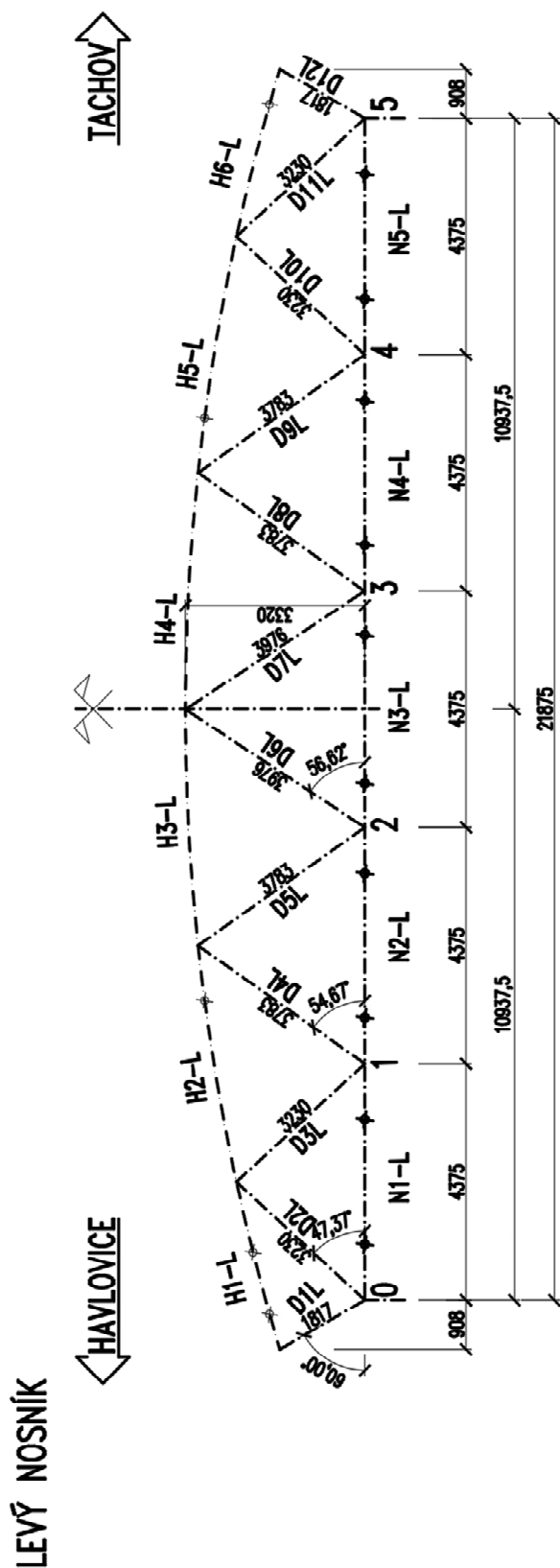
Podhled na konstrukci:



PODÉLNÝ ŘEZ – TEORETICKÝ TVAR HL. NOSNÍKU



3.2. Značení prvků hlavních nosníků



7100

HPx-L

HPx-P

Dx-L

Dx-P

BŽ-L

BŽ-P

NX-L

NX-P

PRx

PMx

PKx

HAVLOVICE

TACHOV

OSA KOLEJE

OSA MOSTU

PM

PLECH MOSTOVKY

4. Zatížení

4.1. Stálé (G)

Součinitel zatížení pro stálé zatížení je uvažován $\gamma_f=1,35$.

4.1.1. Vlastní tíha

Vlastní váha jednotlivých prutů je automaticky generována programem. Nezapočítané prvky jako jsou výztuhy atd jsou uvažovány jako 15% hmotnosti vygenerované výpočetním programem. Model je tímto zatížením rovnoměrně zatížen.

Pro výpočet kombinací je použit konzervativní výraz 6.10. Pro návrh dimenzí konstrukce je rozhodující převážně rozhodující únava materiálu a dodržení dynamického chování konstrukce, proto mezní stav únosnosti dle výrazu 6.10 ovlivní ekonomiku návrhu jen zanedbatelně.

4.1.2. Ostatní stálé

Pro stanovení horní a dolní charakteristické tloušťky kolejového lože se uvažuje odchylka od nominální tl. (v našem případě 0,58m) $\pm 30\%$.

A/ Svršek

		<i>normové zatížení</i>	γ_f
Štěrkové lože, izolace (šířky 6,171 m)	0,325*20	6,00 kN/m ²	1,35
	0,400*20	8,00 kN/m ²	1,35
	0,600*20	12,00 kN/m ²	1,35
	0,550*20	11,00 kN/m ²	1,35
	0,510*20	10,20 kN/m ²	1,35
Přetížení, kolejnic, upevnění na šířku 2,543 m pod kolejí		2,15 kN/m ²	1,35

A/ Svršek maximum

		<i>normové zatížení</i>	γ_f
Štěrkové lože, izolace (šířky 6,171 m)	0,325*20*1,3	7,80 kN/m ²	1,35
	0,400*20	10,40 kN/m ²	1,35
	0,600*20	15,60 kN/m ²	1,35
	0,550*20	14,30 kN/m ²	1,35
	0,510*20	13,26 kN/m ²	1,35
Přetížení, kolejnic, upevnění na šířku 2,543 m pod kolejí		2,15 kN/m ²	1,35

B/ Svršek minimum

		<i>normové zatížení</i>	γ_f
Štěrkové lože, izolace (šířky 6,171 m)	0,325*20*0,7	4,20 kN/m ²	1,35
	0,400*20	5,60 kN/m ²	1,35
	0,600*20	8,40 kN/m ²	1,35
	0,550*20	7,70 kN/m ²	1,35
	0,510*20	7,14 kN/m ²	1,35
Zábradlí (g_{zab}):		1,10 kN/m	1,35
Chodníky (g_{ch}):			
Vlastní tíha není uvažována		0,55 kN/m ²	1,35
Vedení IS v kabelovém žlabu (g_{is}):		~1,00 kN/m	1,35

4.2. Proměnné (Q)

4.2.1. Svislé zatížení železniční dopravou

Dle zadávací podmínky objednatele je uvažováno se zatížením ČSN EN1991-2 „model zatížení 71“ klasifikovaný součinitelem $\alpha = 1,1$.

Poloha pohyblivého zatížení byla určena tak, aby zatížení vyvolávalo maximální účinky v posuzovaných průřezech. Poloha koleje může mít odchylku od teoretické osy o 100 mm. Návrhová rychlost na trati v tomto úseku je 50 km/h.

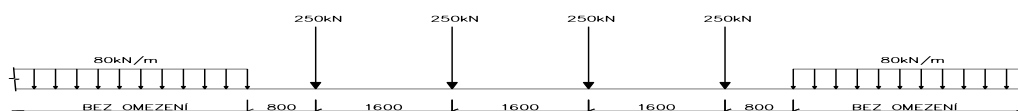
Řád koleje z hlediska přepočteného provozního zatížení viz mapa umístěná na stránkách SŽDC řád 6: méně než 1,825 mil. hrt/rok.

Ve výpočtu uvažuj s maximální krajní hodnotou 1,825 mil. hrt/rok.

Model zatížení 71

Bude násobeno $\alpha = 1,1$

$\phi_{2,3}$ = viz dynamické součinitele



Pro zatížení modelem zatížení 71 uvažován součinitel zatížení $\gamma_f = 1,45$.

Nezatížený vlak

($\gamma_f = 1,0$)

Svislé rovnoměrné zatížení 10 kN/m' koleje

4.2.2. Boční rázy

($\gamma_f = 1,45$)

Osamělá síla v nejúčinnější poloze ve výšce temene kolejnic

$B = 100 \cdot \alpha = 110 \text{ kN}$, působí v úrovni temene kolejnic

4.2.3. Rozjezdové a brzdné síly

($\gamma_f = 1,45$)

Vzhledem k délce konstrukce bude rozhodující rozjezdová síla

Redukční součinitel pro bezstylovou kolej:

$\xi = 1,00$... celková délka konstrukce < 40 m.

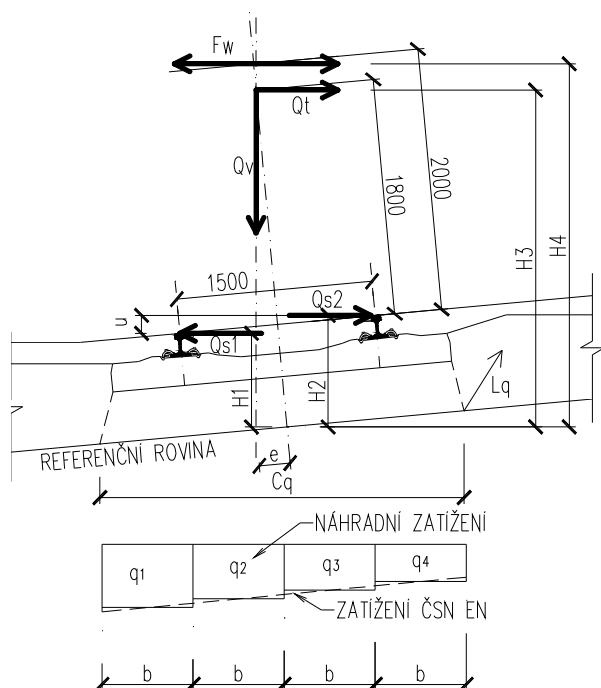
Rozjezdová síla: $Q_{lak} = \alpha \cdot 33 \text{ kN/m} \cdot L \leq 1000 \text{ kN}$

$$Q_{lak} = 1,1 \cdot 33 \cdot 21,875 = 794 \rightarrow 794 \text{ kN}$$

Brzdná síla: $Q_{lbk} = \alpha \cdot 20 \text{ kN/m} \cdot L \leq 6000 \text{ kN}$

$$Q_{lbk} = 1,1 \cdot 20 \cdot 21,875 = 481,3 \text{ kN} \rightarrow 481,3 \text{ kN}$$

K účinku na konstrukci se přihlíží. Pro návrh ložisek a úložných prahů se uvažuje.



Zatížení výpočetního modelu v těžišti desky mostovky

$u =$	95	mm
$H3 =$	2546	mm
$e =$	161	mm
$Cq =$	2543	mm
$b =$	636	mm

Svislé zatížení - model 71

Pro hlavní nosník

Zatížení

$Q_{v1} =$	250	kN
$Lq =$	1600	mm

Zatížení

$q_{v1} =$	80	kN/m
------------	----	------

$q' =$	61	kN/m ²	rovnoměrné
$q'' =$	23	kN/m ²	(±) "mašle"
$q_1 =$	79	kN/m ²	
$q_2 =$	67	kN/m ²	
$q_3 =$	56	kN/m ²	
$q_4 =$	44	kN/m ²	

$q' =$	31	kN/m ²	rovnoměrné
$q'' =$	12	kN/m ²	(±) "mašle"
$q_1 =$	40	kN/m ²	
$q_2 =$	34	kN/m ²	
$q_3 =$	28	kN/m ²	
$q_4 =$	22	kN/m ²	

Odstředivá síla - model 71

$V =$	55	km/h
$R =$	207	m
$f =$	1	
$H3 =$	2546	mm

Pro hlavní nosník

$Q_{v1} =$	250	kN
$Q_{t1} =$	28,8	kN

$q_{v1} =$	80	kN/m
$Q_{t1} =$	9,2	kN

$$L_q = 1600 \text{ mm}$$

$$\begin{aligned} q'' &= 42 \text{ kN/m}^2 & (\pm) \text{ "mašle"} \\ q_1 &= -32 \text{ kN/m}^2 \\ q_2 &= -11 \text{ kN/m}^2 \\ q_3 &= 11 \text{ kN/m}^2 \\ q_4 &= 32 \text{ kN/m}^2 \end{aligned}$$

$$\begin{aligned} q'' &= 22 \text{ kN/m}^2 & (\pm) \text{ "mašle"} \\ q_1 &= -16 \text{ kN/m}^2 \\ q_2 &= -5 \text{ kN/m}^2 \\ q_3 &= 5 \text{ kN/m}^2 \\ q_4 &= 16 \text{ kN/m}^2 \end{aligned}$$

Boční rázy

Působící do ve směru odstředivé síly

$$\begin{aligned} H1 &= 798 \text{ mm} \\ \text{Zatížení} &\text{ střední pražec} \\ Q_{S1} &= -50,0 \text{ kN} \\ L_q &= 533 \text{ mm} \end{aligned}$$

$$\begin{aligned} \text{Zatížení} &\text{ krajní pražec} \\ Q_{S2} &= -25,0 \text{ kN} \\ L_q &= 533 \text{ mm} \end{aligned}$$

$$\begin{aligned} q'' &= -69 \text{ kN/m}^2 & (\pm) \text{ "mašle"} \\ q_1 &= 52 \text{ kN/m}^2 \\ q_2 &= 17 \text{ kN/m}^2 \\ q_3 &= -17 \text{ kN/m}^2 \\ q_4 &= -52 \text{ kN/m}^2 \end{aligned}$$

$$\begin{aligned} q'' &= -35 \text{ kN/m}^2 & (\pm) \text{ "mašle"} \\ q_1 &= 26 \text{ kN/m}^2 \\ q_2 &= 9 \text{ kN/m}^2 \\ q_3 &= -9 \text{ kN/m}^2 \\ q_4 &= -26 \text{ kN/m}^2 \end{aligned}$$

4.2.4. Zatížení teplotou

($\gamma_f = 1,5$)

Rovnoměrná složka teploty

Konstrukce: 1. typ

$T_{k,max} = 40 \text{ }^\circ\text{C}$... max. teplota vzduchu ve stínu

$T_{k,min} = -32 \text{ }^\circ\text{C}$... min. teplota vzduchu ve stínu

$T_{e,max} = 40 + 16 = 56 \text{ }^\circ\text{C}$... max. teplota mostu

$T_{e,min} = -32 - 3 = -35 \text{ }^\circ\text{C}$... min. teplota mostu

Pro výpočet posunů ložisek a dilatací MZ budou brány hodnoty o $10 \text{ }^\circ\text{C}$ větší dle ČSN EN 1991-1-5.

$T_{e,max} = 46 + 10 = 56 \text{ }^\circ\text{C}$... max. teplota mostu

$T_{e,min} = -55 - 10 = -65 \text{ }^\circ\text{C}$... min. teplota mostu

Nerovnoměrná složka teploty

Pro oblouk (horní pás) ocelové konstrukce a závěsů je uvažováno:

$\Delta T_1 = +15 \text{ }^\circ\text{C}$ oteplení horního povrchu

$\Delta T_1 = -16 \text{ }^\circ\text{C}$ ochlazení horního povrchu

4.2.5. Zatížení od bezстыkové koleje

Síly od bezстыkové koleje nejsou uvažovány.

4.2.6. Zatížení neveřejných služebních chodníků

($\gamma_f = 1,5$)

Zatížení chodci a obecnou údržbou – rovnoměrné zatížení:

$$q_{fk} = 5 \text{ kN/m}^2$$

Soustředěné zatížení osaměle působící na čtvercovou plochu o straně 200 mm:

$$Q_{fk} = 2,0 \text{ kN}$$

4.2.7. Třecí síly v ložiskách

(γ_f = shodné se svislou silou na ložisko)

Pro návrh nosné konstrukce se neuvažuje. Pro návrh podélně pevného ložiska a jeho podpory se uvažuje u kalotových ložisek pohyblivých koeficient tření max. 0,08 (dle podkladů výrobce ložisek).

4.2.8. Vykolejení a jiná zatížení železničních mostů

Stabilita a únosnost hlavních nosných prvků mostu na zatížení železničního mostu od vykolejení železniční dopravy dle ČSN EN 1991-2 byla ověřena, konstrukce vyhovuje.

4.2.9. Zatížení větrem

($\gamma_f = 1,5$)

(a) $d_{tot} =$	4,000	m	(a) $b/d_{tot} =$	1,8	Nezatížený most
(b) $d_{tot} =$	5,24	m	(b) $b/d_{tot} =$	1,4	Zatížený most
$b =$	7,130	m	(a) $c_{fx,0} =$	2,0	Nezatížený most
cca. $z =$	6	m	(b) $c_{fx,0} =$	2,1	Zatížený most

	b/d_{dot}	$z_e < 20$	$z_e = 50$
Nezat.	1,8	5,6	6,9
Zatížený	1,4	5,9	7,4

(a) $C =$	5,56
(b) $C =$	5,94
$v_b = v_{b0} =$	25 m/s
$\rho =$	1,25 kg/m ³

$$F_w = 0.5 \cdot \rho \cdot v_b^2 \cdot C \cdot A_{ref,x}$$

(a) $F_{w1} =$	2,17	$\cdot A_{ref,x}$	(kN)
(b) $F_{w2} =$	2,32	$\cdot A_{ref,x}$	(kN)

	h - prvku mm	Nezat. kN/m	Zatížený kN/m
d. pás	960	2,09	2,23
h.pás	400	0,87	0,93
diagonály	300	0,65	0,70
vlak	4000		9,28

Vítr na pohyblivé zatížení

na mostě je zábradlí

Působící do LEVA

$$H_4 = 2800 \text{ mm}$$

$$F_{W1} = -9,2 \text{ kN/m}$$

$$q'' = -24 \text{ kN/m}^2 \quad (\pm) \text{ "mašle"}$$

$$q_1 = 18 \text{ kN/m}^2$$

$$q_2 = 6 \text{ kN/m}^2$$

$$q_3 = -6 \text{ kN/m}^2$$

$$q_4 = -18 \text{ kN/m}^2$$

Působící do PRAVA

$$F_{W2} = 3,4 \text{ kN/m}$$

$$q'' = 9 \text{ kN/m}^2 \quad (\pm) \text{ "mašle"}$$

$$q_1 = -7 \text{ kN/m}^2$$

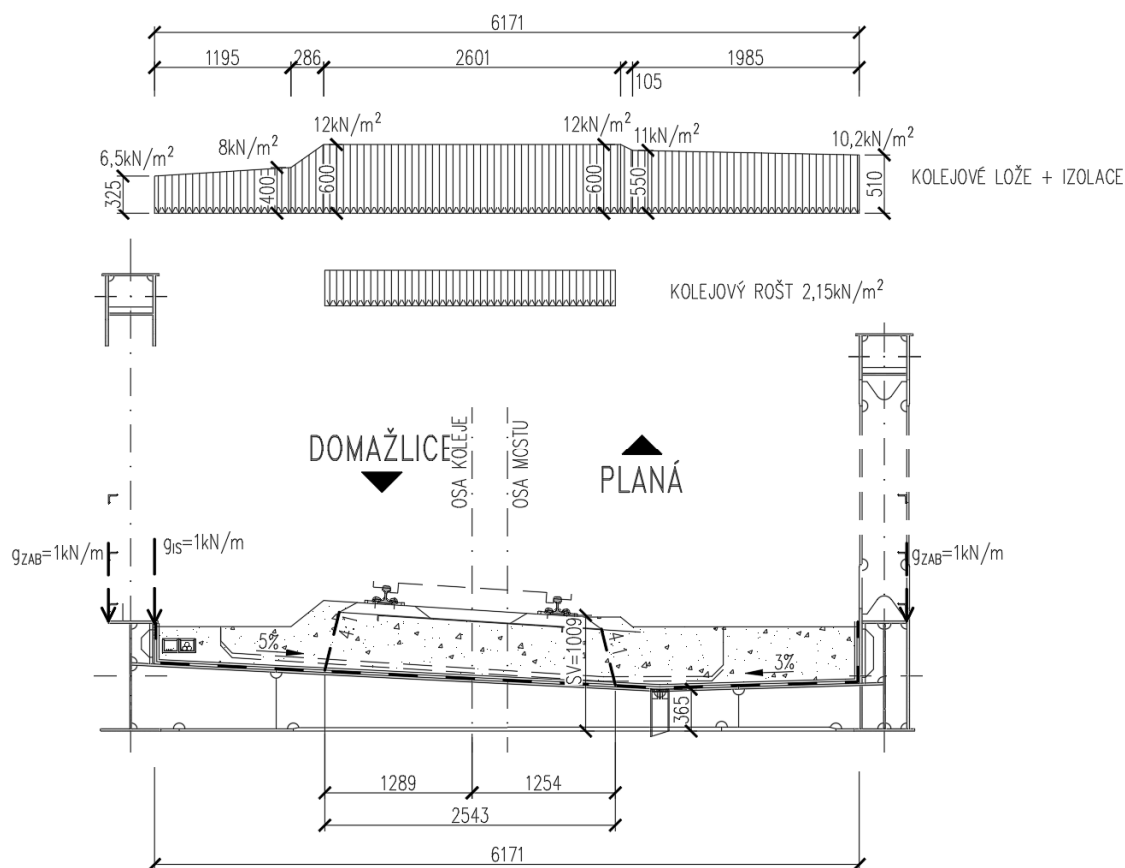
$$q_2 = -2 \text{ kN/m}^2$$

$$q_3 = 2 \text{ kN/m}^2$$

$$q_4 = 7 \text{ kN/m}^2$$

4.3. Schéma zatížení příčného řezu

4.3.1. Zatížení stálá



[illegible]

Při výpočtu bylo zjištěno, že pro návrh jsou rozhodující následující kombinace návrhových zatížení.

	Nebezpečné kombinace
1	$G_k + Q_{71} + (\psi_0 \cdot Q_{Lak} + \psi_0 Q_{Sk} + \psi_0 Q_{W} + \psi_0 Q_{T} + \psi_0 Q_{Ch})$
2	$G_k + Q_{gr11-71} + (\psi_0 Q_{W} + \psi_0 Q_{T} + \psi_0 Q_{Ch})$
3	$G_k + Q_{gr12-71} + (\psi_0 Q_{W} + \psi_0 Q_{T} + \psi_0 Q_{Ch})$
4	$G_k + Q_{gr13-71} + (\psi_0 Q_{W} + \psi_0 Q_{T} + \psi_0 Q_{Ch})$
5	$G_k + Q_{gr14-71} + (\psi_0 Q_{W} + \psi_0 Q_{T} + \psi_0 Q_{Ch})$
6	$G_k + Q_{gr15-71} + (\psi_0 Q_{W} + \psi_0 Q_{T} + \psi_0 Q_{Ch})$

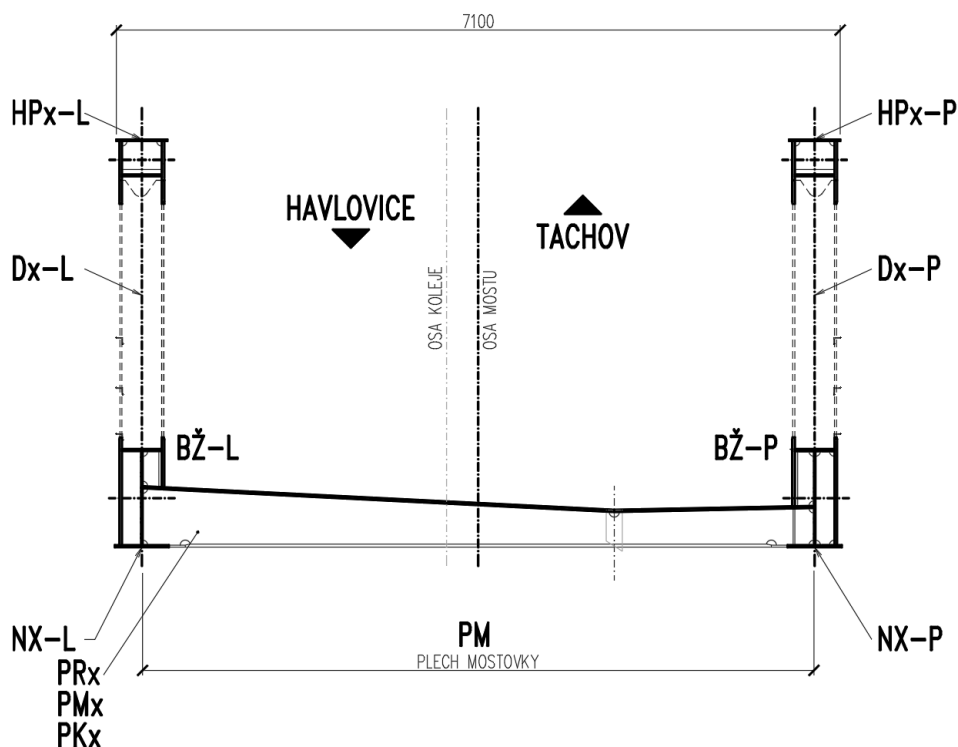
Při posouzení průřezů jsou následně uvedeny vždy čísla těchto kombinací

5. Mostovka

5.1. Příčnky

Rohodující pro návrh mostovky – příčník mezilehlý v poli

- příčník – styčník v místě napojení diagonál a dolního pasu.



Dynamické součinitele

$$L = 6,600 \text{ m (délka příčniců)}$$

$$L_{\phi} = 2 \cdot L = 13,200 \text{ m (náhradní délka)}$$

Pro pečlivě udržovanou kolej:

$$\phi_2 = \frac{1,44}{(L_{\phi})^{0,5} - 0,2} + 0,82 = 1,24 \rightarrow 1,24 \quad (1,0 < \phi_2 < 1,67)$$

Pro standardně udržovanou kolej:

$$\phi_3 = \frac{2,16}{(L_{\phi})^{0,5} - 0,2} + 0,73 = 1,36 \rightarrow 1,36 \quad (1,0 < \phi_3 < 2,00)$$

Zatížení - charakteristické hodnoty

		γ_F	Lok ϕ_3	Glo ϕ_3	α	N [kN]	Vz [kN]	My [kNm]
Stálé zatížení	G_{k1}	1,35				28,6	-2,8	11,40
Ostatní stálé zatížení	G_{k2}	1,35				115,9	-14,7	41,8
Vlak LM71	Q_{71}	1,45	1,36	1,21	1,10	88,0	-39,0	123,50
Vlak LM71,min	$Q_{71,min}$	1,45	1,36	1,21	1,10	-38,30	0,0	-0,11
Nazatížený vlak	Q_{nez}	1,00				0,0	0,0	0,00

Rozjezdové a brzdné síly	Q_{lak}	1,45			1,10	1,4	-0,3	1,66
Odstředivé síly	Q_{tk}	1,45			1,10	8,0	1,9	-5,00
Boční rázy	Q_{sk}	1,45			1,10	0,3	-0,1	0,20
Vítr na konstrukci	$Q_{w,NK}$	1,50				5,0	0,0	0,80
Vítr na pás pohyblivého	$Q_{w,vlak}$	1,50				11,6	-2,3	4,50
Teplota	Q_T	1,50				0,4	0,2	0,02
Revizní chodník	Q_{ch}	1,50				2,4	-0,1	1,11

Zatížení - návrhové hodnoty

		N [kN]	Vz [kN]	My [kNm]
Stálé zatížení	G_{k1}	38,6	-3,8	15,4
Ostatní stálé zatížení	G_{k2}	156,4	-19,9	56,4
Vlak LM71	Q_{71}	240,8	-84,5	486,0
Vlak LM71,min	$Q_{71,min}$	-83,0	0,0	-0,2
Nazatížený vlak	Q_{nez}	0,0	0,0	0,0
Rozjezdové a brzdné síly	Q_{lak}	2,2	-0,4	2,6
Odstředivé síly	Q_{tk}	12,8	3,1	-8,0
Boční rázy	Q_{sk}	0,5	-0,2	0,3
Vítr na konstrukci	$Q_{w,NK}$	7,5	0,0	1,2
Vítr na pás pohyblivého	$Q_{w,vlak}$	17,4	-3,5	6,8
Teplota	Q_T	0,6	0,3	0,0
Revizní chodník	Q_{ch}	3,5	-0,1	1,7
Sestavy zatížení:				
gr11 (LM71 + SW/0)	Q_{gr11}	249,6	-83,4	484,8
gr12 (LM71 + SW/0)	Q_{gr12}	255,1	-81,7	479,6
gr13 (brždění/rozjezd)	Q_{gr13}	249,6	-83,4	484,8
gr14 (odstředivé/boční ráz)	Q_{gr14}	255,1	-81,7	479,6
gr15 (nezatížený vlak)	Q_{gr15}	13,2	2,9	-7,7

Maximální návrhové hodnoty zatížení

komb. č.	N [kN]	Vz [kN]	My [kNm]
2	472,8	-110,5	565,9

Únava - charakteristické hodnoty

		γ_F	Lok ϕ_2	Glo ϕ_2	α	N [kN]	Vz [kN]	M [kNm]
Vlak LM71	Q_{71}	1,00	1,00	1,00	1,00	88,0	-39,0	123,5
Vlak LM71,min	$Q_{71,min}$	1,00	1,00	1,00	1,00	-38,30	0,00	-0,1

Únava - návrhové hodnoty

		N [kN]	Vz [kN]	My [kNm]
Vlak LM71	Q_{71}	88,0	-39,0	123,5
Vlak LM71,min	$Q_{71,min}$	-38,30	0,0	-0,1

Ocelový průřez

výška průřezu [mm]: h_{steel} **365**mm

Plech mostovky:

tloušťka plechu mostovky [mm]: t_{Ft} **20**mm 55%řada oceli

šířka plechu mostovky [mm]: b_{Ft} **625**mm mez kluzu oceli f_y [MPa]: **345**MPa

Stěna:

tloušťka ocelové stěny vyztuhy [mm]: t_w **12**mm 17%řada oceli

výška ocelové stěny vyztuhy [mm]: h_w **315**mm mez kluzu oceli f_y [MPa]: **355**MPa

Dolní pásnice:

tloušťka dolní ocelové pásnice [mm]: t_{Fb} **30**mm 29%řada oceli

šířka dolní ocelové pásnice [mm]: b_{Fb} **220**mm mez kluzu oceli f_y [MPa]: **345**MPa

$m =$ **179,6**kg hmotnost nosníku na 1 m'

Průřezové charakteristiky

A	=	22880mm ²	Plocha
A_v	=	3780mm ³	Plocha stojny
S_y	=	5245250mm ³	Statický moment k dolnímu líci
z_c	=	229,3mm	Poloha těžiště průřezu od dolního líce
e_{yh}	=	135,7mm	Vzdálenost horních vláken od těžiště
e_{yd}	=	229,3mm	Vzdálenost dolních vláken od těžiště
x	=	mm	poloha PL. N.O. od horního líce
I_y	=	5,3938E+08 mm ⁴	Moment setrvačnosti y
I_z	=	4,3357E+08 mm ⁴	Moment setrvačnosti z
i_y	=	153,5mm	Poloměr setrvačnosti y
i_z	=	137,7mm	Poloměr setrvačnosti z
$W_{el,yh}$	=	3973344,7mm ³	
$W_{el,yd}$	=	2352797,3mm ³	
$W_{el,y}$	=	2,353E+06 mm ³	Pružný průřezový modul y
$W_{el,z}$	=	1,387E+06 mm ³	

Moment v poli:

$$\begin{aligned}
 &+ \\
 L &= 6600\text{mm} \quad (\text{délka příčníků}) \\
 L_e &= 0,7 \cdot L = 4620,0\text{mm} \quad (\text{náhradní délka}) \\
 b_0 &= 313\text{mm} \\
 t &= 20\text{mm} \\
 A_{sl} &= 0\text{mm}^2 \quad \text{plocha všech podélných výztuh umístěných v šířce } b_0 \\
 \alpha_0 &= [1 + A_{sl}/(b_0 \cdot t)]^{0,5} = 1,000 \\
 \kappa &= \alpha_0 \cdot b_0 / L_e = 0,068 \\
 \beta_1 &= 0,972 \quad \text{kladné momenty} \\
 \beta_2 &= 0,709 \quad \text{záporné momenty}
 \end{aligned}$$

$$\beta = 0,972$$

$$A_{eff} = A_{c,eff} \cdot \beta^{\kappa} \text{ ale } A_{eff} \geq \beta \cdot A_{c,eff}$$

Mezní stav únosnosti MSÚ:

$$\begin{aligned} A_{c,eff} &= 6250 \text{ mm}^2 \\ \beta \cdot A_{c,eff} &= 6072 \text{ mm}^2 \\ A_{eff} = A_{c,eff} \cdot \beta^{\kappa} &= 6238 \text{ mm}^2 \\ A_{eff} &= 6238 \text{ mm}^2 \\ b_{e1} &= 312 \text{ mm} \end{aligned}$$

Mezní stav použitelnosti MSP a únavy:

$$b_{eff} = \beta \cdot b_0 = 303,6 \text{ mm}$$

Ocelový průřez

výška průřezu [mm]: $h_{steel} = 365 \text{ mm}$

Plech mostovky:

tloušťka plechu mostovky [mm]:	$t_{Ft} = 20 \text{ mm}$	54%	řada oceli	
efektivní šířka plechu mostovky [mm]:	$b_{Ft} = 607 \text{ mm}$		mez kluzu oceli f_y [MPa]:	345

Stěna:

tloušťka ocelové stěny vyztuhy [mm]:	$t_w = 12 \text{ mm}$	17%	řada oceli	
výška ocelové stěny vyztuhy [mm]:	$h_w = 315 \text{ mm}$		mez kluzu oceli f_y [MPa]:	355

Dolní pásnice:

tloušťka dolní ocelové pásnice [mm]:	$t_{Fb} = 30 \text{ mm}$	29%	řada oceli	
šířka dolní ocelové pásnice [mm]:	$b_{Fb} = 220 \text{ mm}$		mez kluzu oceli f_y [MPa]:	345

$m = 176,8 \text{ kg}$ hmotnost nosníku na 1 m'

Průřezové charakteristiky

A_{eff}	=	22524 mm ²	Plocha
A_v	=	3780 mm ³	Plocha stojny
S_y	=	5118870 mm ³	Statický moment k dolnímu líci
$Z_{c, eff}$	=	227,3 mm	Poloha těžiště průřezu od dolního líce
e_{yh}	=	137,7 mm	Vzdálenost horních vláken od těžiště
e_{yd}	=	227,3 mm	Vzdálenost dolních vláken od těžiště
I_y	=	5,3365E+08 mm ⁴	Moment setrvačnosti y
I_z	=	3,9978E+08 mm ⁴	Moment setrvačnosti z
i_y	=	153,9 mm	Poloměr setrvačnosti y
i_z	=	133,2 mm	Poloměr setrvačnosti z
$W_{el,yh}$	=	3874407,4 mm ³	
$W_{el,yd}$	=	2348159,4 mm ³	
$W_{el,y}$	=	2,348E+06 mm ³	Pružný průřezový modul y

$W_{el,z}$	=	1,317E+06 mm ³	
Z_c	=	229,3mm	Poloha těžiště plného průřezu od dolního líce
e_N	=	2,0mm	Posun těžišťové osy

výška průřezu [mm]: h_{steel} **365**mm

Plech mostovky:

tloušťka plechu mostovky [mm]:	t_{Ft}	20 mm	55%	řada oceli
efektivní šířka plechu mostovky [mm]:	b_{Ft}	624 mm		mez kluzu oceli f_y [MPa]:

345

Stěna:

tloušťka ocelové stěny vyztuhy [mm]:	t_w	12 mm	17%	řada oceli
výška ocelové stěny vyztuhy [mm]:	h_w	315 mm		mez kluzu oceli f_y [MPa]:

355

Dolní pásnice:

tloušťka dolní ocelové pásnice [mm]:	t_{Fb}	30 mm	29%	řada oceli
šířka dolní ocelové pásnice [mm]:	b_{Fb}	220 mm		mez kluzu oceli f_y [MPa]:

345

$m =$ **179,4**kg hmotnost nosníku na 1 m'

A_{eff}	=	22856mm ²	Plocha
A_v	=	3780mm ³	Plocha stojny
S_y	=	5236730mm ³	Statický moment k dolnímu líci
$Z_{c, eff}$	=	229,1mm	Poloha těžiště průřezu od dolního líce
e_{yh}	=	135,9mm	Vzdálenost horních vláken od těžiště
e_{yd}	=	229,1mm	Vzdálenost dolních vláken od těžiště

I_y	=	5,3900E+08 mm ⁴	Moment setrvačnosti y
I_z	=	4,3123E+08 mm ⁴	Moment setrvačnosti z
i_y	=	153,6mm	Poloměr setrvačnosti y
i_z	=	137,4mm	Poloměr setrvačnosti z
$W_{el,yh}$	=	3966681,8mm ³	
$W_{el,yd}$	=	2352491,6mm ³	
$W_{el,y}$	=	2,352E+06 mm ³	Pružný průřezový modul y
$W_{el,z}$	=	1,383E+06 mm ³	
Z_c	=	229,3mm	Poloha těžiště plného průřezu od dolního líce
e_N	=	0,1mm	Posun těžišťové osy

$\sigma_x^{h, My}$	=	-142,67Mpa	<	345	vyhoví
$\sigma_x^{d, My}$	=	240,56Mpa	<	345	vyhoví

$$\sigma_x^N = 20,69 \text{ Mpa}$$

$$\sigma_x^{\Delta My, h} = -0,02 \text{ Mpa}$$

$$\sigma_x^{\Delta My, d} = 0,03 \text{ Mpa}$$

$\sigma_{x, Ed, h}$	=	-122,00 Mpa	<	345	VYHOVUJE	-0,354
$\sigma_{x, Ed, d}$	=	261,28 Mpa	<	345	VYHOVUJE	0,757

Číslo detailu		A		D	
		N	M	N	M
rozpětí	L =	13,20	13,20	13,20	13,20
náhradní délka	L_ϕ =	13,20	13,20	13,20	13,20
vliv rozpětí	λ_1 =	0,80	0,80	0,80	0,80
vliv objemu dopravy	λ_2 =	0,72	0,72	0,72	0,72
souč. návrh. doby života	λ_3 =	1,00	1,00	1,00	1,00
vliv počtu kolejí	λ_4 =	1,00	1,00	1,00	1,00
souč. ekvival. poškození	λ_{pole} =	0,58	0,58	0,58	0,58
souč. ekvival. poškození	λ =	0,58	0,58	0,58	0,58
referenční rozkmit napětí	$\Delta\sigma_{71}$	5,7	34,0	5,7	50,5
dyn. souč. ekv. zatížení	ϕ_2	1,24	1,24	1,24	1,24
ekvival. rozkmit napětí	$\Delta\sigma_{E,2,i}$	4,1	24,3	4,1	36,0
ekvival. rozkmit napětí	$\Delta\sigma_{E,2}$	59,4		40,1	
tloušťka materiálu	t	-	-	-	-
vliv tloušťky materiálu	ϕ_t	-	-	-	-
kategorie detailu	$\Delta\sigma_C$	71		100	
$\gamma_{Fi} \cdot \Delta\sigma_{E,2}$		59,4		40,1	
$\phi_i \Delta\sigma_C / \gamma_{Mi}$		61,7		87,0	
		VYHOVUJE		VYHOVUJE	
Využití		0,96		0,46	

$N_{Ed} =$	472,8	kN	$N_{Rd} =$	7885,3	kN
$M_{y,Ed} =$	565,9	kN.m	$M_{y,Rd} =$	811,6	kN.m
$M_{z,Ed} =$		kN.m	$M_{z,Rd} =$		kN.m

$N_{rs,Ed} =$	232,0	kN	$N_{LM71,Ed} =$	240,8	kN
$M_{y,rs,Ed} =$	80,0	kN.m	$M_{y,LM71,Ed} =$	486,0	kN.m
$M_{z,rs,Ed} =$		kN.m	$M_{z,LM71,Ed} =$		kN.m

$$\eta_{1,rs} = \frac{N_{rs,Ed}}{N_{Rd}} + \frac{M_{y,Ed}}{M_{y,Rd}}$$

$$\eta_{1,rs} = \frac{232,02}{7885,32} + \frac{79,95}{811,61}$$

$$\eta_{1,rs} = 0,03 + 0,10 + = 0,13$$

$$\eta_{1,LM71} = \frac{N_{LM71,Ed}}{N_{Rd}} = \frac{M_{y,LM71,Ed}}{M_{y,Rd}}$$

$$\eta_{1,LM71} = \frac{240,77}{7885,32} + \frac{485,97}{811,61}$$

$$\eta_{1,LM71} = 0,03 + 0,60 = 0,63$$

$$Z_{LM71} = \frac{1 - \eta_{1,rs}}{\eta_{1,LM71}} = \frac{0,87}{0,63} = 1,39$$

Zatížení - charakteristické hodnoty

		γ_F	Lok ϕ_3	Glo ϕ_3	α	N [kN]	Vz [kN]	My [kNm]
Stálé zatížení	G_{k1}	1,35				-3,1	-11,1	-1,16
Ostatní stálé zatížení	G_{k2}	1,35				-14,1	-40,1	-5,2
Vlak LM71	Q_{71}	1,45	1,36	1,21	1,10	42,0	-102,0	-41,00
Vlak LM71,min	$Q_{71,min}$	1,45	1,36	1,21	1,10	-14,70	1,8	17,00
Nazatížený vlak	Q_{nez}	1,00				0,0	0,0	0,00
Rozjezdové a brzdné síly	Q_{lak}	1,45			1,10	-3,8	-3,1	-1,25
Odstředivé síly	Q_{tk}	1,45			1,10	-3,2	-6,0	-0,24
Boční rázy	Q_{sk}	1,45			1,10	-1,9	-4,2	-2,09
Vítr na konstrukci	$Q_{w,NK}$	1,50				-41,5	-10,6	-20,00
Vítr na pás pohyblivého	$Q_{w,vlak}$	1,50				-4,0	-2,7	-1,40
Teplota	Q_T	1,50				-2,1	-2,6	-1,06
Revizní chodník	Q_{ch}	1,50				-0,2	-2,9	-0,30

Zatížení - návrhové hodnoty

		N [kN]	Vz [kN]	My [kNm]
Stálé zatížení	G_{k1}	-4,2	-15,0	-1,6
Ostatní stálé zatížení	G_{k2}	-19,0	-54,1	-7,0
Vlak LM71	Q_{71}	-459,0	-221,1	-343,5
Vlak LM71,min	$Q_{71,min}$	-31,9	3,8	36,9
Nazatížený vlak	Q_{nez}	0,0	0,0	0,0
Rozjezdové a brzdné síly	Q_{lak}	-6,1	-4,9	-2,0

Odstředivé síly	Q_{tk}	-5,2	-9,6	-0,4
Boční rázy	Q_{sk}	-3,0	-6,7	-3,3
Vítr na konstrukci	$Q_{w,NK}$	-62,3	-15,9	-30,0
Vítr na pás pohyblivého	$Q_{w,vlak}$	-6,0	-4,0	-2,1
Teplota	Q_T	-3,1	-3,8	-1,6
Revizní chodník	Q_{ch}	-0,3	-4,4	-0,5
Sestavy zatížení:				
gr11 (LM71 + SW/0)	Q_{gr11}	-469,1	-234,2	-347,4
gr12 (LM71 + SW/0)	Q_{gr12}	-470,2	-239,9	-348,2
gr13 (brždění/rozjezd)	Q_{gr13}	-469,1	-234,2	-347,4
gr14 (odstředivé/boční ráz)	Q_{gr14}	-470,2	-239,9	-348,2
gr15 (nezatížený vlak)	Q_{gr15}	-8,2	-16,3	-3,7

Maximální návrhové hodnoty zatížení

komb. č.	N [kN]	Vz [kN]	My [kNm]
3	-563,7	-334,6	-390,1

Únava - charakteristické hodnoty

		γ_F	Lok ϕ_2	Glo ϕ_2	α	N [kN]	Vz [kN]	M [kNm]
Vlak LM71	Q_{71}	1,00	1,00	1,00	1,00	35,5	-102,0	-41,0
Vlak LM71,min	$Q_{71,min}$	1,00	1,00	1,00	1,00	-14,70	1,76	17,00

Únava - charakteristické hodnoty

		γ_F	Lok ϕ_2	Glo ϕ_2	α	N [kN]	Vz [kN]	M [kNm]
Vlak LM71	Q_{71}	1,00	1,00	1,00	1,00	35,5	-102,0	-41,0
Vlak LM71,min	$Q_{71,min}$	1,00	1,00	1,00	1,00	-14,70	1,76	17,00

Ocelový průřez

výška průřezu [mm]:

h_{steel} **418mm**

Plech mostovky:

tloušťka plechu mostovky [mm]:

t_{Ft} **20mm** 56% řada oceli

šířka plechu mostovky [mm]:

b_{Ft} **625mm** mez kluzu oceli f_y [MPa]:

Stěna:

tloušťka ocelové stěny vyztuhy [mm]:

t_w **14mm** 24% řada oceli

výška ocelové stěny vyztuhy [mm]:

h_w **378mm** mez kluzu oceli f_y [MPa]:

Dolní pásnice:

tloušťka dolní ocelové pásnice [mm]:

t_{Fb} **20mm** 20% řada oceli

šířka dolní ocelové pásnice [mm]:

b_{Fb} **220mm** mez kluzu oceli f_y [MPa]:

$$m = 174,2 \text{ kg} \quad \text{hmotnost nosníku na 1 m'}$$

Průřezové charakteristiky

A = 22192mm² Plocha

A_v	=	5292mm ³	Plocha stojny
S_y	=	6250028mm ³	Statický moment k dolnímu líci
z_c	=	281,6mm	Poloha těžiště průřezu od dolního líce
e_{yh}	=	136,4mm	Vzdálenost horních vláken od těžiště
e_{yd}	=	281,6mm	Vzdálenost dolních vláken od těžiště
x	=	mm	poloha PL. N.O. od horního líce
I_y	=	6,1575E+08 mm ⁴	Moment setrvačnosti y
I_z	=	4,2473E+08 mm ⁴	Moment setrvačnosti z
i_y	=	166,6mm	Poloměr setrvačnosti y
i_z	=	138,3mm	Poloměr setrvačnosti z
$W_{el,yh}$	=	4515452,2mm ³	
$W_{el,yd}$	=	2186356,3mm ³	
$W_{el,y}$	=	2,186E+06 mm ³	Pružný průřezový modul y
$W_{el,z}$	=	1,359E+06 mm ³	
$M_{el,yh,Rk}$	=	1557,8kN.m	
$M_{el,yd,Rk}$	=	754,3kN.m	
$M_{el,zh,Rk}$	=	468,9kN.m	
$M_{el,zd,Rk}$	=	468,9kN.m	
N_{Rd}	=	7656,24kN	

Moment v poli:

$$\begin{aligned}
 L &= 6600 \text{ mm} \quad (\text{délka příčníků}) \\
 L_e &= 0,7 \cdot L = 4620,0 \text{ mm} \quad (\text{náhradní délka}) \\
 b_0 &= 312,5 \text{ mm} \\
 t &= 20 \text{ mm} \\
 A_{sl} &= 0 \text{ mm}^2 \quad \text{plocha všech podélných výztuh umístěných v šířce } b_0 \\
 \alpha_0 &= [1 + A_{sl}/(b_0 \cdot t)]^{0,5} = 1,000 \\
 \kappa &= \alpha_0 \cdot b_0 / L_e = 0,068 \\
 \beta_1 &= 0,972 \quad \text{kladné momenty} \\
 \beta_2 &= 0,709 \quad \text{záporné momenty} \\
 \beta &= 0,709
 \end{aligned}$$

$$A_{eff} = A_{c,eff} \cdot \beta^\kappa \text{ ale } A_{eff} \geq \beta \cdot A_{c,eff}$$

Mezní stav únosnosti MSÚ:

$$\begin{aligned}
 A_{c,eff} &= 6250 \text{ mm}^2 \\
 \beta \cdot A_{c,eff} &= 4432 \text{ mm}^2 \\
 A_{eff} &= A_{c,eff} \cdot \beta^\kappa = 6106 \text{ mm}^2 \\
 A_{eff} &= 6106 \text{ mm}^2 \\
 b_{e1} &= 305,3 \text{ mm}
 \end{aligned}$$

Mezní stav použitelnosti MSP a únavy:

$$b_{\text{eff}} = \beta \cdot b_0 = 221,6 \text{ mm}$$

výška průřezu [mm]:

$h_{\text{steel}} = 418 \text{ mm}$

Plech mostovky:

tloušťka plechu mostovky [mm]:

$t_{\text{Ft}} = 20 \text{ mm}$

56% řada oceli

efektivní šířka plechu mostovky [mm]:

$b_{\text{Ft}} = 611 \text{ mm}$

mez kluzu oceli f_y [MPa]:

345

Stěna:

tloušťka ocelové stěny vyztuhy [mm]:

$t_w = 14 \text{ mm}$

24% řada oceli

výška ocelové stěny vyztuhy [mm]:

$h_w = 378 \text{ mm}$

mez kluzu oceli f_y [MPa]:

355

Dolní pásnice:

tloušťka dolní ocelové pásnice [mm]:

$t_{\text{Fb}} = 20 \text{ mm}$

20% řada oceli

šířka dolní ocelové pásnice [mm]:

$b_{\text{Fb}} = 220 \text{ mm}$

mez kluzu oceli f_y [MPa]:

345

$$m = 171,9 \text{ kg} \quad \text{hmotnost nosníku na } 1 \text{ m'}$$

A_{eff}	=	21904 mm ²	Plocha
A_v	=	5292 mm ³	Plocha stojny
S_y	=	6132524 mm ³	Statický moment k dolnímu líci
$z_{c, \text{eff}}$	=	280,0 mm	Poloha těžiště průřezu od dolního líce
e_{yh}	=	138,0 mm	Vzdálenost horních vláken od těžiště
e_{yd}	=	280,0 mm	Vzdálenost dolních vláken od těžiště
I_y	=	6,1108E+08 mm ⁴	Moment setrvačnosti y
I_z	=	3,9725E+08 mm ⁴	Moment setrvačnosti z
i_y	=	167,0 mm	Poloměr setrvačnosti y
i_z	=	134,7 mm	Poloměr setrvačnosti z
$W_{el,yh}$	=	4427271,6 mm ³	
$W_{el,yd}$	=	2182654,8 mm ³	
$W_{el,y}$	=	2,183E+06 mm ³	Pružný průřezový modul y
$W_{el,z}$	=	1,301E+06 mm ³	
z_c	=	281,6 mm	Poloha těžiště plného průřezu od dolního líce
e_N	=	1,7 mm	Posun těžišťové osy

$\sigma_{x^h, My}$	=	88,12 Mpa	<	345	vyhoví
$\sigma_{x^d, My}$	=	-178,75 Mpa	<	345	vyhoví
σ_{x^N}	=	-25,74 Mpa			

$$\sigma_x^{\Delta My, h} = 0,21 \text{ Mpa}$$

$$\sigma_x^{\Delta My, d} = -0,43 \text{ Mpa}$$

$\sigma_{x, Ed, h} =$	62,60 Mpa	<	345	VYHOVUJE	0,181
$\sigma_{x, Ed, d} =$	-204,91 Mpa	<	345	VYHOVUJE	-0,594

Číslo detailu		A		B		C		D	
		N	M	N	M	N	M	N	M
rozpětí	L =	13,20	13,20	13,20	13,20	13,20	13,20	13,20	13,20
náhradní délka	$L_\phi =$	13,20	13,20	13,20	13,20	13,20	13,20	13,20	13,20
vliv rozpětí	$\lambda_1 =$	1,01	1,01	1,01	1,01	1,01	1,01	1,01	1,01
vliv objemu dopravy	$\lambda_2 =$	0,72	0,72	0,72	0,72	0,72	0,72	0,72	0,72
souč. návrh. doby života	$\lambda_3 =$	1,00	1,00	1,00	1,00	1,00	1,00	1,00	1,00
vliv počtu kolejí	$\lambda_4 =$	1,00	1,00	1,00	1,00	1,00	1,00	1,00	1,00
souč. ekvival. poškození	$\lambda_{pole} =$	0,73	0,73	0,73	0,73	0,73	0,73	0,73	0,73
souč. ekvival. poškození	$\lambda =$	0,73	0,73	0,73	0,73	0,73	0,73	0,73	0,73
referenční rozkmit napětí	$\Delta \sigma_{71}$	3,1	-17,1	2,9	-9,7	3,1	-19,9	2,1	27,3
dyn. souč. ekv. zatížení	ϕ_2	1,24	1,14	1,24	1,14	1,24	1,14	1,24	1,24
ekvival. rozkmit napětí	$\Delta \sigma_{E,2,i}$	2,8	-14,2	2,6	-8,0	2,8	-16,5	1,9	24,6
ekvival. rozkmit napětí	$\Delta \sigma_{E,2}$	48,0		30,0		44,8		26,5	
tloušťka materiálu	t	-	-	-	-	-	-	-	-
vliv tloušťky materiálu	ϕ_t	-	-	-	-	-	-	-	-
kategorie detailu	$\Delta \sigma_C$	71		56		56		71	
$\gamma_{Ft} \cdot \Delta \sigma_{E,2} =$		48,0		30,0		44,8		26,5	
$\phi_t \Delta \sigma_C / \gamma_{Mt} =$		61,7		48,7		48,7		61,7	
		VYHOVUJE		VYHOVUJE		VYHOVUJE		VYHOVUJE	
Využití		0,78		0,62		0,92		0,43	

$N_{Ed} =$	-563,7	kN	$N_{Rd} =$	7656,2	kN
$M_{y,Ed} =$	-390,1	kN.m	$M_{y,Rd} =$	754,3	kN.m
$M_{z,Ed} =$	0,0	kN.m	$M_{z,Rd} =$	1,0	kN.m

$$\eta_1 = \frac{\sigma_{x,Ed}}{f_{yd}} = \frac{N_{Ed}}{N_{Rd}} + \frac{M_{y,Ed}}{M_{y,Rd}} + \frac{M_{z,Ed}}{M_{z,Rd}} \leq 1,0$$

$$\eta_1 = \frac{563,71}{7656,24} + \frac{390,15}{754,29} + \frac{0,00}{1,00}$$

$$\eta_1 = 0,07 + 0,52 + 0,00 = 0,59 < 1,0 \text{ VYHOVUJE}$$

$N_{Ed} =$	-563,7	kN	$N_{Rd} =$	7556,9	kN
$M_{y,Ed} =$	-390,1	kN.m	$M_{y,Rd} =$	753,0	kN.m
$M_{z,Ed} =$		kN.m	$M_{z,Rd} =$		kN.m

$N_{rs,Ed} =$	-104,8	kN	$N_{LM71,Ed} =$	-459,0	kN
$M_{y,rs,Ed} =$	-46,7	kN.m	$M_{y,LM71,Ed} =$	-343,5	kN.m
$M_{z,rs,Ed} =$		kN.m	$M_{z,LM71,Ed} =$		kN.m

$$\eta_{1,rs} = \frac{N_{rs,Ed}}{N_{Rd}} + \frac{M_{y,Ed}}{M_{y,Rd}}$$

$$\eta_{1,rs} = \frac{-104,76}{7556,88} + \frac{46,65}{753,02}$$

$$\eta_{1,rs} = -0,01 + 0,06 = 0,05$$

$$\eta_{1,LM71} = \frac{N_{LM71,Ed}}{N_{Rd}} = \frac{M_{y,LM71,Ed}}{M_{y,Rd}}$$

$$\eta_{1,LM71} = \frac{458,95}{7556,88} + \frac{343,50}{753,02}$$

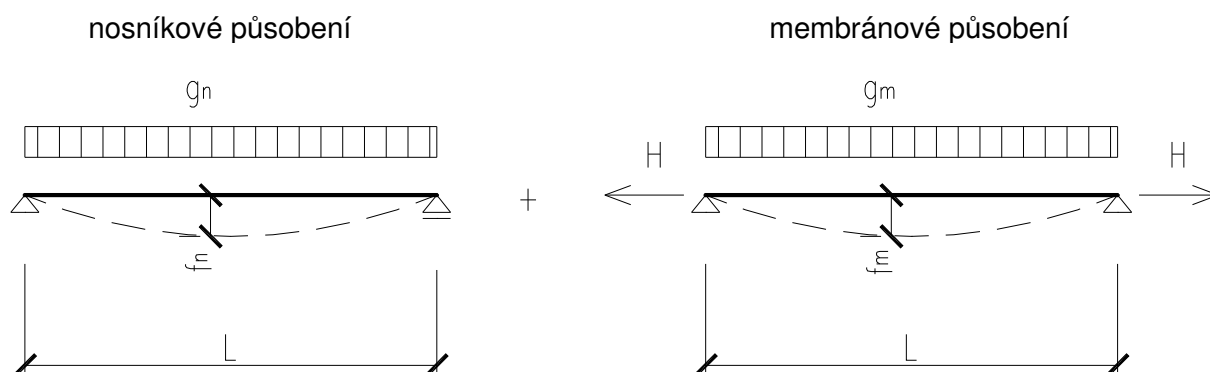
$$\eta_{1,LM71} = 0,06 + 0,46 = 0,52$$

$$Z_{LM71} = \frac{1 - \eta_{1,rs}}{\eta_{1,LM71}} = \frac{0,95}{0,52} = 1,84$$

5.1. Plech mostovky

Následující výpočet je proveden za předpokladu, že dojde k membránovému působení plechu mostovky mezi jednotlivými příčnicí. Napětí v plechu mostovky je spočteno jako na prostém nosníku (výrazně na stranu bezpečnou).

Napětí v plechu mostovky se spočte interakcí nosníkového a membránového působení.



$$g_d = g_n + g_m$$

g_n a g_m se zjistí iteračním způsobem, protože průhyb f_n se musí rovnat s f_m .

Membrána počítaná na běžný metr

$$\begin{aligned} g &= 156 \text{ kN/m}^2 \\ g_n &= 151.22 \text{ kN/m}^2 \\ g_m &= 4.779 \text{ kN/m}^2 \end{aligned}$$

$$\begin{aligned} E &= 210000 \text{ MPa} \\ h &= 20 \text{ mm} \\ L &= 610 \text{ mm} \end{aligned}$$

$$\begin{aligned} A &= 0.02 \text{ m}^2 \\ I &= 6.67\text{E-}07 \text{ m}^4 \\ W &= 6.67\text{E-}05 \text{ m}^3 \end{aligned}$$

$$f_n = \frac{5 \cdot g_n \cdot L^4}{384 \cdot E \cdot I}$$

$$f_n = 1.947 \cdot 10^{-3} \text{ m}$$

$$f_m = \left(\frac{3 \cdot g_m \cdot L^4}{64 \cdot E \cdot A} \right)^{1/3}$$

$$f_m = 1.947 \cdot 10^{-3} \text{ m}$$

$$f_n - f_m = 0.000$$

$$M = \frac{1 \cdot g_n \cdot L^2}{8}$$

$$M = 7.034 \text{ kNm}$$

$$H = \frac{1 \cdot g_m \cdot L^2}{8 \cdot f_m}$$

$$H = 114.142 \text{ kN}$$

$$\sigma = \frac{M}{W} + \frac{H}{A \cdot f_m}$$

$$\sigma = \frac{7.034}{6.67E-05} + \frac{114.14}{0.02}$$

$$\sigma = 105.51 + 5.71$$

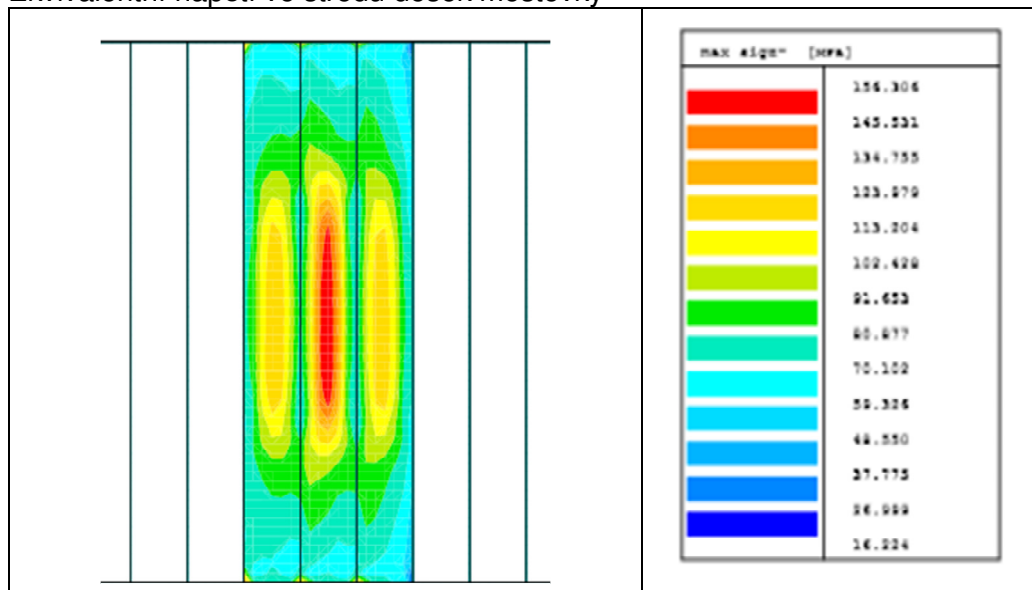
$$\sigma = 111 \text{ MPa}$$

Z výpočtu je patrné, že membránové působení desky mostovky pro lokální zatížení je zanedbatelné (5,71 MPa << 105,5 MPa). Deska mostovky bude působit jako nosník, proto lze z výpočetního modelu odečíst hlavní napětí v desce mostovky pro rozhodující kombinaci.

Rovinná napjatost – ekvivalentní napětí (Mises podmínka plasticity)

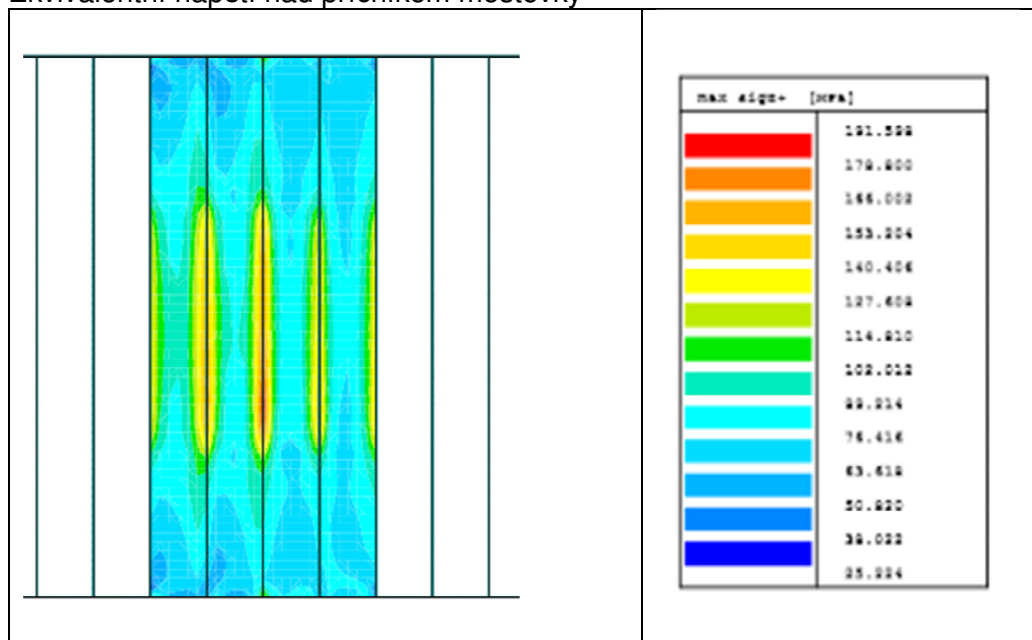
$$\sqrt{(\sigma_{x,Sd})^2 + (\sigma_{z,Sd})^2 - \sigma_{x,Sd} \cdot \sigma_{z,Sd} + 3(\tau_{Sd})^2} \leq \frac{f_y}{\gamma_M}$$

Ekvivalentní napětí ve středu desek mostovky



$\sigma_E = 156.3 \text{ MPa} \ll 345 \text{ MPa}$

Ekvivalentní napětí nad příčnicí mostovky

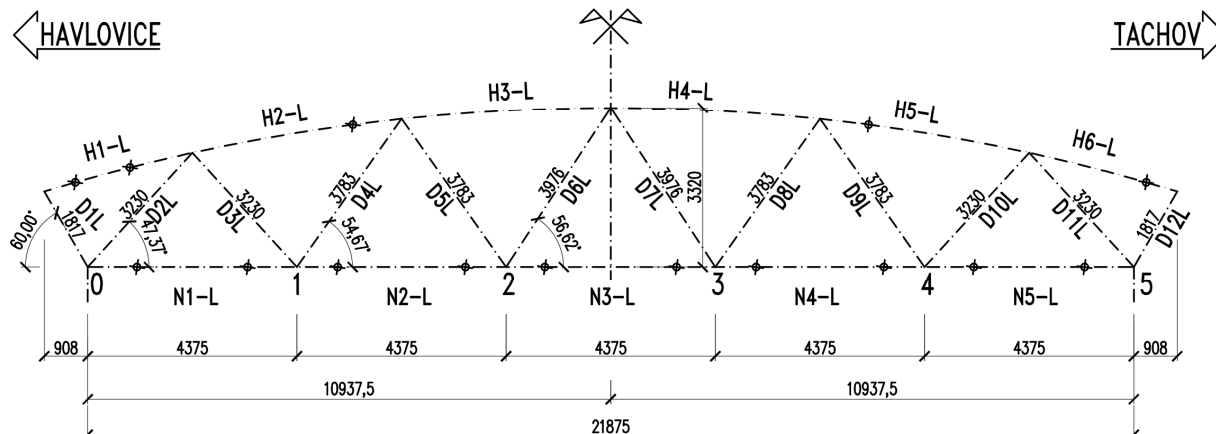


$\sigma_E = 191 \text{ MPa} \ll 345 \text{ MPa}$

6. Hlavní nosníky

Rozhodující je pro návrh levý nosník – kolej na mostě modelována v projektované poloze do oblouku + posun 100 mm.

LEVÝ NOSNÍK



Pro návrh hlavních nosníků jsou uvažovány následující dynamické součinitele:

Dynamické součinitele

$L = 21,875$ m (rozpětí)

$L_\phi = 21,875$ m (náhradní délka)

Pro pečlivě udržovanou kolej:

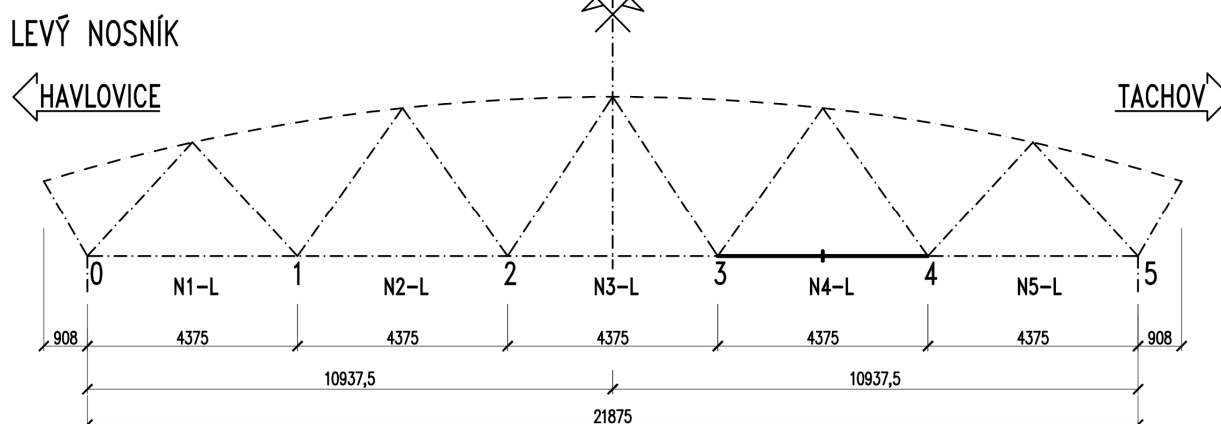
$$\phi_2 = \frac{1,44}{(L_\phi)^{0,5} - 0,2} + 0,82 = 1,14 \rightarrow \mathbf{1,14} \quad (1,0 < \phi_2 < 1,67)$$

Pro standardně udržovanou kolej:

$$\phi_3 = \frac{2,16}{(L_\phi)^{0,5} - 0,2} + 0,73 = 1,21 \rightarrow \mathbf{1,21} \quad (1,0 < \phi_3 < 2,00)$$

6.1. Dolní pás

Rozhodující prvky dolního pásu



Vzhledem k tomu, že je při výpočtu vnitřních sil použit deskostěnový model s modulem žebro, lze určit v dolním pásu hl. nosníku vnitřní síly, které přísluší pouze průřezu dolního pásu. Prvek metody konečných prvků, který je použit pro desko-stěnový model obsahuje vliv smykového ochabnutí. Dolní pás je prakticky pouze tažený resp. deska mostovky v podélném směru. Deska mostovky nemá žádné podélné výztuhy. Tyto skutečnosti umožňují posoudit dolní pás na

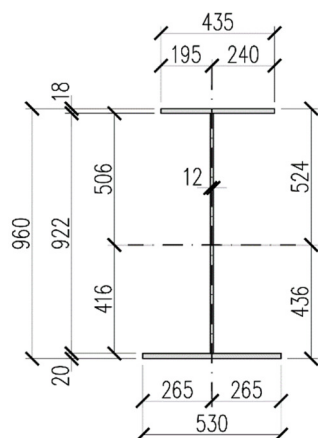
kombinaci zatížení jako izolovaný prut na hodnoty získané z výpočetního modelu bez nutnosti výpočtu spolupůsobící šířka mostovky.

Použité vzorce pro posouzení průřezů:

$$\eta_1 = \frac{\sigma_{X,ED}}{f_{yd}} = \frac{N_{Sd}}{f_{yd} * A_{eff}} + \frac{M_{Sd} + N_{Sd} * e_N}{f_{yd} * W_{eff,y}} \leq 1,0, \quad \tau = \frac{V_{Sd} * S}{I_y * t}, \quad V_{pl,Rd} = \frac{A_v * f_y}{\gamma_{M0} * \sqrt{3}}$$

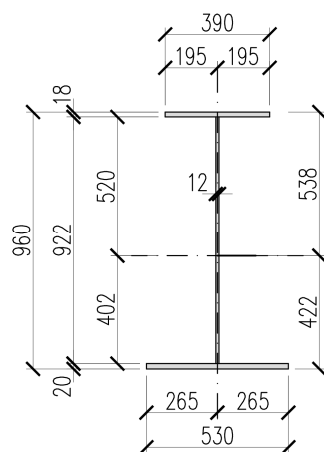
6.1.1. Průřezové charakteristiky

N4-L – plovina rozpětí prutu



A [mm²]	2,949e+04		
Iy [mm⁴]	4,808e+09	Iz	3,728e+09
Iw [mm⁶]	0,0000e+00	It [mm⁴]	3,728e+08
Wely [mm³]	9,18e+06	Welz	1,38e+06
Wply [mm³]	1,10e+07	Wplz	3,13e+06
cy [mm]	6	cz	-44
iy [mm]	403,71	iz	112,70

N4-L – styčnick 4



A [mm²]	1,76e+04		
Iy [mm⁴]	3,74e+09	Iz	3,37e+08
Iw [mm⁶]	5,87e+13	It [mm⁴]	2,71e+06
Wely [mm³]	6,50e+06	Welz	1,27e+06
Wply [mm³]	6,50e+07	Wplz	1,27e+06
cy [mm]	0	cz	0
iy [mm]	399,87	iz	341,0938

6.1.2. Vnitřní síly

6.1.2.1. N4-L: střed rozpětí prutu

Vnitřní síly - charakteristické hodnoty

		γ_F	Lok ϕ_3	α	N [kN]	Vy [kN]	Vz [kN]	My [kNm]	Mz [kNm]
Stálé zatížení	G _{k1}	1,35			181,6	0,2	6,0	47,74	0,12
Ostatní stálé zatížení	G _{k2}	1,35			428,3	0,3	36,9	124,28	0,01

Vlak LM71	Q ₇₁	1,45	1,21	1,10	547,1	6,9	9,5	199,98	2,02
Vlak LM71,min	Q _{71,min}	1,45	1,21	1,10	-0,11	-6,0	-43,5	-10,45	-2,10
Nazatížený vlak	Q _{nez}	1,00			0,0	0,0	0,0	0,00	0,00
Rozjezdové a brzdné síly	Q _{lak}	1,45		1,10	364,0	0,1	1,0	8,50	-4,84
Odstředivé síly	Q _{tk}	1,45		1,10	40,3	0,6	10,5	14,35	-1,04
Boční rázy	Q _{sk}	1,45		1,10	10,3	-0,3	0,3	5,60	-0,90
Vítr na konstrukci	Q _{w,NK}	1,50			51,2	1,1	3,6	6,03	-1,44
Vítr na pás pohyblivého	Q _{w,vlak}	1,50			31,5	0,8	7,0	9,40	-0,83
Teplota	Q _T	1,50			15,1	0,1	0,1	79,00	-2,15
Revizní chodník	Q _{ch}	1,50			38,0	0,1	9,8	12,06	-0,36

Vnitřní síly - návrhové hodnoty

		N [kN]	Vy [kN]	Vz [kN]	My [kNm]	Mz [kNm]
Stálé zatížení	G _{k1}	245,2	0,2	8,1	64,4	0,2
Ostatní stálé zatížení	G _{k2}	578,2	0,3	49,8	167,8	0,0
Vlak LM71	Q ₇₁	1059,0	13,3	18,4	387,1	3,9
Vlak LM71,min	Q _{71,min}	-0,2	-11,6	-84,2	-20,2	-4,1
Nazatížený vlak	Q _{nez}	0,0	0,0	0,0	0,0	0,0
Rozjezdové a brzdné síly	Q _{lak}	580,6	0,1	1,6	13,6	-7,7
Odstředivé síly	Q _{tk}	64,3	1,0	16,7	22,9	-1,7
Boční rázy	Q _{sk}	16,4	-0,4	0,5	8,9	-1,4
Vítr na konstrukci	Q _{w,NK}	76,8	1,6	5,4	9,0	-2,2
Vítr na pás pohyblivého	Q _{w,vlak}	47,3	1,2	10,5	14,1	-1,2
Teplota	Q _T	22,7	0,1	0,2	118,5	-3,2
Revizní chodník	Q _{ch}	57,0	0,2	14,7	18,1	-0,5
Sestavy zatížení:						
gr11 (LM71 + SW/0)	Q _{gr11}	1679,9	13,7	28,7	416,5	-5,4
gr12 (LM71 + SW/0)	Q _{gr12}	1430,0	13,9	36,5	425,7	-3,0
gr13 (brždění/rozjezd)	Q _{gr13}	1679,9	13,7	28,7	416,5	-5,4
gr14 (odstředivé/boční ráz)	Q _{gr14}	1430,0	13,9	36,5	425,7	-3,0
gr15 (nezatížený vlak)	Q _{gr15}	80,7	0,6	17,3	31,8	-3,1

Rozhodující kombinace pro 1. MS

komb. č.	N [kN]	Vy [kN]	Vz [kN]	My [kNm]	Mz [kNm]
2	2686,5	17,4	114,3	757,5	-11,0

6.1.2.2. N-4-L: styčnick 4

Vnitřní síly - charakteristické hodnoty

		γ _F	Lok φ ₃	α	N [kN]	Vy [kN]	Vz [kN]	My [kNm]	Mz [kNm]
Stálé zatížení	G _{k1}	1,35			169,4	0,4	26,9	15,52	0,40
Ostatní stálé zatížení	G _{k2}	1,35			405,0	2,9	84,4	17,94	1,51

Vlak LM71	Q ₇₁	1,45	1,21	1,10	514,3	8,7	128,5	30,68	4,00
Vlak LM71,min	Q _{71,min}	1,45	1,21	1,10	-0,30	-6,7	-1,8	-10,45	-3,76
Nazatížený vlak	Q _{nez}	1,00			0,0	0,0	0,0	0,00	0,00
Rozjezdové a brzdné síly	Q _{lak}	1,45		1,10	36,3	1,9	1,6	0,95	0,39
Odstředivé síly	Q _{tk}	1,45		1,10	41,4	1,4	7,6	0,56	1,04
Boční rázy	Q _{sk}	1,45		1,10	7,5	0,2	0,4	5,60	0,90
Vítr na konstrukci	Q _{w,NK}	1,50			52,0	2,9	2,6	3,80	-1,44
Vítr na pás pohyblivého	Q _{w,vlak}	1,50			31,5	1,1	6,7	0,40	0,74
Teplota	Q _T	1,50			12,2	0,0	1,6	60,36	0,02
Revizní chodník	Q _{ch}	1,50			40,6	0,2	9,4	1,88	0,12

Vnitřní síly - návrhové hodnoty

		N [kN]	Vy [kN]	Vz [kN]	My [kNm]	Mz [kNm]
Stálé zatížení	G _{k1}	228,7	0,5	36,3	20,9	0,5
Ostatní stálé zatížení	G _{k2}	546,7	3,9	114,0	24,2	2,0
Vlak LM71	Q ₇₁	995,5	16,9	248,7	59,4	7,7
Vlak LM71,min	Q _{71,min}	-0,6	-12,9	-3,6	-20,2	-7,3
Nazatížený vlak	Q _{nez}	0,0	0,0	0,0	0,0	0,0
Rozjezdové a brzdné síly	Q _{lak}	57,9	3,0	2,5	1,5	0,6
Odstředivé síly	Q _{tk}	66,0	2,2	12,2	0,9	1,7
Boční rázy	Q _{sk}	12,0	0,3	0,6	8,9	1,4
Vítr na konstrukci	Q _{w,NK}	78,0	4,4	3,9	5,7	-2,2
Vítr na pás pohyblivého	Q _{w,vlak}	47,3	1,7	10,1	0,6	1,1
Teplota	Q _T	18,2	0,0	2,5	90,5	0,0
Revizní chodník	Q _{ch}	60,9	0,3	14,1	2,8	0,2
Sestavy zatížení:						
gr11 (LM71 + SW/0)	Q _{gr11}	1092,4	21,1	257,6	65,8	9,9
gr12 (LM71 + SW/0)	Q _{gr12}	1102,4	20,9	262,8	70,0	11,1
gr13 (brždění/rozjezd)	Q _{gr13}	1092,4	21,1	257,6	65,8	9,9
gr14 (odstředivé/boční ráz)	Q _{gr14}	1102,4	20,9	262,8	70,0	11,1
gr15 (nezatížený vlak)	Q _{gr15}	78,0	2,6	12,8	9,8	3,1

Maximální návrhové hodnoty zatížení

komb. č.	N [kN]	Vy [kN]	Vz [kN]	My [kNm]	Mz [kNm]
1	2067,0	32,0	438,0	178,3	12,7

6.1.3. Mezní stav únosnosti

6.1.3.1. Posouzení průřezu N4-L – dx=1/2L

$$\eta_1 = \frac{\sigma_{x,ED}}{f_{yd}} = \frac{N_{Sd}}{f_{yd} \cdot A_{eff}} + \frac{M_{Sd} + N_{Sd} \cdot e_N}{f_{yd} \cdot W_{eff,y}} \leq 1,0,$$

HORNÍ VLÁKNA

$$\eta_{1h} = \frac{\sigma_{x,Ed}}{f_{yd}} = \frac{2,69E+06}{345 \cdot 29494} + \frac{-7,575E+08 + -2,6865E+06 \cdot 0,0}{345 \cdot 09,1914E+06}$$

$$\eta_{1h} = \frac{\sigma_{x,Ed}}{f_{yd}} = 0,264 + -0,239$$

$$\eta_{1h} = \mathbf{0,03} < 1,00 \quad \mathbf{VYHOVUJE}$$

DOLNÍ VLÁKNA

$$\eta_{1d} = \frac{\sigma_{x,Ed}}{f_{yd}} = \frac{003E+06}{345 \cdot 29494} + \frac{07,57E+08 + 002,69E+06 \cdot 0,0}{345 \cdot 011,03E+06}$$

$$\eta_{1d} = \frac{\sigma_{x,Ed}}{f_{yd}} = 0,264 + 0,199$$

$$\eta_{1d} = \mathbf{0,46} < 1,00 \quad \mathbf{VYHOVUJE}$$

Ověření pružné únosnosti:

$N_{Ed} =$	<div style="border: 1px solid black; padding: 2px;">2686,5</div>	kN	$N_{Rd} =$	<div style="border: 1px solid black; padding: 2px;">9250,4</div>	kN
$M_{y,Ed} =$	<div style="border: 1px solid black; padding: 2px;">757,5</div>	kN.m	$M_{y,Rd} =$	<div style="border: 1px solid black; padding: 2px;">2882,8</div>	kN.m
$M_{z,Ed} =$	<div style="border: 1px solid black; padding: 2px;">-11,0</div>	kN.m	$M_{z,Rd} =$	<div style="border: 1px solid black; padding: 2px;">443,4</div>	kN.m

$$\eta_1 = \frac{\sigma_{x,Ed}}{f_{yd}} = \frac{N_{Ed}}{N_{Rd}} + \frac{M_{y,Ed}}{M_{y,Rd}} + \frac{M_{z,Ed}}{M_{z,Rd}} \leq 1,0$$

$$\eta_1 = \frac{2686,47}{9250,39} + \frac{757,47}{2882,75} + \frac{10,95}{443,42}$$

$$\eta_1 = 0,29 + 0,26 + 0,02 = \mathbf{0,58} < 1,0 \quad \mathbf{VYHOVUJE}$$

6.1.3.2. N-4-L: styčník 4

HORNÍ VLÁKNA

$$\eta_{1h} = \frac{\sigma_{x,Ed}}{f_{yd}} = \frac{2,07E+06}{345 \cdot 28684} + \frac{-1,783E+08 + -2,0670E+06 \cdot 0,0}{345 \cdot 08,7698E+06}$$

$$\eta_{1h} = \frac{\sigma_{x,Ed}}{f_{yd}} = 0,209 + -0,059$$

$$\eta_{1h} = 0,15 < 1,00 \quad \text{VYHOVUJE}$$

DOLNÍ VLÁKNA

$$\eta_{1d} = \frac{\sigma_{x,Ed}}{f_{yd}} = \frac{002E+06}{345 \cdot 28684} + \frac{01,78E+08 + 002,07E+06 \cdot 0,0}{345 \cdot 010,52E+06}$$

$$\eta_{1d} = \frac{\sigma_{x,Ed}}{f_{yd}} = 0,209 + 0,049$$

$$\eta_{1d} = 0,26 < 1,00 \quad \text{VYHOVUJE}$$

Ověření pružné únosnosti:

$N_{Ed} =$	<div style="border: 1px solid black; padding: 2px;">2067,0</div>	kN	$N_{Rd} =$	<div style="border: 1px solid black; padding: 2px;">8996,3</div>	kN
$M_{y,Ed} =$	<div style="border: 1px solid black; padding: 2px;">178,3</div>	kN.m	$M_{y,Rd} =$	<div style="border: 1px solid black; padding: 2px;">2750,5</div>	kN.m
$M_{z,Ed} =$	<div style="border: 1px solid black; padding: 2px;">12,7</div>	kN.m	$M_{z,Rd} =$	<div style="border: 1px solid black; padding: 2px;">3949,7</div>	kN.m

$$\eta_1 = \frac{\sigma_{x,Ed}}{f_{yd}} = \frac{N_{Ed}}{N_{Rd}} + \frac{M_{y,Ed}}{M_{y,Rd}} + \frac{M_{z,Ed}}{M_{z,Rd}} \leq 1,0$$

$$\eta_1 = \frac{2066,98}{8996,35} + \frac{178,28}{2750,53} + \frac{12,69}{3949,73}$$

$$\eta_1 = 0,23 + 0,06 + 0,00 = 0,30 < 1,0 \quad \text{VYHOVUJE}$$

Smyková únosnost průřezu N-4-L – styčník

$$V_{pl,RD} = \frac{A_{vz} \cdot f_y}{\gamma_{M0} \sqrt{3}} = \frac{07,855E+06}{1,732}$$

$$V_{pl,RD} = \frac{07,855E+06}{1,73} = 4535,34 \quad \text{kN}$$

$$V_{pl,RD} = 4535,34 > 438,01 \quad \text{kN} \quad \text{VYHOVUJE}$$

$$\frac{V_{Ed,z}}{V_{pl,RD}} = \frac{438,01}{4535,34} = 0,097$$

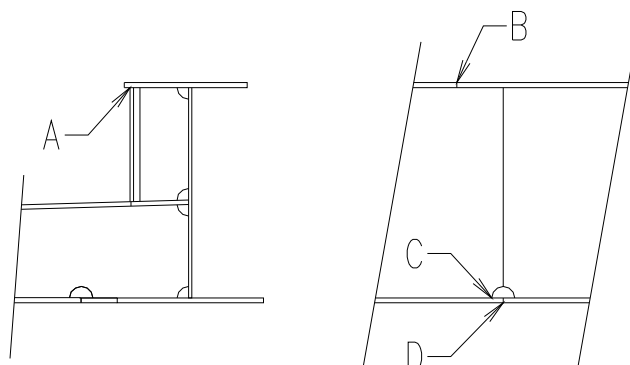
Účinek smykového napětí při ohybu je zanedbatelný a není třeba prokazovat interakci normálového a smykového napětí.

6.1.4. Mezní stav únavy

Největší využití průřezu z hlediska únavy vznikne v místě prvku dolního pásu č. N4-L. Rozhodujícími detaily pro únavovou únosnost jsou místa označená na obr.

6.1.4.1. Průřez viz 6.1.1

N4-L



A – Podélný svar

kat. 56

B – Příčný svar

kat. 80

C – Výřez ve stěně

kat. 71

D – Příčný svar

kat. 80

Rozhodující průřez hl.n.

Jak je patrné z výpočtu, smykové ochabnutí v poli je zanedbatelné.

6.1.4.2. Vnitřní síly N4-L

Únava - návrhové hodnoty

		N [kN]	Vz [kN]	My [kNm]	Mz [kNm]
Vlak LM71	Q ₇₁	1574,4	0,0	220,0	2,2
Vlak LM71,min	Q _{71,min}	-1,69	0,0	-11,5	-2,3

6.1.4.3. Posouzení

$$\lambda = \lambda_1 * \lambda_2 * \lambda_3 * \lambda_4$$

součinitel ekvivalentního poškození

$\lambda_1 = 0,66$ 0,66 vliv rozpětí, zahrnuje účinek poškození od dopravy - standardní doprava EC Mix

$\lambda_2 = 0,72$ 0,72 vliv objemu dopravy < 1,825-7,3e6 t/rok

$\lambda_3 = 1,00$ 1,00 součinitel návrhové doby života 100 let (50 let = 0,87)

$\lambda_4 = 1,00$ 1,00 vliv zatížení konstrukčního prvku více než 1 kolejí

$\lambda_{pole,max} = 1,40$ maximální hodnota (L<30 m)

$\lambda_{pole} = 0,48$ 0,48 < $\lambda_{pole,max}$ => $\lambda = 0,48$

$\phi_2 = 1,14$ 1,14

$\gamma_{Fi} = 1,00$ součinitel zatížení na únavu

$\gamma_{Mi} = 1,35$ součinitel materiálu

$$\Delta\sigma_{E,2} = \lambda * \phi_2 * \Delta\sigma_{71}$$

Posuzované detaily :

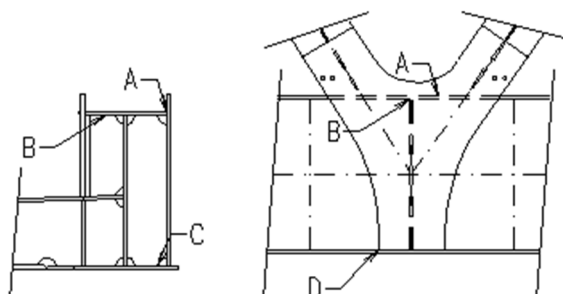
Dolní pás levého nosníku v polovině rozpětí mostu:

Detail A	Podélný svar	kat. 100
Detail B	Příčný svar	kat. 80
Detail C	Připojení příčnicku k hlavnímu nosníku	kat. 71
Detail D	Příčný svar	kat. 80

Číslo detailu		A			B			C			D		
		N	My	Mz	N	My	Mz	N	My	Mz	N	My	Mz
referenční rozkmit napětí	$\Delta\sigma_{71}$	53,4	-11,0	3,1	53,4	-21,9	3,6	53,4	20,0	3,3	53,4	21,0	3,3
dyn. souč. ekv. zatížení	ϕ_2	1,14	1,14	1,14	1,14	1,14	1,14	1,14	1,14	1,14	1,14	1,14	1,14
ekvival. rozkmit napětí	$\Delta\sigma_{E,2,i}$	29,0	-6,0	1,7	29,0	-11,9	1,9	29,0	10,9	1,8	29,0	11,4	1,8
ekvival. rozkmit napětí	$\Delta\sigma_{E,2}$	36,6			42,8			41,6			42,2		
tloušťka materiálu	t	-	-	-	-	-	-	-	-	-	-	-	-
vliv tloušťky materiálu	ϕ_t	-	-	-	-	-	-	-	-	-	-	-	-
kategorie detailu	$\Delta\sigma_c$	100			80			71			80		
	$\gamma_{Fi} * \Delta\sigma_{E,2} =$	36,6			42,8			41,6			42,2		
	$\phi_t \Delta\sigma_c / \gamma_{Mr} =$	74,1			59,3			52,6			59,3		
		VYHOVUJE			VYHOVUJE			VYHOVUJE			VYHOVUJE		
Využití		0,49			0,72			0,79			0,71		

6.1.4.4. Průřez viz 6.1.1

N4-L - styčník



Detail A	Podélný svar	kat. 56
Detail B	Příčný svar	kat. 80
Detail C	Výřez ve stěně	kat. 80
Detail D	Podélný svar	kat. 56

6.1.4.5. Vnitřní síly N4-L - styčník

Únava - návrhové hodnoty

		N [kN]	Vz [kN]	My [kNm]	Mz [kNm]
Vlak LM71	Q_{71}	1574,4	0,0	33,7	4,4
Vlak LM71,min	$Q_{71,min}$	-1,69	0,0	-11,5	-4,1

6.1.4.6. Posouzení

Číslo detailu		A			B			C			D		
		N	My	Mz	N	My	Mz	N	My	Mz	N	My	Mz
referenční rozkmit napětí	$\Delta\sigma_{71}$	57,5	-2,6	1,4	57,4	-2,5	0,5	56,9	4,0	0,7	57,0	4,2	0,7
dyn. souč. ekv. zatížení	ϕ_2	1,14	1,14	1,14	1,14	1,14	1,14	1,14	1,14	1,14	1,14	1,14	1,14
ekvival. rozkmit napětí	$\Delta\sigma_{E,2,i}$	31,2	-1,4	0,7	31,2	-1,4	0,3	30,9	2,2	0,4	30,9	2,3	0,4
ekvival. rozkmit napětí	$\Delta\sigma_{E,2}$	33,4			32,8			33,4			33,5		
tloušťka materiálu	t	-	-	-	-	-	-	-	-	-	-	-	-
vliv tloušťky materiálu	ϕ_t	-	-	-	-	-	-	-	-	-	-	-	-
kategorie detailu	$\Delta\sigma_C$	56			80			80			56		
$\gamma_{Fi} \cdot \Delta\sigma_{E,2} =$		33,4			32,8			33,4			33,5		
$\phi_t \Delta\sigma_C / \gamma_{Mi} =$		41,5			59,3			59,3			41,5		
		VYHOVUJE			VYHOVUJE			VYHOVUJE			VYHOVUJE		
Využití		0,80			0,55			0,56			0,81		

6.1.5. Zatížitelnost

$$\begin{aligned}
 N_{Ed} &= 2686,5 & \text{kN} & & N_{Rd} &= 9250,4 & \text{kN} \\
 M_{y,Ed} &= 757,5 & \text{kN.m} & & M_{y,Rd} &= 2882,8 & \text{kN.m} \\
 M_{z,Ed} &= -11,0 & \text{kN.m} & & M_{z,Rd} &= 443,4 & \text{kN.m}
 \end{aligned}$$

$$\begin{aligned}
 N_{rs,Ed} &= 1627,5 & \text{kN} & & N_{LM71,Ed} &= 1059,0 & \text{kN} \\
 M_{y,rs,Ed} &= 370,4 & \text{kN.m} & & M_{y,LM71,Ed} &= 387,1 & \text{kN.m} \\
 M_{z,rs,Ed} &= -14,9 & \text{kN.m} & & M_{z,LM71,Ed} &= 3,9 & \text{kN.m}
 \end{aligned}$$

$$\eta_{1,rs} = \frac{N_{rs,Ed}}{N_{Rd}} = \frac{M_{y,Ed}}{M_{y,Rd}} + \frac{M_{z,Ed}}{M_{z,Rd}}$$

$$\eta_{1,rs} = \frac{1627,50}{9250,39} + \frac{370,40}{2882,75} + \frac{14,86}{443,42}$$

$$\eta_{1,rs} = 0,18 + 0,13 + 0,03 = 0,34$$

$$\eta_{1,LM71} = \frac{N_{LM71,Ed}}{N_{Rd}} = \frac{M_{y,LM71,Ed}}{M_{y,Rd}} + \frac{M_{z,LM71,Ed}}{M_{z,Rd}}$$

$$\eta_{1,LM71} = \frac{1058,97}{9250,39} + \frac{387,07}{2882,75} + \frac{-3,91}{443,42}$$

$$\eta_{1,LM71} = 0,11 + 0,13 + -0,01 = 0,24$$

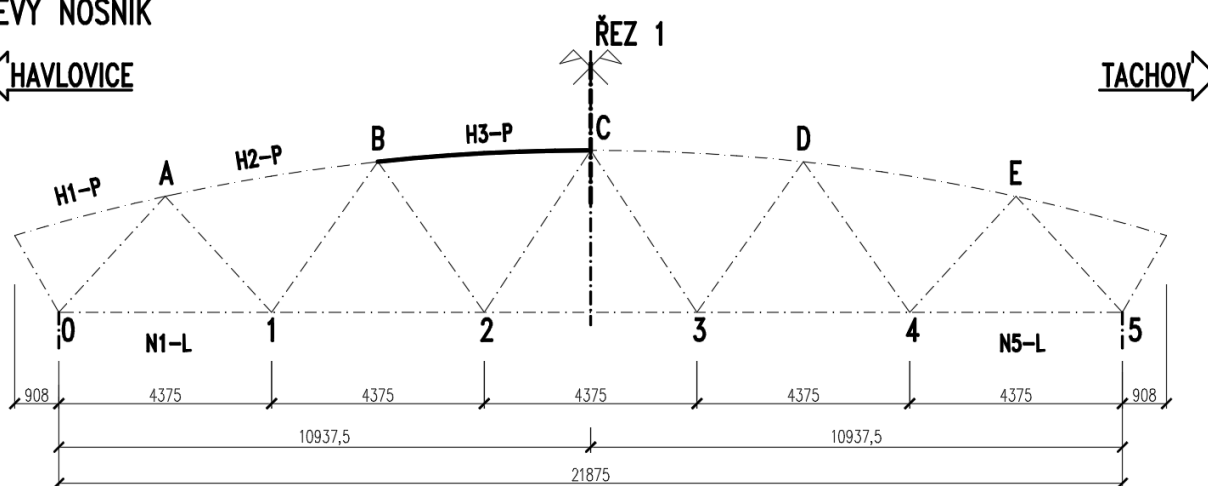
$$Z_{LM71} = \frac{1 - \eta_{1,rs}}{\eta_{1,LM71}} = \frac{0,66}{0,24} = 2,76$$

6.2. Horní pás

Řezy rozhodující pro návrh horního pásu

LEVÝ NOSNÍK

← HAVLOVICE



Dynamický součinitel

Dynamické součinitele

$L = 21,875$ m (rozpětí)

$L_\phi = 21,875$ m (náhradní délka)

Pro pečlivě udržovanou kolej:

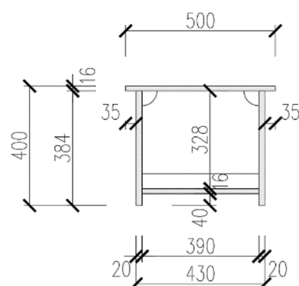
$$\phi_2 = \frac{1,44}{(L_\phi)^{0,5} - 0,2} + 0,82 = 1,14 \rightarrow 1,14 \quad (1,0 < \phi_2 < 1,67)$$

Pro standardně udržovanou kolej:

$$\phi_3 = \frac{2,16}{(L_\phi)^{0,5} - 0,2} + 0,73 = 1,21 \rightarrow 1,21 \quad (1,0 < \phi_3 < 2,00)$$

6.2.1. Průřezové charakteristiky

H1



A	[mm ²]	29600		
I _y	[mm ⁴]	621820000	I _z	89178000
I _w	[mm ⁶]	0,0000e+00	I _t	[mm ⁴] 17653000
W _{ely}	[mm ³]	2882800	W _{elz}	3567100
W _{ply}	[mm ³]	3953500	W _{plz}	4757200
i _y	[mm]	144,93	i _z	173,57

Zatřídění průřezu H1 – ŘEZ 1:

$$c/t_w = 35/16 = 2,3 < 9 \cdot \epsilon = 7,29 \text{ třída 1}$$

$$d/t_w = 328/20 = 16,4 < 33 \cdot \epsilon = 26,73 \text{ třída 1}$$

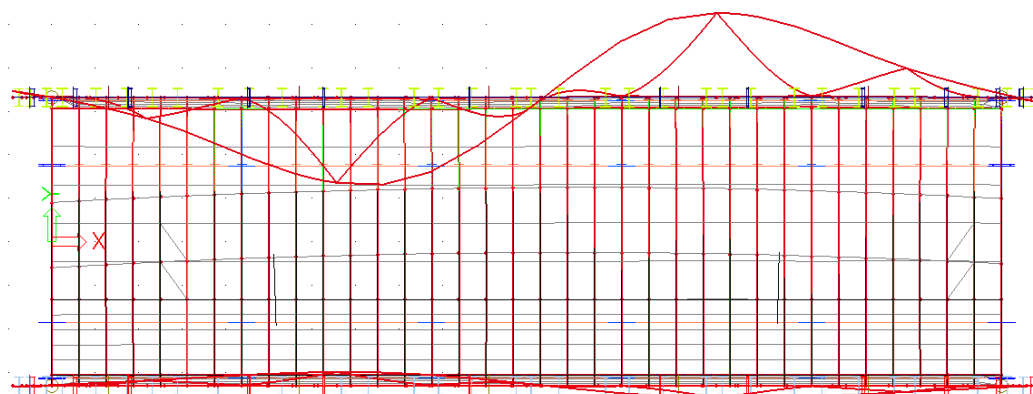
$$b/t_f = 390/16 = 24,4 < 33 \cdot \epsilon = 26,73 \text{ třída 1}$$

Třída 1

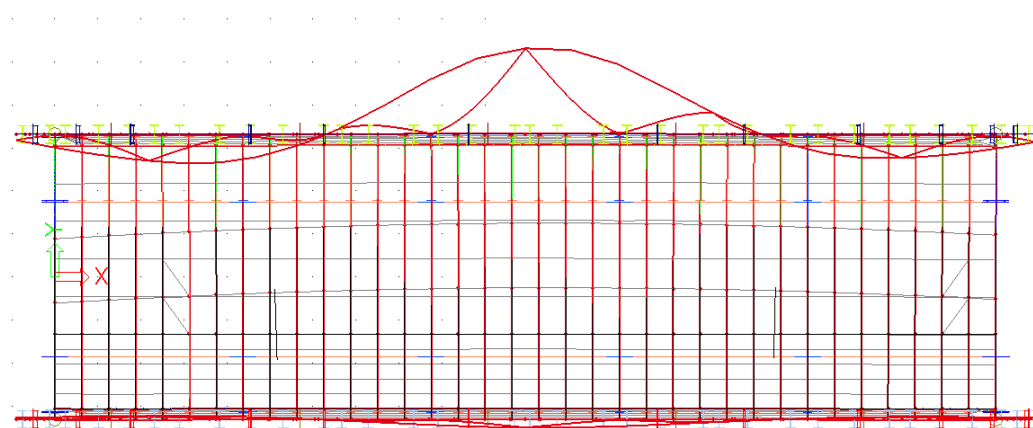
6.2.2. Stabilitní výpočet

Byl proveden výpočet pro kombinaci zatížení vyvolující maximální osovou sílu v trámu horního pasu.

1. Vlastní tvar



2. Vlastní tvar



Byla zjištěna velikost kritické normálové síly N_{cr} a dopočtena vzpěrná délka horního pasu pro vybočení z roviny nosníku $L_{cr,z}$.

6.3. Řez 1

6.3.1. Vnitřní síly

Vnitřní síly- charakteristické hodnoty

		γ_F	Lok ϕ_3	α	N [kN]	Vy [kN]	Vz [kN]	My [kNm]	Mz [kNm]
Stálé zatížení	G_{k1}	1,35			-394,6	0,1	14,1	14,20	-0,23
Ostatní stálé zatížení	G_{k2}	1,35			-865,9	1,2	46,3	41,43	-3,15
Vlak LM71	Q_{71}	1,45	1,21	1,10	-1118,0	2,6	60,2	55,30	-11,07
Vlak LM71,min	$Q_{71,min}$	1,45	1,21	1,10	0,00	-2,4	-60,2	0,00	9,24
Nazatížený vlak	Q_{nez}	1,00			0,0	0,0	0,0	0,00	0,00
Rozjezdové a brzdné síly	Q_{lak}	1,45		1,10	-47,3	0,1	1,8	1,66	-0,08
Odstředivé síly	Q_{tk}	1,45		1,10	-80,8	-0,3	4,3	4,01	1,73
Boční rázy	Q_{sk}	1,45		1,10	-16,4	-0,8	0,9	0,88	0,40
Vítr na konstrukci	$Q_{w,NK}$	1,50			-20,5	1,8	1,1	1,28	0,38
Vítr na pás pohyblivého	$Q_{w,vlak}$	1,50			-59,8	0,1	3,2	2,88	1,25
Teplota	Q_T	1,50			-23,0	0,1	0,6	8,15	0,04
Revizní chodník	Q_{ch}	1,50			-89,1	0,0	4,8	4,29	-0,15

Vnitřní síly - návrhové hodnoty

		N [kN]	Vy [kN]	Vz [kN]	My [kNm]	Mz [kNm]
Stálé zatížení	G_{k1}	319,1	0,1	19,1	19,2	-0,3
Ostatní stálé zatížení	G_{k2}	-1169,0	1,7	62,5	55,9	-4,3
Vlak LM71	Q_{71}	-2162,1	5,0	116,4	106,9	-21,4
Vlak LM71,min	$Q_{71,min}$	0,0	-4,7	-116,4	0,0	17,9
Nazatížený vlak	Q_{nez}	0,0	0,0	0,0	0,0	0,0
Rozjezdové a brzdné síly	Q_{lak}	-75,5	0,2	2,9	2,6	-0,1
Odstředivé síly	Q_{tk}	-128,8	-0,5	6,9	6,4	2,8
Boční rázy	Q_{sk}	-26,2	-1,3	1,4	1,4	0,6
Vítr na konstrukci	$Q_{w,NK}$	-30,8	2,7	1,7	1,9	0,6
Vítr na pás pohyblivého	$Q_{w,vlak}$	-89,7	0,2	4,8	4,3	1,9
Teplota	Q_T	-34,5	0,1	0,9	12,2	0,1
Revizní chodník	Q_{ch}	-133,6	0,0	7,1	6,4	-0,2
Sestavy zatížení:						
gr11 (LM71 + SW/0)	Q_{gr11}	-2315,1	4,2	123,4	113,5	-19,8
gr12 (LM71 + SW/0)	Q_{gr12}	-2354,8	3,2	126,2	116,1	-18,1
gr13 (brždění/rozjezd)	Q_{gr13}	-2315,1	4,2	123,4	113,5	-19,8
gr14 (odstředivé/boční ráz)	Q_{gr14}	-2354,8	3,2	126,2	116,1	-18,1
gr15 (nezatížený vlak)	Q_{gr15}	-155,0	-1,9	8,3	7,8	3,4

Maximální návrhové hodnoty zatížení

komb. č.	N [kN]	Vy [kN]	Vz [kN]	My [kNm]	Mz [kNm]
3	-3452,7	7,9	220,4	209,9	-20,3

Únava - charakteristické hodnoty

		γ_F	Lok ϕ_2	Glo ϕ_2	α	N [kN]	Vz [kN]	My [kNm]	Mz [kNm]
Vlak LM71	Q ₇₁	1,00	1,00	1,00	1,10	- 1118,0	60,2	55,3	-11,1
Vlak LM71,min	Q _{71,min}	1,00	1,00	1,00	1,10	0,00	-60,2	0,0	9,2

Únava - návrhové hodnoty

		N [kN]	Vz [kN]	My [kNm]	Mz [kNm]
Vlak LM71	Q ₇₁	- 1229,8	66,2	60,8	-12,2
Vlak LM71,min	Q _{71,min}	0,00	-66,2	0,0	10,2

6.3.2. Mezní stav únosnosti

Vybočení v rovině nosníku - kolmo k ose y

$$A = 29600 \text{ mm}^2$$

$$I_y = 6,22E+08 \text{ mm}^4$$

$$i_y = 144,94 \text{ mm}$$

$$L_{cr,y} = 4380 \text{ mm}$$

$$\lambda_y = 30,22$$

$$\lambda_1 = 76,06$$

$$\lambda'_y = 0,40$$

$$\alpha = 0,49$$

$$\phi = 0,63$$

$$\chi_y = 0,90$$

Vybočení z roviny nosníku - kolmo k ose z

$$A = 29600 \text{ mm}^2$$

$$I_z = 8,92E+08 \text{ mm}^4$$

$$i_z = 173,57 \text{ mm}$$

$$L_{cr,z} = 12500 \text{ mm}$$

$$\lambda_z = 72,02$$

$$\lambda_1 = 76,06$$

$$\lambda'_z = 0,95$$

$$\alpha = 0,49$$

$$\phi = 1,13$$

$$\chi_z = 0,571$$

TLAK S OHYBEM BEZ ZTRÁTY STABILITY - PRUŽNÝ POSUDEK (BEZ KLOPENÍ)

$$\begin{aligned} N_{Ed} &= \boxed{-3452,7} \text{ kN} \\ M_{y,Ed} &= \boxed{209,9} \text{ kN.m} \\ M_{z,Ed} &= \boxed{-20,3} \text{ kN.m} \end{aligned}$$

$$\begin{aligned} N_{Rk} &= \boxed{10508,00} \text{ kN} \\ M_{y,Rk}^h &= \boxed{1164,0} \text{ kN.m} \\ M_{z,Rk}^h &= \boxed{1230,6} \text{ kN.m} \end{aligned}$$

$$\begin{aligned} M_{y,Rk}^d &= \boxed{994,5} \text{ kN.m} \\ M_{z,Rk}^d &= \boxed{1431,0} \text{ kN.m} \end{aligned}$$

$$\begin{aligned} \chi_y &= \boxed{0,90} \\ \chi_z &= \boxed{0,57} \\ \chi_{LT} &= \boxed{1,00} \end{aligned}$$

$$\begin{aligned} k_{yy} &= \boxed{1,0} \\ k_{yz} &= \boxed{1,0} \\ k_{zy} &= \boxed{1,0} \\ k_{zz} &= \boxed{1,0} \end{aligned}$$

$$\gamma_{M1} = 1,10$$

HORNÍ VLÁKNA

$$\frac{N_{Ed}}{\chi_y N_{Rk}} + k_{yy} \frac{M_{y,Ed}}{\chi_{LT} M_{y,Rk}} + k_{yz} \frac{M_{z,Ed}}{M_{z,Rk}} \leq 1,0$$

$$\frac{-3452681,95}{0,90 \cdot 10508000,00} + 1,0 \frac{-209892657,44}{1,00 \cdot 1164011866,51} + 1,0 \frac{-20332350,20}{1230649577,01} \leq 1,0$$

$$\frac{3452681,95}{8585403,37} + 1 \frac{-209892657,44}{1058192605,92} + 1 \frac{-20332350,20}{1118772342,73} \leq 1,0$$

$$\begin{aligned} -0,40 &+ -0,20 &+ -0,02 &\leq 1,0 \\ &&0,62 &< 1,0 \end{aligned} \rightarrow \text{VYHOVUJE}$$

$$\frac{N_{Ed}}{\chi_z N_{Rk}} + k_{zy} \frac{M_{y,Ed}}{\chi_{LT} M_{y,Rk}} + k_{zz} \frac{M_{z,Ed}}{M_{z,Rk}} \leq 1,0$$

$$\frac{-3452681,95}{0,57 \cdot 10508000,00} + 1,0 \frac{-209892657,44}{1,00 \cdot 1164011866,51} + 1,0 \frac{-20332350,20}{1430987880,24} \leq 1,0$$

$$\frac{-}{3452681,95} + 1 \frac{-209892657,44}{1058192605,92} + 1 \frac{-20332350,20}{1300898072,95} \leq 1,0$$

$$\frac{-0,63}{-0,63} + \frac{-0,20}{-0,20} + \frac{-0,02}{0,85} \leq 1,0$$

$$0,85 < 1,0 \rightarrow \text{VYHOVUJE}$$

DOLNÍ VLÁKNA

$$\frac{N_{Ed}}{\chi_y N_{Rk}} + k_{yy} \frac{M_{y,Ed}}{\chi_{LT} M_{y,Rk}} + k_{yz} \frac{M_{z,Ed}}{M_{z,Rk}} \leq 1,0$$

$$\frac{N_{Ed}}{\gamma_{M1}} + \frac{M_{y,Ed}}{\gamma_{M1}} + \frac{M_{z,Ed}}{\gamma_{M1}} \leq 1,0$$

$$\frac{-3452681,95}{0,90 \cdot 10508000,00} + 1,0 \frac{209892657,44}{1,00 \cdot 994517579,15} + 1,0 \frac{-20332350,20}{1230649577,01} \leq 1,0$$

$$\frac{-}{3452681,95} + 1,0 \frac{209892657,44}{904106890,14} + 1,0 \frac{-20332350,20}{1118772342,73} \leq 1,0$$

$$\frac{-0,40}{-0,40} + \frac{0,23}{0,23} + \frac{-0,02}{0,19} \leq 1,0$$

$$0,19 < 1,0 \rightarrow \text{VYHOVUJE}$$

$$\frac{N_{Ed}}{\chi_z N_{Rk}} + k_{zy} \frac{M_{y,Ed}}{\chi_{LT} M_{y,Rk}} + k_{zz} \frac{M_{z,Ed}}{M_{z,Rk}} \leq 1,0$$

$$\frac{N_{Ed}}{\gamma_{M1}} + \frac{M_{y,Ed}}{\gamma_{M1}} + \frac{M_{z,Ed}}{\gamma_{M1}} \leq 1,0$$

$$\frac{-3452681,95}{0,57 \cdot 10508000,00} + 1,0 \frac{209892657,44}{1,00 \cdot 1164011866,51} + 1,0 \frac{-20332350,20}{1230649577,01} \leq 1,0$$

$$\frac{-}{3452681,95} + 1,0 \frac{209892657,44}{1058192605,92} + 1,0 \frac{-20332350,20}{1118772342,73} \leq 1,0$$

$$\frac{-0,63}{-0,63} + \frac{0,20}{0,20} + \frac{-0,02}{0,45} \leq 1,0$$

$$0,45 < 1,0 \rightarrow \text{VYHOVUJE}$$

6.3.3. Mezní stav únavy

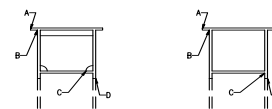
Posuzované detaily :

Horní pás levého nosníku: H1 - ŘEZ 1

Detail A Základní materiál kat. 71

Detail B,C Přivažení diafragma komorových nosníků kat. 71

Detail D Náběh styčnickového pásu kat. 90



L = 21,88 pro určení λ_1
 L_ϕ = 21,88 náhradní délka pro určení ϕ
 L_{Glob} = 21,9 rozpětí mostu - globální účinky

globální

$\lambda = \lambda_1 * \lambda_2 * \lambda_3 * \lambda_4$ součinitel ekvivalentního poškození

λ_1 = 0,67 0,66 vliv rozpětí, zahrnuje účinek poškození od dopravy - standardní doprava EC Mix

λ_2 = 0,72 0,72 vliv objemu dopravy < 1,825 t/rok

λ_3 = 1,00 1,00 součinitel návrhové doby života 100 let (50 let = 0,87)

λ_4 = 1,00 1,00 vliv zatížení konstrukčního prvku více než 1 kolejí

$\lambda_{pole,max}$ = 1,40 maximální hodnota ($L < 30$ m)

λ_{pole} = 0,48 0,48 < $\lambda_{pole,max}$ => λ = 0,48

ϕ_2 = 1,14 1,14

γ_{Fi} = 1,00 součinitel zatížení na únavu

γ_{Mf} = 1,35 součinitel materiálu

$\Delta\sigma_{E,2} = \lambda * \phi_2 * \Delta\sigma_{71}$

Číslo detailu		A			B			C			D		
		N	My	Mz	N	My	Mz	N	My	Mz	N	My	Mz
rozpětí	L =	21,88	21,88	21,88	21,88	21,88	21,88	21,88	21,88	21,88	21,88	21,88	21,88
náhradní délka	L_ϕ =	21,88	21,88	21,88	21,88	21,88	21,88	21,88	21,88	21,88	21,88	21,88	21,88
vliv rozpětí	λ_1 =	0,67	0,66	0,66	0,67	0,66	0,66	0,67	0,66	0,66	0,67	0,66	0,66
vliv objemu dopravy	λ_2 =	0,72	0,72	0,72	0,72	0,72	0,72	0,72	0,72	0,72	0,72	0,72	0,72
souč. návrh. doby života	λ_3 =	1,00	1,00	1,00	1,00	1,00	1,00	1,00	1,00	1,00	1,00	1,00	1,00
vliv počtu kolejí	λ_4 =	1,00	1,00	1,00	1,00	1,00	1,00	1,00	1,00	1,00	1,00	1,00	1,00
souč. ekvival. poškození	λ_{pole} =	0,48	0,48	0,48	0,48	0,48	0,48	0,48	0,48	0,48	0,48	0,48	0,48
souč. ekvival. poškození	λ =	0,48	0,48	0,48	0,48	0,48	0,48	0,48	0,48	0,48	0,48	0,48	0,48
referenční rozkmit napětí	$\Delta\sigma_{71}$	-41,5	-18,0	-4,6	41,5	-16,4	-6,3	41,5	15,7	-5,4	41,5	21,1	-5,4
dyn. souč. ekv. zatížení	ϕ_2	1,14	1,14	1,14	1,14	1,14	1,14	1,14	1,14	1,14	1,14	1,14	1,14
ekvival. rozkmit napětí	$\Delta\sigma_{E,2,i}$	-22,9	-9,8	-2,5	22,9	-8,9	-3,4	22,9	8,5	-2,9	22,9	11,5	-2,9
ekvival. rozkmit napětí	$\Delta\sigma_{E,2}$	35,2			35,2			34,3			37,3		
tloušťka materiálu	t	-	-	-	-	-	-	-	-	-	-	-	-
vliv tloušťky materiálu	ϕ_t	-	-	-	-	-	-	-	-	-	-	-	-
kategorie detailu	$\Delta\sigma_C$	125			71			71			90		
$\gamma_{Fi} * \Delta\sigma_{E,2}$		35,2			35,2			34,3			37,3		
$\phi_t \Delta\sigma_C / \gamma_{Mf}$		92,6			52,6			52,6			66,7		
		VYHOVUJE			VYHOVUJE			VYHOVUJE			VYHOVUJE		

Využití	0,38	0,67	0,65	0,56
---------	------	------	------	------

6.3.4. Zatížitelnost

$$\begin{array}{ll}
 N_{Ed} = \begin{array}{|c|} \hline -3452,7 \\ \hline \end{array} & \text{kN} \\
 M_{y,Ed} = \begin{array}{|c|} \hline 209,9 \\ \hline \end{array} & \text{kN.m} \\
 M_{z,Ed} = \begin{array}{|c|} \hline -20,3 \\ \hline \end{array} & \text{kN.m}
 \end{array}
 \quad
 \begin{array}{ll}
 N_{Rd} = \begin{array}{|c|} \hline 5457,9 \\ \hline \end{array} & \text{kN} \\
 M_{y,Rd} = \begin{array}{|c|} \hline 1058,2 \\ \hline \end{array} & \text{kN.m} \\
 M_{z,Rd} = \begin{array}{|c|} \hline 1300,9 \\ \hline \end{array} & \text{kN.m}
 \end{array}$$

$$\begin{array}{ll}
 N_{rs,Ed} = \begin{array}{|c|} \hline -1137,6 \\ \hline \end{array} & \text{kN} \\
 M_{y,rs,Ed} = \begin{array}{|c|} \hline 96,4 \\ \hline \end{array} & \text{kN.m} \\
 M_{z,rs,Ed} = \begin{array}{|c|} \hline -0,5 \\ \hline \end{array} & \text{kN.m}
 \end{array}
 \quad
 \begin{array}{ll}
 N_{LM71,Ed} = \begin{array}{|c|} \hline -2162,1 \\ \hline \end{array} & \text{kN} \\
 M_{y,LM71,Ed} = \begin{array}{|c|} \hline 106,9 \\ \hline \end{array} & \text{kN.m} \\
 M_{z,LM71,Ed} = \begin{array}{|c|} \hline -21,4 \\ \hline \end{array} & \text{kN.m}
 \end{array}$$

$$\eta_{1,rs} = \frac{N_{rs,Ed}}{N_{Rd}} + \frac{M_{y,Ed}}{M_{y,Rd}} + \frac{M_{z,Ed}}{M_{z,Rd}}$$

$$\eta_{1,rs} = \frac{1137,62}{5457,95} + \frac{96,40}{1058,19} + \frac{0,50}{1300,90}$$

$$\eta_{1,rs} = 0,21 + 0,09 + 0,00 = 0,30$$

$$\eta_{1,LM71} = \frac{N_{LM71,Ed}}{N_{Rd}} + \frac{M_{y,LM71,Ed}}{M_{y,Rd}} + \frac{M_{z,LM71,Ed}}{M_{z,Rd}}$$

$$\eta_{1,LM71} = \frac{2162,07}{5457,95} + \frac{106,94}{1058,19} + \frac{21,41}{1300,90}$$

$$\eta_{1,LM71} = 0,40 + 0,10 + 0,02 = 0,51$$

$$Z_{LM71} = \frac{1 - \eta_{1,rs}}{\eta_{1,LM71}} = \frac{0,70}{0,51} = 1,36$$

6.4. Diagonály

V místě vetknutí diagonál do hlavního nosníku je zvětšen ohybový moment od vzpěru horního pásu o následující hodnotu.

$$M_y = F_{sd} \cdot L$$

$$F_{sd} = N_{sd} / 100$$

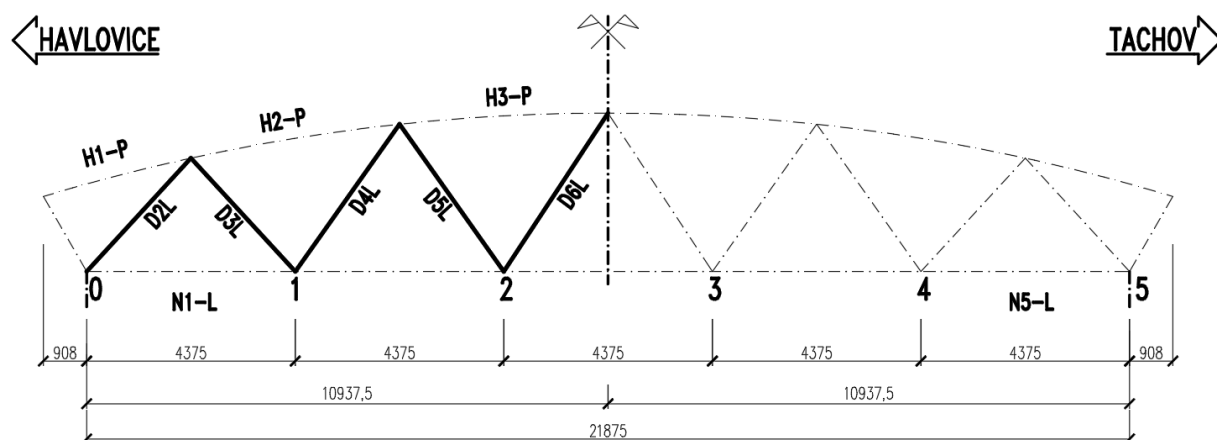
F_{sd} – příčná síla v těžišti horního pásu

N_{sd} – návrhová osová síla v horním pásu hl.n.

Pro návrh průřezů diagonál je rozhodující řez v místě připojení diagonály k dolnímu pásu hl. nosníku.

Řezy rozhodující pro návrh diagonál:

LEVÝ NOSNÍK



Dynamické součinitele

$$L = 21,875 \text{ m (rozpětí)}$$

$$L_\phi = 21,875 \text{ m (náhradní délka)}$$

Pro pečlivě udržovanou kolej:

$$\phi_2 = \frac{1,44}{(L_\phi)^{0,5} - 0,2} + 0,82 = 1,14 \rightarrow 1,14 \quad (1,0 < \phi_2 < 1,67)$$

Pro standardně udržovanou kolej:

$$\phi_3 = \frac{2,16}{(L_\phi)^{0,5} - 0,2} + 0,73 = 1,21 \rightarrow 1,21 \quad (1,0 < \phi_3 < 2,00)$$

6.4.1. Průřezové charakteristiky

D2

Průřezové charakteristiky - číselný průřez - osy v těžišti

D3

Průřezové charakteristiky - číselný průřez - osy v těžišti

54/98

Ocelový průřez									
výška průřezu [mm]:		h_{steel}		800	mm				
Plech mostovky:									
tloušťka plechu mostovky [mm]:		t_{Ft}		16	mm	31%	řada oceli		
efektivní šířka plechu mostovky [mm]:		b_{Ft}		280	mm	mez kluzu oceli f_y [MPa]:		355	MPa
Stěna:									
tloušťka ocelové stěny vyztuhy [mm]:		t_w		14	mm	38%	řada oceli		
výška ocelové stěny vyztuhy [mm]:		h_w		390	mm	mez kluzu oceli f_y [MPa]:		355	MPa
Dolní pásnice:									
tloušťka dolní ocelové pásnice [mm]:		t_{Fb}		16	mm	31%	řada oceli		
šířka dolní ocelové pásnice [mm]:		b_{Fb}		280	mm	mez kluzu oceli f_y [MPa]:		355	MPa

A	=	14420	mm ²	Plocha				
A _v	=	5460	mm ³	Plocha stojny				
S _y	=		mm ³	Statický moment k dolnímu líci				
Z _{c, eff}	=	0,0	mm	Poloha těžiště průřezu od dolního líce				
e _{yh}	=	215,0	mm	Vzdálenost horních vláken od těžiště				
e _{yd}	=	215,0	mm	Vzdálenost dolních vláken od těžiště				
e _{zh}	=	140,0	mm					
e _{zd}	=	140,0	mm					
I _{y,lok}	=	5,4025883E+08	mm ⁴	Moment setrvačnosti y				
I _{z,lok}	=	7,3262513E+07	mm ⁴	Moment setrvačnosti z				
i _y	=	193,5612	mm	Poloměr setrvačnosti y				
i _z	=	71,2785	mm	Poloměr setrvačnosti z				

Ocelový průřez												
výška průřezu [mm]:		h_{steel}		800 mm								
Plech mostovky:												
tloušťka plechu mostovky [mm]:		t_{Ft}		20 mm	35%	řada oceli						
efektivní šířka plechu mostovky [mm]:		b_{Ft}		280 mm	mez kluzu oceli fy [MPa]:				345	MPa		
Stěna:												
toušťka ocelové stěny vyztuhy [mm]:		t_w		12 mm	29%	řada oceli						
výška ocelové stěny výztuhy [mm]:		h_w		390 mm	mez kluzu oceli fy [MPa]:				355	MPa		
Dolní pásnice:												
tloušťka dolní ocelové pásnice [mm]:		t_{Fb}		20 mm	35%	řada oceli						
šířka dolní ocelové pásnice [mm]:		b_{Fb}		280 mm	mez kluzu oceli fy [MPa]:				345	MPa		

Průřezové charakteristiky - číselný průřez - osy v těžišti									
A	=	15880	mm ²	Plocha					
A _v	=	4680	mm ³	Plocha stojny					
S _y	=		mm ³	Statický moment k dolnímu líci					
Z _{c, eff}	=	0,0	mm	Poloha těžiště průřezu od dolního líce					
e _{yh}	=	213,0	mm	Vzdálenost horních vláken od těžiště					
e _{yd}	=	213,0	mm	Vzdálenost dolních vláken od těžiště					
e _{zh}	=	140,0	mm						
e _{zd}	=	140,0	mm						
I _{y,lok}	=	5,3037233E+08	mm ⁴	Moment setrvačnosti y					
I _{z,lok}	=	7,3229493E+07	mm ⁴	Moment setrvačnosti z					
i _y	=	182,7533	mm	Poloměr setrvačnosti y					
i _z	=	67,9075	mm	Poloměr setrvačnosti z					

Průřezové charakteristiky - číselný průřez - osy v těžišti			
A	=	14760	mm ² Plocha
A _v	=	4680	mm ³ Plocha stojny
S _y	=		mm ³ Statický moment k dolnímu líci
z _{c, eff}	=	0,0	mm Poloha těžiště průřezu od dolního líce
e _{yh}	=	211,0	mm Vzdálenost horních vláken od těžiště
e _{vd}	=	211,0	mm Vzdálenost dolních vláken od těžiště
e _{zh}	=	140,0	mm
e _{zd}	=	140,0	mm
I _{y,lok}	=	4,7908044E+08	mm ⁴ Moment setrvačnosti y
I _{z,lok}	=	6,5912160E+07	mm ⁴ Moment setrvačnosti z
i _y	=	180,1611	mm Poloměr setrvačnosti y
i _z	=	66,8251	mm Poloměr setrvačnosti z

6.4.2. D2 – maximální tlačenná diagonála

6.4.2.1. Vnitřní síly

Vnitřní síly - charakteristické hodnoty

		γ_F	Lok ϕ_3	α	N [kN]	Vy [kN]	Vz [kN]	Mz [kNm]	My [kNm]
Stálé zatížení	G _{k1}	1,35			-260,3	25,8	1,2	1,97	1,32
Ostatní stálé zatížení	G _{k2}	1,35			-546,2	10,8	3,6	7,03	14,03
Vlak LM71	Q ₇₁	1,45	1,21	1,10	-723,2	4,3	9,4	10,71	33,65
Vlak LM71,min	Q _{71,min}	1,45	1,21	1,10	0,00	-71,0	-2,7	-4,75	-8,40
Nazatížený vlak	Q _{nez}	1,00			0,0	0,0	0,0	0,00	0,00
Rozjezdové a brzděné síly	Q _{lak}	1,45		1,10	-64,2	13,9	0,8	10,42	2,88
Odstředivé síly	Q _{tk}	1,45		1,10	-49,7	0,5	1,1	0,50	4,45
Boční rázy	Q _{sk}	1,45		1,10	-10,9	0,2	0,2	0,38	1,24
Vítr na konstrukci	Q _{w,NK}	1,50			-13,3	1,2	3,8	1,10	17,60
Vítr na pás pohyblivého	Q _{w,vlak}	1,50			-39,6	2,8	0,5	0,69	15,30
Teplota	Q _T	1,50			-32,6	30,3	0,1	7,25	2,40
Revizní chodník	Q _{ch}	1,50			-57,5	6,1	0,3	0,82	0,32

Vnitřní síly- návrhové hodnoty

		N [kN]	Vy [kN]	Vz [kN]	Mz [kNm]	My [kNm]
Stálé zatížení	G _{k1}	-351,3	34,8	1,7	2,7	1,8
Ostatní stálé zatížení	G _{k2}	-737,4	14,6	4,9	9,5	18,9
Vlak LM71	Q ₇₁	-1398,5	8,3	18,2	20,7	135,1
Vlak LM71,min	Q _{71,min}	0,0	-137,4	-5,3	-9,2	-16,2
Nazatížený vlak	Q _{nez}	0,0	0,0	0,0	0,0	0,0
Rozjezdové a brzděné síly	Q _{lak}	-102,3	22,1	1,2	16,6	4,6
Odstředivé síly	Q _{tk}	-79,3	0,8	1,8	0,8	7,1
Boční rázy	Q _{sk}	-17,3	0,3	0,4	0,6	2,0
Vítr na konstrukci	Q _{w,NK}	-20,0	1,8	5,7	1,7	26,4
Vítr na pás pohyblivého	Q _{w,vlak}	-59,4	4,2	0,8	1,0	23,0
Teplota	Q _T	-48,9	45,4	0,1	10,9	3,6
Revizní chodník	Q _{ch}	-86,3	9,2	0,4	1,2	0,5
Sestavy zatížení:						
gr11 (LM71 + SW/0)	Q _{gr11}	-1549,1	30,9	20,5	38,0	144,2
gr12 (LM71 + SW/0)	Q _{gr12}	-1546,3	20,4	21,0	30,4	146,4
gr13 (brždění/rozjezd)	Q _{gr13}	-1549,1	30,9	20,5	38,0	144,2
gr14 (odstředivé/boční ráz)	Q _{gr14}	-1546,3	20,4	21,0	30,4	146,4
gr15 (nezatížený vlak)	Q _{gr15}	-96,7	1,0	2,2	1,4	9,1

komb. č.	N [kN]	Vy [kN]	Vz [kN]	Mz [kNm]	My [kNm]
1	-2827,6	116,9	34,3	57,6	219,0

Únava - charakteristické hodnoty

		γ_F	Lok ϕ_2	Glo ϕ_2	α	N [kN]	Vz [kN]	Mz [kNm]	My [kNm]
Vlak LM71	Q ₇₁	1,00	1,00	1,00	1,10	-723,2	9,4	10,7	33,7
Vlak LM71,min	Q _{71,min}	1,00	1,00	1,00	1,10	0,00	-2,7	-4,8	-8,4

Únava - návrhové hodnoty

		N [kN]	Vz [kN]	Mz [kNm]	My [kNm]
Vlak LM71	Q ₇₁	-795,5	10,3	11,8	37,0
Vlak LM71,min	Q _{71,min}	0,00	-3,0	-5,2	-9,2

6.4.2.2. Mezní stav únosnosti

Vybočení z roviny nosníku - kolmo k ose y

$$A = 21960 \text{ mm}^2$$

$$I_y = 7,80E+08 \text{ mm}^4$$

$$i_y = 188,52 \text{ mm}$$

$$L_{cr,y} = 6460 \text{ mm}$$

$$\lambda_y = 34,27$$

$$\lambda_1 = 76,06$$

$$\lambda'_y = 0,45$$

$$\alpha = 0,49$$

$$\phi = 0,66$$

$$\chi_y = 0,87$$

Vybočení v rovině nosníku - kolmo k ose z

$$A = 21960 \text{ mm}^2$$

$$I_z = 1,50E+08 \text{ mm}^4$$

$$i_z = 82,60 \text{ mm}$$

$$L_{cr,z} = 3230 \text{ mm}$$

$$\lambda_z = 39,10$$

$$\lambda_1 = 76,06$$

$$\lambda'_z = 0,51$$

$$\alpha = 0,49$$

$$\phi = 0,71$$

$$\chi_z = 0,835$$

TLAK S OHYBEM - PRUŽNÝ POSUDEK

$$N_{Ed} = -2827,6 \text{ kN}$$

$$\begin{aligned} M_{y,Ed} &= \boxed{219,0} \text{ kN.m} \\ M_{z,Ed} &= \boxed{57,6} \text{ kN.m} \end{aligned}$$

$$\begin{aligned} N_{Rk} &= \boxed{5751,41} \text{ kN} \\ M_{y,Rk}^h &= \boxed{1224,0} \text{ kN.m} \\ M_{z,Rk}^h &= \boxed{313,3} \text{ kN.m} \end{aligned}$$

$$\begin{aligned} M_{y,Rk}^d &= \boxed{1224,0} \text{ kN.m} \\ M_{z,Rk}^d &= \boxed{313,3} \text{ kN.m} \end{aligned}$$

$$\begin{aligned} \chi_y &= \boxed{0,87} \\ \chi_z &= \boxed{0,84} \\ \chi_{LT} &= \boxed{0,46} \end{aligned}$$

$$\begin{aligned} k_{yy} &= \boxed{1,0} \\ k_{yz} &= \boxed{1,0} \\ k_{zy} &= \boxed{1,0} \\ k_{zz} &= \boxed{1,0} \\ \gamma_{M1} &= \boxed{1,10} \end{aligned}$$

HORNÍ VLÁKNA

$$\frac{N_{Ed}}{\chi_y N_{Rk}} + k_{yy} \frac{M_{y,Ed}}{\chi_{LT} M_{y,Rk}} + k_{yz} \frac{M_{z,Ed}}{M_{z,Rk}} \leq 1,0$$

$$\frac{-2827623,40}{4550178,91} + 1 \frac{219027533,76}{511835698,77} + 1 \frac{57589026,69}{284794515,70} \leq 1,0$$

$$\begin{aligned} -0,62 &+ -0,43 &+ & 0,20 &\leq & 1,0 \\ &&& \boxed{0,85} &< & 1,0 \end{aligned} \rightarrow \text{VYHOVUJE}$$

$$\frac{N_{Ed}}{\chi_z N_{Rk}} + k_{zy} \frac{M_{y,Ed}}{\chi_{LT} M_{y,Rk}} + k_{zz} \frac{M_{z,Ed}}{M_{z,Rk}} \leq 1,0$$

$$\frac{2827623,40}{4366142,76} + 1 \frac{219027533,76}{511835698,77} + 1 \frac{57589026,69}{284794515,70} \leq 1,0$$

$$\begin{aligned} -0,65 &+ -0,43 &+ & 0,20 &\leq & 1,0 \\ &&& \boxed{0,87} &< & 1,0 \end{aligned} \rightarrow \text{VYHOVUJE}$$

DOLNÍ VLÁKNA

$$\frac{N_{Ed}}{\chi_y N_{Rk}} + k_{yy} \frac{M_{y,Ed}}{\chi_{LT} M_{y,Rk}} + k_{yz} \frac{M_{z,Ed}}{M_{z,Rk}} \leq 1,0$$

$$\frac{-2827623,40}{4550178,91} + 1,0 \frac{219027533,76}{511835698,77} + 1,0 \frac{-57589026,69}{284794515,70} \leq 1,0$$

$$-0,62 + 0,43 + -0,20 \leq 1,0$$

$$0,40 < 1,0 \rightarrow \text{VYHOVUJE}$$

$$\frac{N_{Ed}}{\chi_z N_{Rk}} + k_{zy} \frac{M_{y,Ed}}{\chi_{LT} M_{y,Rk}} + k_{zz} \frac{M_{z,Ed}}{M_{z,Rk}} \leq 1,0$$

$$\frac{-2827623,40}{4366142,76} + 1,0 \frac{219027533,76}{511835698,77} + 1,0 \frac{-57589026,69}{284794515,70} \leq 1,0$$

$$-0,65 + 0,43 + -0,20 \leq 1,0$$

$$0,42 < 1,0 \rightarrow \text{VYHOVUJE}$$

6.4.2.3. Mezní stav únavy

Posuzované detaily :

Diagonála D2

Detail A	Oboustranné svary plechů nebo pásů	kat. 80
Detail B,C	Konec průběžných svarů u překlenovacích otvorů	kat. 71
Detail D	Oboustranné svary plechů nebo pásů	kat. 80

$$\lambda = \lambda_1 * \lambda_2 * \lambda_3 * \lambda_4$$

součinitel ekvivalentního poškození

λ_1	=	0,66	0,66	vliv rozpětí, zahrnuje účinek poškození od dopravy - standardní doprava EC
λ_2	=	0,72	0,72	vliv objemu dopravy < 1,825-7,3e6 t/rok
λ_3	=	1,00	1,00	součinitel návrhové doby života 100 let (50 let = 0,87)
λ_4	=	1,00	1,00	vliv zatížení konstrukčního prvku více než 1 kolejí
$\lambda_{pole,max}$	=	1,40		maximální hodnota (L<30 m)
λ_{pole}	=	0,48	0,48	< $\lambda_{pole,max}$ => $\lambda = 0,48$
ϕ_2	=	1,14	1,14	
γ_{Ff}	=	1,00		součinitel zatížení na únavu
γ_{Mf}	=	1,35		součinitel materiálu

$$\Delta\sigma_{E,2} = \lambda * \phi_2 * \Delta\sigma_{71}$$

Číslo detailu	A	B	C	D
---------------	---	---	---	---

		N	My	Mz	N	My	Mz	N	My	Mz	N	My	Mz
rozpětí	L =	21,88	21,88	21,88	21,88	21,88	21,88	21,88	21,88	21,88	21,88	21,88	21,88
náhradní délka	L _φ =	21,88	21,88	21,88	21,88	21,88	21,88	21,88	21,88	21,88	21,88	21,88	21,88
vliv rozpětí	λ ₁ =	0,66	0,66	0,66	0,66	0,66	0,66	0,66	0,66	0,66	0,66	0,66	0,66
vliv objemu dopravy	λ ₂ =	0,72	0,72	0,72	0,72	0,72	0,72	0,72	0,72	0,72	0,72	0,72	0,72
souč. návrh. doby života	λ ₃ =	1,00	1,00	1,00	1,00	1,00	1,00	1,00	1,00	1,00	1,00	1,00	1,00
vliv počtu kolejí	λ ₄ =	1,00	1,00	1,00	1,00	1,00	1,00	1,00	1,00	1,00	1,00	1,00	1,00
souč. ekvival. poškození	λ _{pole'} =	0,48	0,48	0,48	0,48	0,48	0,48	0,48	0,48	0,48	0,48	0,48	0,48
souč. ekvival. poškození	λ =	0,48	0,48	0,48	0,48	0,48	0,48	0,48	0,48	0,48	0,48	0,48	0,48
referenční rozkmit napětí	Δσ ₇₁	-36,2	-1,8	66,4	36,2	-1,6	50,9	36,2	4,2	50,9	36,2	4,7	50,9
dyn. souč. ekv. zatížení	φ ₂	1,14	1,14	1,14	1,14	1,14	1,14	1,14	1,14	1,14	1,14	1,14	1,14
ekvival. rozkmit napětí	Δσ _{E,2,i}	-19,7	-1,0	36,0	19,7	-0,9	27,6	19,7	2,3	27,6	19,7	2,5	27,6
ekvival. rozkmit napětí	Δσ _{E,2}	56,7			48,2			49,6			49,8		
tloušťka materiálu	t	-	-	-	-	-	-	-	-	-	-	-	-
vliv tloušťky materiálu	φ _t	-	-	-	-	-	-	-	-	-	-	-	-
kategorie detailu	Δσ _C	80			71			71			80		
γ _{Ft} * Δσ _{E,2} =		56,7			48,2			49,6			49,8		
φ _t Δσ _C / γ _{Mt} =		59,3			52,6			52,6			59,3		
		VYHOVUJE			VYHOVUJE			VYHOVUJE			VYHOVUJE		
Využití		0,96			0,92			0,94			0,84		

6.4.2.4. Zatížitelnost

$$\begin{aligned}
 N_{Ed} &= -2827,6 & \text{kN} & & N_{Rd} &= 5751,4 & \text{kN} \\
 M_{y,Ed} &= 219,0 & \text{kN.m} & & M_{y,Rd} &= 1224,0 & \text{kN.m} \\
 M_{z,Ed} &= 57,6 & \text{kN.m} & & M_{z,Rd} &= 313,3 & \text{kN.m}
 \end{aligned}$$

$$\begin{aligned}
 N_{rs,Ed} &= -1429,1 & \text{kN} & & N_{LM71,Ed} &= -1398,5 & \text{kN} \\
 M_{y,rs,Ed} &= 84,0 & \text{kN.m} & & M_{y,LM71,Ed} &= 135,1 & \text{kN.m} \\
 M_{z,rs,Ed} &= 36,9 & \text{kN.m} & & M_{z,LM71,Ed} &= 20,7 & \text{kN.m}
 \end{aligned}$$

$$\eta_{1,rs} = \frac{N_{rs,Ed}}{N_{Rd}} = \frac{M_{y,Ed}}{M_{y,Rd}} + \frac{M_{z,Ed}}{M_{z,Rd}}$$

$$\eta_{1,rs} = \frac{1429,14}{5751,41} + \frac{83,95}{1223,95} + \frac{36,88}{313,27}$$

$$\eta_{1,rs} = 0,25 + 0,07 + 0,12 = 0,43$$

$$\eta_{1,LM71} = N_{LM71,Ed} + M_{y,LM71,Ed} + M_{z,LM71,Ed}$$

N_{Rd}	$M_{y,Rd}$	$M_{z,Rd}$
----------	------------	------------

$$\eta_{1,LM71} = \frac{1398,48}{5751,41} + \frac{135,07}{1223,95} + \frac{20,71}{313,27}$$

$$\eta_{1,LM71} = 0,24 + 0,11 + 0,07 = 0,42$$

$$Z_{LM71} = \frac{1 - \eta_{1,rs}}{\eta_{1,LM71}} = \frac{0,57}{0,42} = 1,35$$

6.4.3. D3 – maximální tažená diagonála

6.4.3.1. Vnitřní síly

Vnitřní síly - charakteristické hodnoty

		γ_F	Lok ϕ_3	α	N [kN]	Vy [kN]	Vz [kN]	Mz [kNm]	My [kNm]
Stálé zatížení	G_{k1}	1,35			170,6	2,1	-0,2	-1,43	-0,72
Ostatní stálé zatížení	G_{k2}	1,35			405,2	0,9	1,8	-0,58	-8,39
Vlak LM71	Q_{71}	1,45	1,21	1,10	527,0	1,2	2,6	2,16	4,66
Vlak LM71,min	$Q_{71,min}$	1,45	1,21	1,10	0,00	-1,1	-8,6	-2,56	-23,10
Nazatížený vlak	Q_{nez}	1,00			0,0	0,0	0,0	0,00	0,00
Rozjezdové a brzdné síly	Q_{lak}	1,45		1,10	47,8	0,8	0,3	-1,80	-1,90
Odstředivé síly	Q_{tk}	1,45		1,10	36,8	0,1	-0,4	-0,30	-2,15
Boční rázy	Q_{sk}	1,45		1,10	8,2	0,1	0,2	-0,17	-0,32
Vítr na konstrukci	$Q_{w,NK}$	1,50			9,9	0,0	4,8	-0,20	-10,20
Vítr na pás pohyblivého	$Q_{w,vlak}$	1,50			29,4	0,1	-0,4	-0,20	-1,70
Teplota	Q_T	1,50			11,5	3,5	0,2	-4,80	-0,63
Revizní chodník	Q_{ch}	1,50			42,7	0,0	0,0	-0,20	-0,10

Vnitřní síly- návrhové hodnoty

		N [kN]	Vy [kN]	Vz [kN]	Mz [kNm]	My [kNm]
Stálé zatížení	G_{k1}	230,4	2,9	-0,2	-1,9	-1,0
Ostatní stálé zatížení	G_{k2}	547,0	1,2	2,4	-0,8	-11,3
Vlak LM71	Q_{71}	1019,1	2,3	5,1	4,2	-141,0
Vlak LM71,min	$Q_{71,min}$	0,0	-2,1	-16,6	-5,0	-44,7
Nazatížený vlak	Q_{nez}	0,0	0,0	0,0	0,0	0,0
Rozjezdové a brzdné síly	Q_{lak}	76,2	1,3	0,4	-2,9	-3,0
Odstředivé síly	Q_{tk}	58,7	0,2	-0,7	-0,5	-3,4
Boční rázy	Q_{sk}	13,1	0,2	0,2	-0,3	-0,5
Vítr na konstrukci	$Q_{w,NK}$	14,9	0,0	7,2	-0,3	-15,3
Vítr na pás pohyblivého	$Q_{w,vlak}$	44,1	0,1	-0,5	-0,3	-2,6
Teplota	Q_T	17,2	5,3	0,2	-7,2	-0,9

Revizní chodník	Q _{ch}	64,1	0,0	0,0	-0,3	-0,2
Sestavy zatížení:						
gr11 (LM71 + SW/0)	Q _{gr11}	1131,3	3,8	5,3	0,9	-146,0
gr12 (LM71 + SW/0)	Q _{gr12}	1129,1	3,3	4,8	2,0	-146,4
gr13 (brždění/rozjezd)	Q _{gr13}	1131,3	3,8	5,3	0,9	-146,0
gr14 (odstředivě/boční ráz)	Q _{gr14}	1129,1	3,3	4,8	2,0	-146,4
gr15 (nezatížený vlak)	Q _{gr15}	71,8	0,4	-0,5	-0,7	-3,9

komb. č.	N [kN]	V _y [kN]	V _z [kN]	M _z [kNm]	M _y [kNm]
1	2038,2	11,1	14,1	-6,6	177,5

Únava - charakteristické hodnoty

		γ _F	Lok φ ₂	Glo φ ₂	α	N [kN]	V _z [kN]	M _z [kNm]	M _y [kNm]
Vlak LM71	Q ₇₁	1,00	1,00	1,00	1,10	527,0	2,6	2,2	4,7
Vlak LM71,min	Q _{71,min}	1,00	1,00	1,00	1,00	0,00	-8,6	-2,6	-23,1

Únava - návrhové hodnoty

		N [kN]	V _z [kN]	M _z [kNm]	M _y [kNm]
Vlak LM71	Q ₇₁	579,7	2,9	2,4	5,1
Vlak LM71,min	Q _{71,min}	0,00	-8,6	-2,6	-23,1

6.4.3.2. Mezní stav únosnosti

TAH S OHYBEM - PRUŽNÝ POSUDEK

$$\begin{aligned} N_{Ed} &= 2038,2 \text{ kN} \\ M_{y,Ed} &= -177,5 \text{ kN.m} \\ M_{z,Ed} &= -6,6 \text{ kN.m} \end{aligned}$$

$$\begin{aligned} N_{Rk} &= 5664,27 \text{ kN} \\ M_{y,Rk}^h &= 920,9 \text{ kN.m} \\ M_{z,Rk}^h &= 188,4 \text{ kN.m} \end{aligned}$$

$$\begin{aligned} M_{y,Rk}^d &= 920,9 \text{ kN.m} \\ M_{z,Rk}^d &= 188,4 \text{ kN.m} \end{aligned}$$

$$\begin{aligned} \chi_y &= 1,00 \\ \chi_z &= 1,00 \\ \chi_{LT} &= 0,84 \end{aligned}$$

$$\begin{aligned} k_{yy} &= 1,0 \\ k_{yz} &= 1,0 \\ k_{zy} &= 1,0 \\ k_{zz} &= 1,0 \end{aligned}$$

$$\gamma_{M1} = 1,10$$

HORNÍ VLÁKNA

$$\frac{N_{Ed}}{\chi_y N_{Rk}} + k_{yy} \frac{M_{y,Ed}}{\chi_{LT} M_{y,Rk}} + k_{yz} \frac{M_{z,Ed}}{M_{z,Rk}} \leq 1,0$$

$$\frac{2038182,26}{5149338,84} + 1 \frac{177499161,89}{703246570,40} + 1 \frac{-6645738,99}{171243895,87} \leq 1,0$$

$$0,40 + 0,25 + -0,04 \leq 1,0$$

$$0,61 < 1,0 \rightarrow \text{VYHOVUJE}$$

$$\frac{N_{Ed}}{\chi_z N_{Rk}} + k_{zy} \frac{M_{y,Ed}}{\chi_{LT} M_{y,Rk}} + k_{zz} \frac{M_{z,Ed}}{M_{z,Rk}} \leq 1,0$$

$$\frac{2038182,26}{5149338,84} + 1 \frac{177499161,89}{703246570,40} + 1 \frac{-6645738,99}{171243895,87} \leq 1,0$$

$$0,40 + 0,25 + -0,04 \leq 1,0$$

$$0,61 < 1,0 \rightarrow \text{VYHOVUJE}$$

DOLNÍ VLÁKNA

$$\frac{N_{Ed}}{\chi_y N_{Rk}} + k_{yy} \frac{M_{y,Ed}}{\chi_{LT} M_{y,Rk}} + k_{yz} \frac{M_{z,Ed}}{M_{z,Rk}} \leq 1,0$$

$$\frac{2038182,26}{5149338,84} + 1,0 \frac{177499161,89}{703246570,40} + 1,0 \frac{6645738,99}{171243895,87} \leq 1,0$$

$$0,40 + -0,25 + 0,04 \leq 1,0$$

$$0,18 < 1,0 \rightarrow \text{VYHOVUJE}$$

$$\frac{N_{Ed}}{\chi_z N_{Rk}} + k_{zy} \frac{M_{y,Ed}}{\chi_{LT} M_{y,Rk}} + k_{zz} \frac{M_{z,Ed}}{M_{z,Rk}} \leq 1,0$$

$$\frac{2038182,26}{5149338,84} + 1,0 \frac{177499161,89}{703246570,40} + 1,0 \frac{6645738,99}{171243895,87} \leq 1,0$$

$$0,40 + -0,25 + 0,04 \leq 1,0$$

$$0,18 < 1,0 \rightarrow \text{VYHOVUJE}$$

6.4.3.3. Mezní stav únavy

Diagonála D3

Detail A	Oboustranné svary plechů nebo pásů	kat. 80
Detail B,C	Konec průběžných svarů u překlenovacích otvorů	kat. 71
Detail D	Oboustranné svary plechů nebo pásů	kat. 80

Číslo detailu		A			B			C			D		
		N	My	Mz	N	My	Mz	N	My	Mz	N	My	Mz
rozpětí	L =	21,88	21,88	21,88	21,88	21,88	21,88	21,88	21,88	21,88	21,88	21,88	21,88
náhradní délka	L _φ =	21,88	21,88	21,88	21,88	21,88	21,88	21,88	21,88	21,88	21,88	21,88	21,88
vliv rozpětí	λ ₁ =	0,66	0,66	0,66	0,66	0,66	0,66	0,66	0,66	0,66	0,66	0,66	0,66
vliv objemu dopravy	λ ₂ =	0,72	0,72	0,72	0,72	0,72	0,72	0,72	0,72	0,72	0,72	0,72	0,72
souč. návrh. doby života	λ ₃ =	1,00	1,00	1,00	1,00	1,00	1,00	1,00	1,00	1,00	1,00	1,00	1,00
vliv počtu kolejí	λ ₄ =	1,00	1,00	1,00	1,00	1,00	1,00	1,00	1,00	1,00	1,00	1,00	1,00
souč. ekvival. poškození	λ _{pole} =	0,48	0,48	0,48	0,48	0,48	0,48	0,48	0,48	0,48	0,48	0,48	0,48
souč. ekvival. poškození	λ =	0,48	0,48	0,48	0,48	0,48	0,48	0,48	0,48	0,48	0,48	0,48	0,48
referenční rozkmit napětí	Δσ ₇₁	32,1	0,1	67,4	-32,1	0,1	51,7	-32,1	1,7	51,7	-32,1	1,8	51,7
dyn. souč. ekv. zatížení	φ ₂	1,14	1,14	1,14	1,14	1,14	1,14	1,14	1,14	1,14	1,14	1,14	1,14
ekvival. rozkmit napětí	Δσ _{E,2,i}	17,4	0,0	36,5	-17,4	0,0	28,0	-17,4	0,9	28,0	-17,4	1,0	28,0
ekvival. rozkmit napětí	Δσ _{E,2}	54,0			45,5			46,4			46,5		
tloušťka materiálu	t	-	-	-	-	-	-	-	-	-	-	-	-
vliv tloušťky materiálu	φ _t	-	-	-	-	-	-	-	-	-	-	-	-
kategorie detailu	Δσ _C	80			71			71			80		
γ _{Fi} * Δσ _{E,2} =		54,0			45,5			46,4			46,5		
φ _t Δσ _C / γ _{Mi} =		59,3			52,6			52,6			59,3		
		VYHOVUJE			VYHOVUJE			VYHOVUJE			VYHOVUJE		
Využití		0,91			0,87			0,88			0,78		

6.4.3.4. Zatížitelnost

N _{Ed} =	2038,2	kN	N _{Rd} =	5664,3	kN
M _{y,Ed} =	-177,5	kN.m	M _{y,Rd} =	920,9	kN.m
M _{z,Ed} =	-6,6	kN.m	M _{z,Rd} =	188,4	kN.m
N _{rs,Ed} =	1019,0	kN	N _{LM71,Ed} =	1019,1	kN
M _{y,rs,Ed} =	-36,5	kN.m	M _{y,LM71,Ed} =	-141,0	kN.m

$$M_{z,rs,Ed} = \boxed{-10,8} \text{ kN.m} \quad M_{z,LM71,Ed} = \boxed{4,2} \text{ kN.m}$$

$$\eta_{1,rs} = \frac{N_{rs,Ed}}{N_{Rd}} = \frac{M_{y,Ed}}{M_{y,Rd}} + \frac{M_{z,Ed}}{M_{z,Rd}}$$

$$\eta_{1,rs} = \frac{1019,03}{5664,27} + \frac{36,51}{920,92} + \frac{10,82}{188,37}$$

$$\eta_{1,rs} = 0,18 + 0,04 + 0,06 = \boxed{0,28}$$

$$\eta_{1,LM71} = \frac{N_{LM71,Ed}}{N_{Rd}} + \frac{M_{y,LM71,Ed}}{M_{y,Rd}} + \frac{M_{z,LM71,Ed}}{M_{z,Rd}}$$

$$\eta_{1,LM71} = \frac{1019,15}{5664,27} + \frac{140,99}{920,92} + \frac{4,18}{188,37}$$

$$\eta_{1,LM71} = 0,18 + 0,15 + 0,02 = \boxed{0,36}$$

$$Z_{LM71} = \frac{1 - \eta_{1,rs}}{\eta_{1,LM71}} = \frac{0,72}{0,36} = \boxed{2,04}$$

ÚNAVA

$$Z_{LM71} = \frac{\Delta\sigma_c / \gamma_f}{\Delta\sigma_{E2} \cdot \gamma_{Ff}} = \frac{59,26}{54,00} = \boxed{1,10}$$

6.4.4. D4

6.4.4.1. Vnitřní síly

Vnitřní síly - charakteristické hodnoty

		γ_F	Lok ϕ_3	α	N [kN]	Vy [kN]	Vz [kN]	Mz [kNm]	My [kNm]
Stálé zatížení	G _{k1}	1,35			-72,0	1,1	0,0	1,18	0,19
Ostatní stálé zatížení	G _{k2}	1,35			-123,7	-1,6	0,8	4,02	-0,85
Vlak LM71	Q ₇₁	1,45	1,21	1,10	-236,0	-2,6	-3,8	6,30	-19,89
Vlak LM71,min	Q _{71,min}	1,45	1,21	1,10	63,73	0,2	6,4	-1,46	15,90
Nazatížený vlak	Q _{nez}	1,00			0,0	0,0	0,0	0,00	0,00
Rozjezdové a brzdné síly	Q _{vlak}	1,45		1,10	-36,4	-0,3	0,0	0,75	-0,20
Odstředivé síly	Q _{tk}	1,45		1,10	-22,0	-0,2	0,2	0,43	-1,07
Boční rázy	Q _{sk}	1,45		1,10	-6,5	0,1	0,1	0,17	-0,46
Vítr na konstrukci	Q _{w,NK}	1,50			-7,9	-0,1	4,6	0,15	-12,60
Vítr na pás pohyblivého	Q _{w,vlak}	1,50			-13,3	-0,2	0,1	0,37	-0,50

Teplota	Q _T	1,50			-16,7	-1,4	0,2	1,92	-0,69
Revizní chodník	Q _{ch}	1,50			-13,2	-0,2	0,0	0,42	-0,12

Vnitřní síly- návrhové hodnoty

		N [kN]	V _y [kN]	V _z [kN]	M _z [kNm]	M _y [kNm]
Stálé zatížení	G _{k1}	-97,2	1,5	0,0	1,6	0,3
Ostatní stálé zatížení	G _{k2}	-166,9	-2,1	1,1	5,4	-1,1
Vlak LM71	Q ₇₁	-456,4	-5,0	-7,3	12,2	-218,5
Vlak LM71,min	Q _{71,min}	123,2	0,3	12,3	-2,8	30,7
Nazatížený vlak	Q _{nez}	0,0	0,0	0,0	0,0	0,0
Rozjezdové a brzděné síly	Q _{lak}	-58,1	-0,4	0,0	1,2	-0,3
Odstředivé síly	Q _{tk}	-35,1	-0,3	0,2	0,7	-1,7
Boční rázy	Q _{sk}	-10,4	0,1	0,2	0,3	-0,7
Vítr na konstrukci	Q _{w,NK}	-11,9	-0,1	6,9	0,2	-18,9
Vítr na pás pohyblivého	Q _{w,vlak}	-20,0	-0,2	0,1	0,6	-0,8
Teplota	Q _T	-25,0	-2,0	0,3	2,9	-1,0
Revizní chodník	Q _{ch}	-19,8	-0,2	0,0	0,6	-0,2
Sestavy zatížení:						
gr11 (LM71 + SW/0)	Q _{gr11}	-537,2	-5,5	-7,1	13,9	-220,0
gr12 (LM71 + SW/0)	Q _{gr12}	-530,9	-5,3	-6,9	13,7	-221,1
gr13 (brždění/rozjezd)	Q _{gr13}	-537,2	-5,5	-7,1	13,9	-220,0
gr14 (odstředivé/boční ráz)	Q _{gr14}	-530,9	-5,3	-6,9	13,7	-221,1
gr15 (nezatížený vlak)	Q _{gr15}	-45,5	-0,2	0,4	1,0	-2,4

komb. č.	N [kN]	V _y [kN]	V _z [kN]	M _z [kNm]	M _y [kNm]
1	-868,1	-7,7	1,4	24,0	-242,1

Únava - charakteristické hodnoty

		γ _F	Lok φ ₂	Glo φ ₂	α	N [kN]	V _z [kN]	M _z [kNm]	M _y [kNm]
Vlak LM71	Q ₇₁	1,00	1,00	1,00	1,00	-236,0	-3,8	6,3	-19,9
Vlak LM71,min	Q _{71,min}	1,00	1,00	1,00	1,00	63,73	6,4	-1,5	15,9

Únava - návrhové hodnoty

		N [kN]	V _z [kN]	M _z [kNm]	M _y [kNm]
Vlak LM71	Q ₇₁	-236,0	-3,8	6,3	-19,9
Vlak LM71,min	Q _{71,min}	63,73	6,4	-1,5	15,9

6.4.4.2. Mezní stav únosnosti

TLAK S OHYBEM - PRUŽNÝ POSUDEK

$$\begin{aligned} N_{Ed} &= \boxed{-868,1} & \text{kN} \\ M_{y,Ed} &= \boxed{-242,1} & \text{kN.m} \\ M_{z,Ed} &= \boxed{24,0} & \text{kN.m} \end{aligned}$$

$$\begin{aligned} N_{Rk} &= \boxed{5119,10} & \text{kN} \\ M_{y,Rk}^h &= \boxed{892,1} & \text{kN.m} \\ M_{z,Rk}^h &= \boxed{185,8} & \text{kN.m} \end{aligned}$$

$$\begin{aligned} M_{y,Rk}^d &= \boxed{892,1} & \text{kN.m} \\ M_{z,Rk}^d &= \boxed{185,8} & \text{kN.m} \end{aligned}$$

$$\begin{aligned} \chi_y &= \boxed{0,84} \\ \chi_z &= \boxed{0,73} \\ \chi_{LT} &= \boxed{0,77} \end{aligned}$$

$$\begin{aligned} k_{yy} &= \boxed{1,0} \\ k_{yz} &= \boxed{1,0} \\ k_{zy} &= \boxed{1,0} \\ k_{zz} &= \boxed{1,0} \\ \gamma_{M1} &= \boxed{1,10} \end{aligned}$$

HORNÍ VLÁKNA

$$\frac{N_{Ed}}{\chi_y N_{Rk}} + k_{yy} \frac{M_{y,Ed}}{\chi_{LT} M_{y,Rk}} + k_{yz} \frac{M_{z,Ed}}{M_{z,Rk}} \leq 1,0$$

$$\frac{N_{Ed}}{\gamma_{M1} \chi_y N_{Rk}} + k_{yy} \frac{M_{y,Ed}}{\gamma_{M1} \chi_{LT} M_{y,Rk}} + k_{yz} \frac{M_{z,Ed}}{\gamma_{M1} M_{z,Rk}} \leq 1,0$$

$$\frac{868099,62}{3886672,76} + 1 \frac{242116811,00}{624438698,06} + 1 \frac{23985466,29}{168884365,15} \leq 1,0$$

$$0,22 + 0,39 + 0,14 \leq 1,0$$

$$0,75 < 1,0 \rightarrow \text{VYHOVUJE}$$

$$\frac{N_{Ed}}{\chi_z N_{Rk}} + k_{zy} \frac{M_{y,Ed}}{\chi_{LT} M_{y,Rk}} + k_{zz} \frac{M_{z,Ed}}{M_{z,Rk}} \leq 1,0$$

$$\frac{N_{Ed}}{\gamma_{M1} \chi_z N_{Rk}} + k_{zy} \frac{M_{y,Ed}}{\gamma_{M1} \chi_{LT} M_{y,Rk}} + k_{zz} \frac{M_{z,Ed}}{\gamma_{M1} M_{z,Rk}} \leq 1,0$$

$$\frac{868099,62}{3378856,75} + 1 \frac{242116811,00}{624438698,06} + 1 \frac{23985466,29}{168884365,15} \leq 1,0$$

$$0,26 + 0,39 + 0,14 \leq 1,0$$

$$0,79 < 1,0 \rightarrow \text{VYHOVUJE}$$

DOLNÍ VLÁKNA

$$\frac{N_{Ed}}{\chi_y N_{Rk}} + k_{yy} \frac{M_{y,Ed}}{\chi_{LT} M_{y,Rk}} + k_{yz} \frac{M_{z,Ed}}{M_{z,Rk}} \leq 1,0$$

$$\frac{868099,62}{3886672,76} + 1,0 \frac{242116811,00}{624438698,06} + 1,0 \frac{-23985466,29}{168884365,15} \leq 1,0$$

$$0,22 + -0,39 + -0,14 \leq 1,0$$

$$0,31 < 1,0 \rightarrow \text{VYHOVUJE}$$

$$\frac{N_{Ed}}{\chi_z N_{Rk}} + k_{zy} \frac{M_{y,Ed}}{\chi_{LT} M_{y,Rk}} + k_{zz} \frac{M_{z,Ed}}{M_{z,Rk}} \leq 1,0$$

$$\frac{868099,62}{3378856,75} + 1,0 \frac{242116811,00}{624438698,06} + 1,0 \frac{-23985466,29}{168884365,15} \leq 1,0$$

$$0,26 + -0,39 + -0,14 \leq 1,0$$

$$0,27 < 1,0 \rightarrow \text{VYHOVUJE}$$

6.4.4.3. Mezní stav únavy

Diagonála D4

Detail A	Oboustranné svary plechů nebo pásů	kat. 80
Detail B,C	Konec průběžných svarů u překlenovacích otvorů	kat. 71
Detail D	Oboustranné svary plechů nebo pásů	kat. 80

Číslo detailu		A			B			C			D		
		N	My	Mz	N	My	Mz	N	My	Mz	N	My	Mz
rozpětí	L =	21,88	21,88	21,88	21,88	21,88	21,88	21,88	21,88	21,88	21,88	21,88	21,88
náhradní délka	L _φ =	21,88	21,88	21,88	21,88	21,88	21,88	21,88	21,88	21,88	21,88	21,88	21,88
vliv rozpětí	λ ₁ =	0,66	0,66	0,66	0,66	0,66	0,66	0,66	0,66	0,66	0,66	0,66	0,66
vliv objemu dopravy	λ ₂ =	0,72	0,72	0,72	0,72	0,72	0,72	0,72	0,72	0,72	0,72	0,72	0,72
souč. návrh. doby života	λ ₃ =	1,00	1,00	1,00	1,00	1,00	1,00	1,00	1,00	1,00	1,00	1,00	1,00
vliv počtu kolejí	λ ₄ =	1,00	1,00	1,00	1,00	1,00	1,00	1,00	1,00	1,00	1,00	1,00	1,00
souč. ekvival. poškození	λ _{pole} =	0,48	0,48	0,48	0,48	0,48	0,48	0,48	0,48	0,48	0,48	0,48	0,48
souč. ekvival. poškození	λ =	0,48	0,48	0,48	0,48	0,48	0,48	0,48	0,48	0,48	0,48	0,48	0,48
referenční rozkmit napětí	Δσ ₇₁	-20,8	-1,9	-68,4	20,8	-1,7	-68,4	20,8	2,8	-68,4	20,8	3,1	-68,4
dyn. souč. ekv. zatížení	φ ₂	1,14	1,14	1,14	1,14	1,14	1,14	1,14	1,14	1,14	1,14	1,14	1,14

ekvival. rozkmit napětí	$\Delta\sigma_{E,2,i}$	-11,3	-1,0	-37,1	11,3	-0,9	-37,1	11,3	1,5	-37,1	11,3	1,7	-37,1
ekvival. rozkmit napětí	$\Delta\sigma_{E,2}$	49,4			49,3			49,9			50,1		
tloušťka materiálu	t	-	-	-	-	-	-	-	-	-	-	-	-
vliv tloušťky materiálu	φ_t	-	-	-	-	-	-	-	-	-	-	-	-
kategorie detailu	$\Delta\sigma_C$	80			71			71			80		
$\gamma_{Fi} * \Delta\sigma_{E,2} =$		49,4			49,3			49,9			50,1		
$\varphi_t \Delta\sigma_C / \gamma_{Mf} =$		59,3			52,6			52,6			59,3		
		VYHOVUJE			VYHOVUJE			VYHOVUJE			VYHOVUJE		
Využití		0,83			0,94			0,95			0,84		

6.4.4.4. Zatížitelnost

$$\begin{aligned} N_{Ed} &= -868,1 \text{ kN} & N_{Rd} &= 3378,9 \text{ kN} \\ M_{y,Ed} &= -242,1 \text{ kN.m} & M_{y,Rd} &= 892,1 \text{ kN.m} \\ M_{z,Ed} &= 24,0 \text{ kN.m} & M_{z,Rd} &= 185,8 \text{ kN.m} \end{aligned}$$

$$\begin{aligned} N_{rs,Ed} &= -411,7 \text{ kN} & N_{LM71,Ed} &= -456,4 \text{ kN} \\ M_{y,rs,Ed} &= -23,7 \text{ kN.m} & M_{y,LM71,Ed} &= -218,5 \text{ kN.m} \\ M_{z,rs,Ed} &= 11,8 \text{ kN.m} & M_{z,LM71,Ed} &= 12,2 \text{ kN.m} \end{aligned}$$

$$\eta_{1,rs} = \frac{N_{rs,Ed}}{N_{Rd}} = \frac{M_{y,Ed}}{M_{y,Rd}} + \frac{M_{z,Ed}}{M_{z,Rd}}$$

$$\eta_{1,rs} = \frac{411,71}{3378,86} + \frac{23,65}{892,06} + \frac{11,80}{185,77}$$

$$\eta_{1,rs} = 0,12 + 0,03 + 0,06 = 0,21$$

$$\eta_{1,LM71} = \frac{N_{LM71,Ed}}{N_{Rd}} + \frac{M_{y,LM71,Ed}}{M_{y,Rd}} + \frac{M_{z,LM71,Ed}}{M_{z,Rd}}$$

$$\eta_{1,LM71} = \frac{456,39}{3378,86} + \frac{218,46}{892,06} + \frac{12,18}{185,77}$$

$$\eta_{1,LM71} = 0,14 + 0,24 + 0,07 = 0,45$$

$$Z_{LM71} = \frac{1 - \eta_{1,rs}}{\eta_{1,LM71}} = \frac{0,79}{0,45} = 1,77$$

Rozhoduje únava.

6.4.5. D5

6.4.5.1. Vnitřní síly

Vnitřní síly - charakteristické hodnoty

		γ_F	Lok ϕ_3	α	N [kN]	Vy [kN]	Vz [kN]	Mz [kNm]	My [kNm]
Stálé zatížení	G _{k1}	1,35			79,9	1,8	-0,1	-1,00	-1,06
Ostatní stálé zatížení	G _{k2}	1,35			405,2	0,9	1,8	-0,58	-8,39
Vlak LM71	Q ₇₁	1,45	1,21	1,10	324,0	0,8	3,3	4,23	-19,10
Vlak LM71,min	Q _{71,min}	1,45	1,21	1,10	-31,80	-0,7	-5,2	-1,83	14,25
Nazatížený vlak	Q _{nez}	1,00			0,0	0,0	0,0	0,00	0,00
Rozjezdové a brzdné síly	Q _{lak}	1,45		1,10	22,5	0,1	0,1	-0,16	-0,21
Odstředivé síly	Q _{tk}	1,45		1,10	26,7	0,0	0,3	-0,02	1,64
Boční rázy	Q _{sk}	1,45		1,10	7,2	0,1	0,1	-0,14	-0,52
Vítr na konstrukci	Q _{w,NK}	1,50			8,6	0,0	-4,6	-0,01	-11,80
Vítr na pás pohyblivého	Q _{w,vlak}	1,50			17,6	0,0	0,2	-0,56	-1,20
Teplota	Q _T	1,50			8,6	-0,9	0,1	-1,21	-0,10
Revizní chodník	Q _{ch}	1,50			24,6	0,0	0,0	-0,07	-0,18

Vnitřní síly- návrhové hodnoty

		N [kN]	Vy [kN]	Vz [kN]	Mz [kNm]	My [kNm]
Stálé zatížení	G _{k1}	107,9	2,4	-0,1	-1,3	-1,4
Ostatní stálé zatížení	G _{k2}	547,0	1,2	2,4	-0,8	-11,3
Vlak LM71	Q ₇₁	626,6	1,6	6,4	8,2	-206,9
Vlak LM71,min	Q _{71,min}	-61,5	-1,3	-10,1	-3,5	27,6
Nazatížený vlak	Q _{nez}	0,0	0,0	0,0	0,0	0,0
Rozjezdové a brzdné síly	Q _{lak}	35,8	0,1	0,1	-0,3	-0,3
Odstředivé síly	Q _{tk}	42,6	0,0	0,5	0,0	2,6
Boční rázy	Q _{sk}	11,4	0,1	0,2	-0,2	-0,8
Vítr na konstrukci	Q _{w,NK}	12,9	0,0	-6,9	0,0	-17,7
Vítr na pás pohyblivého	Q _{w,vlak}	26,4	0,0	0,4	-0,8	-1,8
Teplota	Q _T	12,9	-1,4	0,1	-1,8	-0,2
Revizní chodník	Q _{ch}	36,9	0,0	0,0	-0,1	-0,3
Sestavy zatížení:						
gr11 (LM71 + SW/0)	Q _{gr11}	689,4	1,7	6,9	7,8	-206,4
gr12 (LM71 + SW/0)	Q _{gr12}	698,5	1,7	7,3	7,8	-205,3
gr13 (brždění/rozjezd)	Q _{gr13}	689,4	1,7	6,9	7,8	-206,4
gr14 (odstředivé/boční ráz)	Q _{gr14}	698,5	1,7	7,3	7,8	-205,3
gr15 (nezatížený vlak)	Q _{gr15}	54,0	0,0	0,8	-0,3	1,8

komb. č.	N [kN]	V _y [kN]	V _z [kN]	M _z [kNm]	M _y [kNm]
1	1432,2	4,5	2,9	3,6	238,5

Únava - charakteristické hodnoty

		γ _F	Lok φ ₂	Glo φ ₂	α	N [kN]	V _z [kN]	M _z [kNm]	M _y [kNm]
Vlak LM71	Q ₇₁	1,00	1,00	1,00	1,00	324,0	3,3	4,2	-19,1
Vlak LM71,min	Q _{71,min}	1,00	1,00	1,00	1,00	-31,80	-5,2	-1,8	14,3

Únava - návrhové hodnoty

		N [kN]	V _z [kN]	M _z [kNm]	M _y [kNm]
Vlak LM71	Q ₇₁	324,0	3,3	4,2	-19,1
Vlak LM71,min	Q _{71,min}	-31,80	-5,2	-1,8	14,3

6.4.5.2. Mezní stav únosnosti

TAH S OHYBEM - PRUŽNÝ POSUDEK

$$\begin{aligned} N_{Ed} &= 1432,2 \text{ kN} \\ M_{y,Ed} &= -238,5 \text{ kN.m} \\ M_{z,Ed} &= 3,6 \text{ kN.m} \end{aligned}$$

$$\begin{aligned} N_{Rk} &= 4980,55 \text{ kN} \\ M_{y,Rk}^h &= 859,1 \text{ kN.m} \\ M_{z,Rk}^h &= 180,5 \text{ kN.m} \end{aligned}$$

$$\begin{aligned} M_{y,Rk}^d &= 859,1 \text{ kN.m} \\ M_{z,Rk}^d &= 180,5 \text{ kN.m} \end{aligned}$$

$$\begin{aligned} \chi_y &= 1,00 \\ \chi_z &= 1,00 \\ \chi_{LT} &= 1,00 \end{aligned}$$

$$\begin{aligned} k_{yy} &= 1,0 \\ k_{yz} &= 1,0 \\ k_{zy} &= 1,0 \\ k_{zz} &= 1,0 \\ \gamma_{M1} &= 1,10 \end{aligned}$$

HORNÍ VLÁKNA

$$\frac{N_{Ed}}{\chi_y N_{Rk}} + k_{yy} \frac{M_{y,Ed}}{\chi_{LT} M_{y,Rk}} + k_{yz} \frac{M_{z,Ed}}{M_{z,Rk}} \leq 1,0$$

$$\frac{\gamma_{M1}}{\gamma_{M1}} + 1 \frac{\gamma_{M1}}{\gamma_{M1}} + 1 \frac{\gamma_{M1}}{\gamma_{M1}} \leq 1,0$$

$$\frac{1432199,77}{4527768,60} + 1 \frac{238497053,04}{780957981,25} + 1 \frac{3570343,65}{164053085,71} \leq 1,0$$

$$0,32 + 0,31 + 0,02 \leq 1,0$$

$$0,64 < 1,0 \rightarrow \text{VYHOVUJE}$$

DOLNÍ VLÁKNA

$$\frac{N_{Ed}}{\chi_y N_{Rk}} + k_{yy} \frac{M_{y,Ed}}{\chi_{LT} M_{y,Rk}} + k_{yz} \frac{M_{z,Ed}}{M_{z,Rk}} \leq 1,0$$

$$\frac{1432199,77}{4527768,60} + 1,0 \frac{238497053,04}{780957981,25} + 1,0 \frac{-3570343,65}{164053085,71} \leq 1,0$$

$$0,32 + -0,31 + -0,02 \leq 1,0$$

$$0,01 < 1,0 \rightarrow \text{VYHOVUJE}$$

6.4.5.3. Mezní stav únavy

Diagonála D5

Detail A	Oboustranné svary plechů nebo pásů	kat. 80
Detail B,C	Konec průběžných svarů u překlenovacích otvorů	kat. 71
Detail D	Oboustranné svary plechů nebo pásů	kat. 80

Číslo detailu		A			B			C			D		
		N	My	Mz	N	My	Mz	N	My	Mz	N	My	Mz
rozpětí	L =	21,88	21,88	21,88	21,88	21,88	21,88	21,88	21,88	21,88	21,88	21,88	21,88
náhradní délka	L _φ =	21,88	21,88	21,88	21,88	21,88	21,88	21,88	21,88	21,88	21,88	21,88	21,88
vliv rozpětí	λ ₁ =	0,66	0,66	0,66	0,66	0,66	0,66	0,66	0,66	0,66	0,66	0,66	0,66
vliv objemu dopravy	λ ₂ =	0,72	0,72	0,72	0,72	0,72	0,72	0,72	0,72	0,72	0,72	0,72	0,72
souč. návrh. doby života	λ ₃ =	1,00	1,00	1,00	1,00	1,00	1,00	1,00	1,00	1,00	1,00	1,00	1,00
vliv počtu kolejí	λ ₄ =	1,00	1,00	1,00	1,00	1,00	1,00	1,00	1,00	1,00	1,00	1,00	1,00
souč. ekvival. poškození	λ _{pole} =	0,48	0,48	0,48	0,48	0,48	0,48	0,48	0,48	0,48	0,48	0,48	0,48
souč. ekvival. poškození	λ =	0,48	0,48	0,48	0,48	0,48	0,48	0,48	0,48	0,48	0,48	0,48	0,48
referenční rozkmit napětí	Δσ ₇₁	22,4	-1,0	-63,8	-22,4	-0,9	-63,8	-22,4	-2,2	-63,8	-22,4	2,4	-63,8
dyn. souč. ekv. zatížení	φ ₂	1,14	1,14	1,14	1,14	1,14	1,14	1,14	1,14	1,14	1,14	1,14	1,14
ekvival. rozkmit napětí	Δσ _{E,2,i}	12,2	-0,5	-34,6	-12,2	-0,5	-34,6	-12,2	-1,2	-34,6	-12,2	1,3	-34,6

ekvival. rozkmit napětí	$\Delta\sigma_{E,2}$	47,3			47,2			48,0			48,1		
tloušťka materiálu	t	-	-	-	-	-	-	-	-	-	-	-	-
vliv tloušťky materiálu	φ_t	-	-	-	-	-	-	-	-	-	-	-	-
kategorie detailu	$\Delta\sigma_C$	80			71			71			80		
$\gamma_{Fi} * \Delta\sigma_{E,2} =$		47,3			47,2			48,0			48,1		
$\varphi_t \Delta\sigma_C / \gamma_{Mi} =$		59,3			52,6			52,6			59,3		
		VYHOVUJE			VYHOVUJE			VYHOVUJE			VYHOVUJE		
Využití		0,80			0,90			0,91			0,81		

6.4.5.4. Zatížitelnost

$$\begin{aligned} N_{Ed} &= 1432,2 \text{ kN} & N_{Rd} &= 4980,5 \text{ kN} \\ M_{y,Ed} &= -238,5 \text{ kN.m} & M_{y,Rd} &= 859,1 \text{ kN.m} \\ M_{z,Ed} &= 3,6 \text{ kN.m} & M_{z,Rd} &= 180,5 \text{ kN.m} \end{aligned}$$

$$\begin{aligned} N_{rs,Ed} &= 805,6 \text{ kN} & N_{LM71,Ed} &= 626,6 \text{ kN} \\ M_{y,rs,Ed} &= -31,6 \text{ kN.m} & M_{y,LM71,Ed} &= -206,9 \text{ kN.m} \\ M_{z,rs,Ed} &= -4,6 \text{ kN.m} & M_{z,LM71,Ed} &= 8,2 \text{ kN.m} \end{aligned}$$

$$\eta_{1,rs} = \frac{N_{rs,Ed}}{N_{Rd}} = \frac{M_{y,Ed}}{M_{y,Rd}} + \frac{M_{z,Ed}}{M_{z,Rd}}$$

$$\eta_{1,rs} = \frac{805,63}{4980,55} + \frac{31,56}{859,05} + \frac{4,61}{180,46}$$

$$\eta_{1,rs} = 0,16 + 0,04 + 0,03 = 0,22$$

$$\eta_{1,LM71} = \frac{N_{LM71,Ed}}{N_{Rd}} + \frac{M_{y,LM71,Ed}}{M_{y,Rd}} + \frac{M_{z,LM71,Ed}}{M_{z,Rd}}$$

$$\eta_{1,LM71} = \frac{626,57}{4980,55} + \frac{206,94}{859,05} + \frac{8,18}{180,46}$$

$$\eta_{1,LM71} = 0,13 + 0,24 + 0,05 = 0,41$$

$$Z_{LM71} = \frac{1 - \eta_{1,rs}}{\eta_{1,LM71}} = \frac{0,78}{0,41} = 1,88$$

Rozhoduje únava – využití 91%. Při zmenšení pásnice na tl. 18 mm již nevyhoví.

6.4.6. D6

6.4.6.1. Vnitřní síly

Vnitřní síly - charakteristické hodnoty

		γ_F	Lok ϕ_3	α	N [kN]	Vy [kN]	Vz [kN]	Mz [kNm]	My [kNm]
Stálé zatížení	G_{k1}	1,35			13,4	1,9	0,1	-1,55	-0,47
Ostatní stálé zatížení	G_{k2}	1,35			54,3	0,6	0,4	-2,39	-1,43
Vlak LM71	Q_{71}	1,45	1,21	1,10	156,1	-0,4	-5,2	4,30	-20,90
Vlak LM71,min	$Q_{71,min}$	1,45	1,21	1,10	-92,00	1,5	3,4	-1,80	15,20
Nazatížený vlak	Q_{nez}	1,00			0,0	0,0	0,0	0,00	0,00
Rozjezdové a brzdné síly	Q_{lak}	1,45		1,10	15,7	0,1	0,1	-0,09	-0,11
Odstředivé síly	Q_{tk}	1,45		1,10	10,2	0,1	0,2	0,32	-0,66
Boční rázy	Q_{sk}	1,45		1,10	-3,9	0,1	0,1	0,14	-0,59
Vítr na konstrukci	$Q_{w,NK}$	1,50			2,7	0,0	-4,6	-0,03	-12,60
Vítr na pás pohyblivého	$Q_{w,vlak}$	1,50			5,3	0,1	-0,2	-0,17	-0,55
Teplota	Q_T	1,50			0,2	-0,8	0,0	-1,05	-0,24
Revizní chodník	Q_{ch}	1,50			5,5	-0,1	0,0	-0,24	0,90

Vnitřní síly- návrhové hodnoty

		N [kN]	Vy [kN]	Vz [kN]	Mz [kNm]	My [kNm]
Stálé zatížení	G_{k1}	18,1	2,6	0,2	-2,1	-0,6
Ostatní stálé zatížení	G_{k2}	73,3	0,8	0,6	-3,2	-1,9
Vlak LM71	Q_{71}	301,9	-0,8	-10,1	8,3	-220,4
Vlak LM71,min	$Q_{71,min}$	-177,9	2,9	6,6	-3,5	29,4
Nazatížený vlak	Q_{nez}	0,0	0,0	0,0	0,0	0,0
Rozjezdové a brzdné síly	Q_{lak}	25,0	0,1	0,1	-0,1	-0,2
Odstředivé síly	Q_{tk}	16,3	0,1	0,3	0,5	-1,1
Boční rázy	Q_{sk}	-6,2	0,1	0,2	0,2	-0,9
Vítr na konstrukci	$Q_{w,NK}$	4,0	0,0	-6,8	0,0	-18,9
Vítr na pás pohyblivého	$Q_{w,vlak}$	8,0	0,1	-0,2	-0,3	-0,8
Teplota	Q_T	0,2	-1,2	0,1	-1,6	-0,4
Revizní chodník	Q_{ch}	8,3	-0,1	0,0	-0,4	1,4
Sestavy zatížení:						
gr11 (LM71 + SW/0)	Q_{gr11}	332,0	-0,6	-9,7	8,5	-221,6
gr12 (LM71 + SW/0)	Q_{gr12}	324,5	-0,5	-9,5	9,0	-222,5
gr13 (brždění/rozjezd)	Q_{gr13}	332,0	-0,6	-9,7	8,5	-221,6
gr14 (odstředivé/boční ráz)	Q_{gr14}	324,5	-0,5	-9,5	9,0	-222,5
gr15 (nezatížený vlak)	Q_{gr15}	10,1	0,2	0,5	0,7	-2,0

komb. č.	N [kN]	Vy [kN]	Vz [kN]	Mz [kNm]	My [kNm]
2	442,1	2,1	-16,0	1,7	243,0

Únava - charakteristické hodnoty

		γ_F	Lok ϕ_2	Glo ϕ_2	α	N [kN]	V _z [kN]	M _z [kNm]	M _y [kNm]
Vlak LM71	Q ₇₁	1,00	1,00	1,00	1,00	156,1	-5,2	4,3	-20,9
Vlak LM71,min	Q _{71,min}	1,00	1,00	1,00	1,00	-92,00	3,4	-1,8	15,2

Únava - návrhové hodnoty

		N [kN]	V _z [kN]	M _z [kNm]	M _y [kNm]
Vlak LM71	Q ₇₁	156,1	-5,2	4,3	-20,9
Vlak LM71,min	Q _{71,min}	-92,00	3,4	-1,8	15,2

6.4.6.2. Mezní stav únosnosti

TAH S OHYBEM - PRUŽNÝ POSUDEK

$$\begin{aligned} N_{Ed} &= 442,1 \text{ kN} \\ M_{y,Ed} &= -243,0 \text{ kN.m} \\ M_{z,Ed} &= 1,7 \text{ kN.m} \end{aligned}$$

$$\begin{aligned} N_{Rk} &= 4629,27 \text{ kN} \\ M_{y,Rk}^h &= 783,3 \text{ kN.m} \\ M_{z,Rk}^h &= 162,4 \text{ kN.m} \end{aligned}$$

$$\begin{aligned} M_{y,Rk}^d &= 783,3 \text{ kN.m} \\ M_{z,Rk}^d &= 162,4 \text{ kN.m} \end{aligned}$$

$$\begin{aligned} \chi_y &= 1,00 \\ \chi_z &= 1,00 \\ \chi_{LT} &= 0,77 \end{aligned}$$

$$\begin{aligned} k_{yy} &= 1,0 \\ k_{yz} &= 1,0 \\ k_{zy} &= 1,0 \\ k_{zz} &= 1,0 \\ \gamma_{M1} &= 1,10 \end{aligned}$$

HORNÍ VLÁKNA

$$\frac{N_{Ed}}{\chi_y N_{Rk} \gamma_{M1}} + k_{yy} \frac{M_{y,Ed}}{\chi_{LT} M_{y,Rk} \gamma_{M1}} + k_{yz} \frac{M_{z,Ed}}{M_{z,Rk} \gamma_{M1}} \leq 1,0$$

$$\frac{442053,96}{1} + 1 \frac{243017575,55}{1} + 1 \frac{1695044,61}{1} \leq 1,0$$

$$\begin{array}{ccccccc}
 4208429,75 & & 548331404,07 & & 147660358,44 & & \\
 \\
 0,11 & + & 0,44 & + & 0,01 & \leq & 1,0 \\
 & & & & 0,56 & < & 1,0 \rightarrow \text{VYHOVUJE}
 \end{array}$$

$$\frac{\frac{N_{Ed}}{\chi_z N_{Rk}}}{\gamma_{M1}} + k_{zy} \frac{\frac{M_{y,Ed}}{\chi_{LT} M_{y,Rk}}}{\gamma_{M1}} + k_{zz} \frac{\frac{M_{z,Ed}}{M_{z,Rk}}}{\gamma_{M1}} \leq 1,0$$

$$\frac{442053,96}{4208429,75} + 1 \frac{243017575,55}{548331404,07} + 1 \frac{1695044,61}{147660358,44} \leq 1,0$$

$$\begin{array}{ccccccc}
 0,11 & + & 0,44 & + & 0,01 & \leq & 1,0 \\
 & & & & 0,56 & < & 1,0 \rightarrow \text{VYHOVUJE}
 \end{array}$$

DOLNÍ VLÁKNA

$$\frac{\frac{N_{Ed}}{\chi_y N_{Rk}}}{\gamma_{M1}} + k_{yy} \frac{\frac{M_{y,Ed}}{\chi_{LT} M_{y,Rk}}}{\gamma_{M1}} + k_{yz} \frac{\frac{M_{z,Ed}}{M_{z,Rk}}}{\gamma_{M1}} \leq 1,0$$

$$\frac{442053,96}{4208429,75} + 1,0 \frac{-243017575,55}{548331404,07} + 1,0 \frac{-1695044,61}{147660358,44} \leq 1,0$$

$$\begin{array}{ccccccc}
 0,11 & + & -0,44 & + & -0,01 & \leq & 1,0 \\
 & & & & 0,35 & < & 1,0 \rightarrow \text{VYHOVUJE}
 \end{array}$$

$$\frac{\frac{N_{Ed}}{\chi_z N_{Rk}}}{\gamma_{M1}} + k_{zy} \frac{\frac{M_{y,Ed}}{\chi_{LT} M_{y,Rk}}}{\gamma_{M1}} + k_{zz} \frac{\frac{M_{z,Ed}}{M_{z,Rk}}}{\gamma_{M1}} \leq 1,0$$

$$\frac{442053,96}{4208429,75} + 1,0 \frac{-243017575,55}{548331404,07} + 1,0 \frac{-1695044,61}{147660358,44} \leq 1,0$$

$$\begin{array}{ccccccc}
 0,11 & + & -0,44 & + & -0,01 & \leq & 1,0 \\
 & & & & 0,35 & < & 1,0 \rightarrow \text{VYHOVUJE}
 \end{array}$$

6.4.6.3. Mezní stav únavy

Diagonála D5

Detail A

Oboustranné svary plechů nebo pásů

kat. 80

Detail B,C
Detail D

Konec průběžných svarů u překlenovacích otvorů
Oboustranné svary plechů nebo pásů

kat. 71
kat. 80

Číslo detailu		A			B			C			D		
		N	My	Mz	N	My	Mz	N	My	Mz	N	My	Mz
rozpětí	L =	21,88	21,88	21,88	21,88	21,88	21,88	21,88	21,88	21,88	21,88	21,88	21,88
náhradní délka	L_{ϕ} =	21,88	21,88	21,88	21,88	21,88	21,88	21,88	21,88	21,88	21,88	21,88	21,88
vliv rozpětí	λ_1 =	0,66	0,66	0,66	0,66	0,66	0,66	0,66	0,66	0,66	0,66	0,66	0,66
vliv objemu dopravy	λ_2 =	0,72	0,72	0,72	0,72	0,72	0,72	0,72	0,72	0,72	0,72	0,72	0,72
souč. návrh. doby života	λ_3 =	1,00	1,00	1,00	1,00	1,00	1,00	1,00	1,00	1,00	1,00	1,00	1,00
vliv počtu kolejí	λ_4 =	1,00	1,00	1,00	1,00	1,00	1,00	1,00	1,00	1,00	1,00	1,00	1,00
souč. ekvival. poškození	$\lambda_{pole'}$ =	0,48	0,48	0,48	0,48	0,48	0,48	0,48	0,48	0,48	0,48	0,48	0,48
souč. ekvival. poškození	λ =	0,48	0,48	0,48	0,48	0,48	0,48	0,48	0,48	0,48	0,48	0,48	0,48
referenční rozkmit napětí	$\Delta\sigma_{71}$	16,8	-1,1	-76,7	-16,8	-1,0	-76,7	-16,8	-2,5	-76,7	-16,8	2,7	-76,7
dyn. souč. ekv. zatížení	ϕ_2	1,14	1,14	1,14	1,14	1,14	1,14	1,14	1,14	1,14	1,14	1,14	1,14
ekvival. rozkmit napětí	$\Delta\sigma_{E,2,i}$	9,1	-0,6	-41,6	-9,1	-0,6	-41,6	-9,1	-1,3	-41,6	-9,1	1,5	-41,6
ekvival. rozkmit napětí	$\Delta\sigma_{E,2}$	51,3			51,3			52,1			52,2		
tloušťka materiálu	t	-	-	-	-	-	-	-	-	-	-	-	-
vliv tloušťky materiálu	ϕ_t	-	-	-	-	-	-	-	-	-	-	-	-
kategorie detailu	$\Delta\sigma_C$	80			71			71			80		
$\gamma_{Fi} \cdot \Delta\sigma_{E,2} =$		51,3			51,3			52,1			52,2		
$\phi_t \Delta\sigma_C / \gamma_{Mi} =$		59,3			52,6			52,6			59,3		
		VYHOVUJE			VYHOVUJE			VYHOVUJE			VYHOVUJE		
Využití		0,87			0,97			0,99			0,88		

Využití 99%.

6.4.6.4. Zatížitelnost

$$\begin{array}{ll}
 N_{Ed} = 442,1 & \text{kN} \\
 M_{y,Ed} = -243,0 & \text{kN.m} \\
 M_{z,Ed} = 1,7 & \text{kN.m}
 \end{array}
 \qquad
 \begin{array}{ll}
 N_{Rd} = 4629,3 & \text{kN} \\
 M_{y,Rd} = 783,3 & \text{kN.m} \\
 M_{z,Rd} = 162,4 & \text{kN.m}
 \end{array}$$

$$\begin{array}{ll}
 N_{rs,Ed} = 140,2 & \text{kN} \\
 M_{y,rs,Ed} = -22,6 & \text{kN.m} \\
 M_{z,rs,Ed} = -6,6 & \text{kN.m}
 \end{array}
 \qquad
 \begin{array}{ll}
 N_{LM71,Ed} = 301,9 & \text{kN} \\
 M_{y,LM71,Ed} = -220,4 & \text{kN.m} \\
 M_{z,LM71,Ed} = 8,3 & \text{kN.m}
 \end{array}$$

$$\eta_{1,rs} = \frac{N_{rs,Ed}}{N_{Rd}} = \frac{M_{y,Ed}}{M_{y,Rd}} + \frac{M_{z,Ed}}{M_{z,Rd}}$$

$$\eta_{1,rs} = 140,18 + 22,60 + 6,62$$

$$\begin{array}{|c|c|c|} \hline 4629,27 & 783,33 & 162,43 \\ \hline \end{array}$$

$$\eta_{1,rs} = 0,03 + 0,03 + 0,04 = 0,10$$

$$\eta_{1,LM71} = \frac{N_{LM71,Ed}}{N_{Rd}} + \frac{M_{y,LM71,Ed}}{M_{y,Rd}} + \frac{M_{z,LM71,Ed}}{M_{z,Rd}}$$

$$\eta_{1,LM71} = \frac{301,88}{4629,27} + \frac{220,42}{783,33} + \frac{8,32}{162,43}$$

$$\eta_{1,LM71} = 0,07 + 0,28 + 0,05 = 0,40$$

$$Z_{LM71} = \frac{1 - \eta_{1,rs}}{\eta_{1,LM71}} = \frac{0,90}{0,40} = 2,26$$

ÚNAVA

$$Z_{LM71} = \frac{\Delta\sigma_c / \gamma_f}{\Delta\sigma_{E2} \cdot \gamma_{ff}} = \frac{52,59}{52,06} = 1,01$$

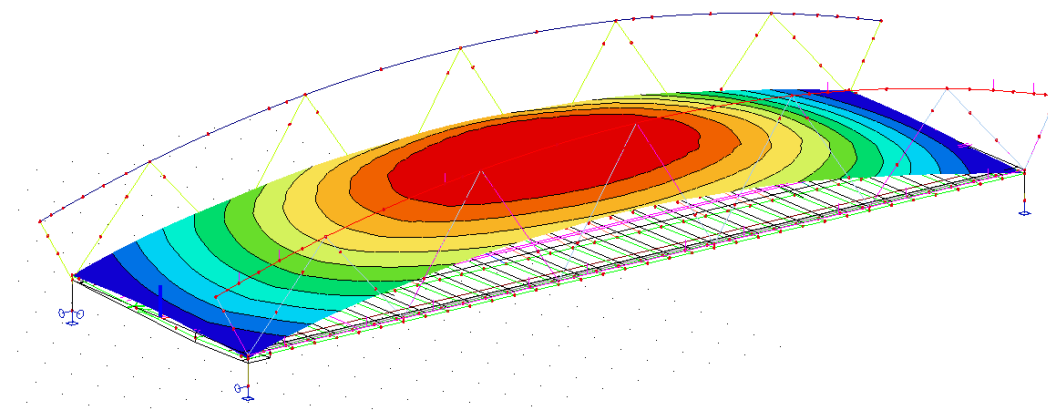
7. Dynamické chování konstrukce

Byly zjištěny základní tvary kmitání konstrukce a první vlastní frekvence mostu zatíženého stálými zatíženími.

Horní mez $n_o = 94,76 \cdot L^{-0,746} = 94,76 \cdot 21,875^{-0,746} = 9,48 \text{ Hz}$

Dolní mez $n_o = 23,58 \cdot L^{-0,592} = 23,58 \cdot 21,875^{-0,592} = 3,79 \text{ Hz}$

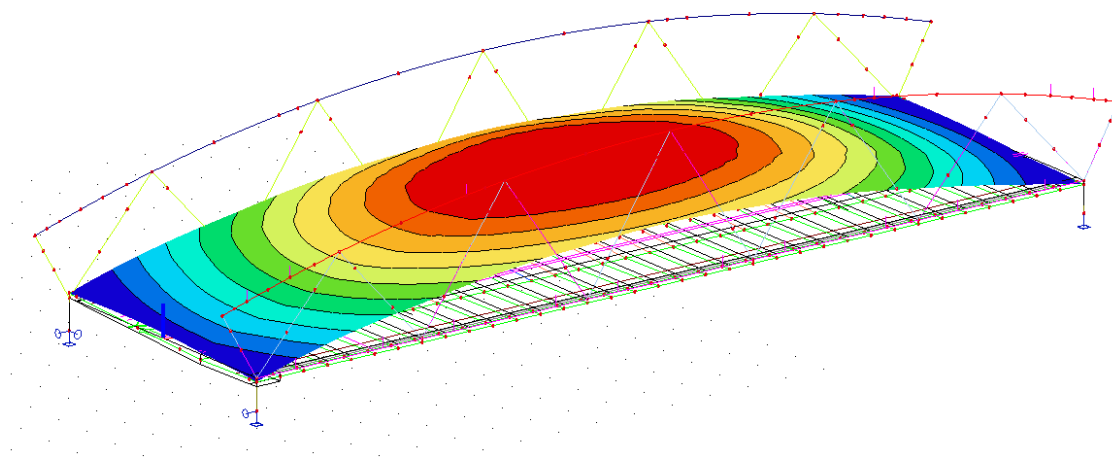
1. ohybová frekvence mostu při nominální odchylce šterku + 30%
 $n_o = 5,89 \text{ Hz}$



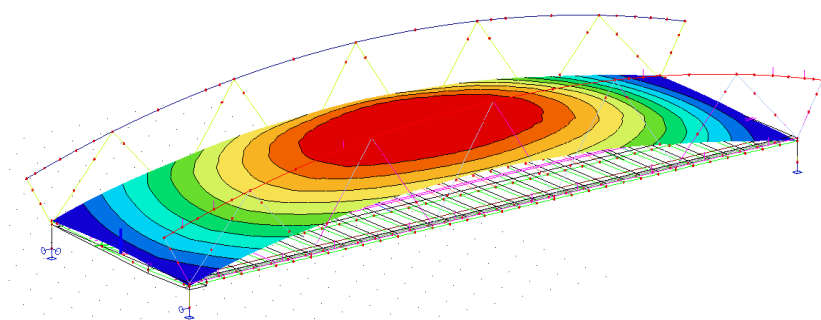
$$3,79 \text{ Hz} < 5,89 \text{ Hz} < 9,48 \text{ Hz}$$

2. ohybová frekvence mostu při nominální odchylce šterku - 30%
 $n_o = 8,11 \text{ Hz}$

$$3,79 \text{ Hz} < 8,11 \text{ Hz} < 9,48 \text{ Hz}$$



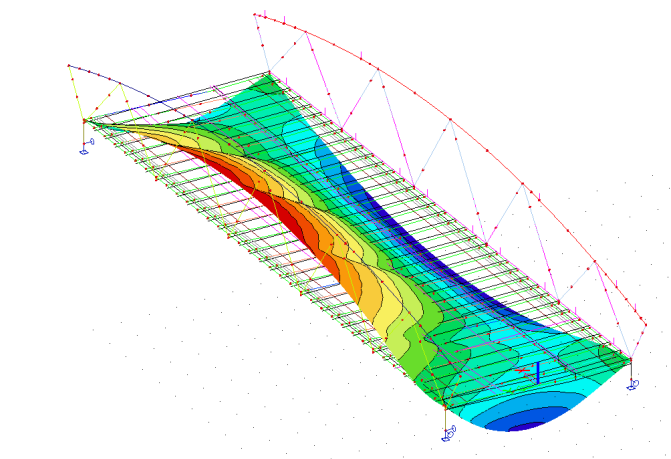
3. ohybová frekvence mostu při normální hodnotě vrstvy šterku
 $n_o = 7,28 \text{ Hz}$



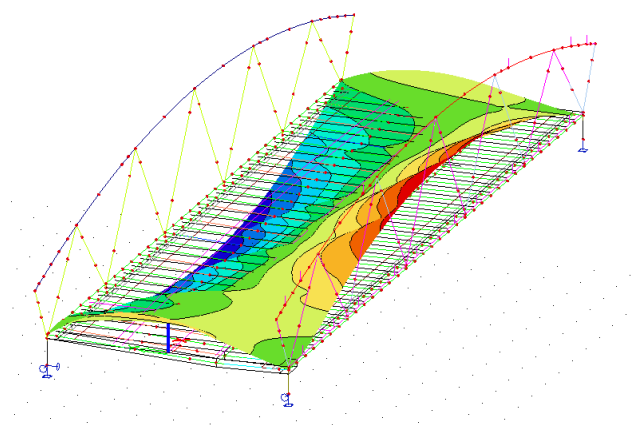
$$3,79 \text{ Hz} < 7,28 \text{ Hz} < 9,48 \text{ Hz}$$

Na základě vývojového diagramu z ČSN EN 1991-2, změna Z4 11/2015, jsou splněny meze pro 1. vlastní frekvence mostu zatíženého stálými zatíženími. Dynamická analýza není požadována. Posouzení provedeno dle vhodného postupu podle ČSN EN 1991-2, 6.4.3 (1) (Poznámka 3).

4. torzní frekvence mostu při nominální odchylce šterku + 30%
 $n_T = 8,29 \text{ Hz} > f_{h0} = 1,2 \text{ Hz}$

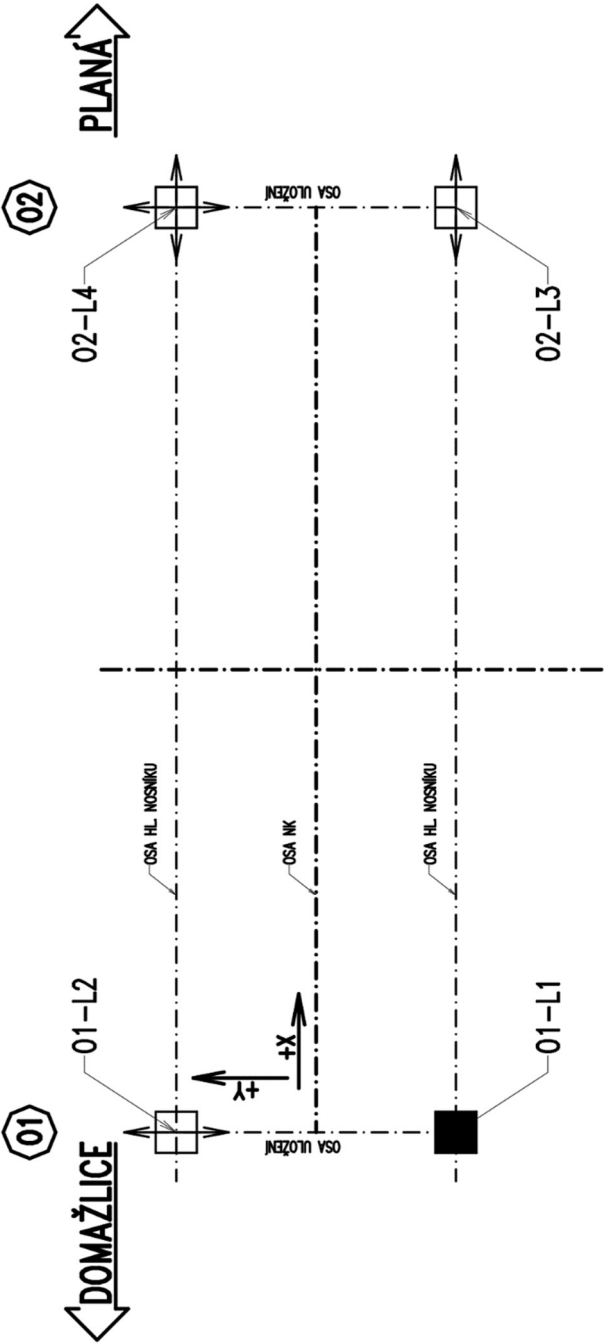


5. torzní frekvence mostu při nominální odchylce šterku - **30%**
 $n_T = 9,91 \text{ Hz} > f_{h0} = 1,2 \text{ Hz}$



8. Reakce

Ložisko	Max. síly [kN]				Natočení		Posun (mm)		Přednastavení (mm)		Výbava				Poznámky																																																																																																																																																																																																																																																																																																																																																																																																																																																																																																																																																																																																																																																																																																																																																																																																																																																																																																																																																																																																																																																																																																																																																																																																																																																																																																																																																																																																																																																																										
	Návrhové hodnoty s dyn. souč.						přímý		příčný		podélné		příčné			Kotvení	Záměrná deska	Ochranný pás	Stupnice posunů a index	Kotevní deska																																																																																																																																																																																																																																																																																																																																																																																																																																																																																																																																																																																																																																																																																																																																																																																																																																																																																																																																																																																																																																																																																																																																																																																																																																																																																																																																																																																																																																																																					
O1-L1		R _z	max.	2590	±																																																																																																																																																																																																																																																																																																																																																																																																																																																																																																																																																																																																																																																																																																																																																																																																																																																																																																																																																																																																																																																																																																																																																																																																																																																																																																																																																																																																																																																																																				



9. Deformace konstrukce

Svislá deformace konstrukce

1. Hledisko bezpečnosti dopravy:

$$LM-71 \cdot \alpha = 8,9 \cdot 1,1 = 9,79 \text{ mm} = \mathbf{9,8 \text{ mm}} < 1/600 L = 21875/600 = \mathbf{36,5 \text{ mm}}$$

VYHOVÍ

2. Hledisko pohodlí cestujících:

$$LM-71 \cdot \alpha \cdot \phi_3 = 8,9 \cdot 1,11 \cdot 1,21 = 11,8 \text{ mm} = \mathbf{12 \text{ mm}} < 1/600 L = 21875/600 = \mathbf{36,5 \text{ mm}}$$

VYHOVÍ

Pro jedno prosté pole a rychlost 50 km/h: $600 \cdot 0,7 = 420$ ale min. $L/600$ tzn. podmínka je shodná jako předchozí kritérium pro bezpečný provoz.

9.1. Nadvýšení konstrukce

Svislá deformace od vlastní tíhy v $L/2$ $u_{zg1} = 2,3 \text{ mm}$

Ostatní stálé zatížení $u_{zg2} = 3,5 \text{ mm}$

Nadvýšení:

$$u_{zg1} + u_{zg2} + 0,25 \cdot LM-71 \cdot \alpha \cdot \phi_3 = 2,3 + 3,5 + 0,25 \cdot 8,9 \cdot 1,1 \cdot 1,21 = 2,3 + 3,5 + 0,25 \cdot 12 = \mathbf{8,8 \text{ mm}}$$

při uvážení +30% šterku:

$$u_{zg1} + u_{zg2} + 0,25 \cdot LM-71 \cdot \alpha \cdot \phi_3 = 2,3 + 4,5 + 0,25 \cdot 8,9 \cdot 1,1 \cdot 1,21 = 2,3 + 4,5 + 0,25 \cdot 12 = \mathbf{9,8 \text{ mm}}$$

Na základě hodnot deformací, není nadvýšení konstrukce požadováno.

10. Posouzení spodní stavby

10.1. Úvod

Předmětem tohoto statického výpočtu je zjednodušené posouzení zesílení spodní stavby. V rámci projektové přípravy byla původní archivní dokumentace neúplná. Spodní stavba byla zkeslena ze zaměření a zčásti z archivní dokumentace. Vrtý ověřující hloubku založení nebyly prováděny.

10.2. Návrhové zatížení

Nová nosná konstrukce mostního objektu je navržena na účinky návrhového zatížení dle ČSN EN 1991-2: zatěžovací schéma LM71, klasifikační součinitel $\alpha = 1,1$. Ponechané části spodní stavby (kamenné dříky) mají zatížitelnost $Z_{UIC} > 1,0$, jsou tedy přechodné pro všechny traťové třídy.

10.3. Stavebně-technické podmínky

Vzhledem ke skutečnosti, že byla dohledána archivní dokumentace spodní stavby, ze které je patrný způsob založení i veškeré rozměry spodní stavby, nebyl v rámci přípravy stavebně – technický průzkum opěr prováděn. Stav opěr je dle revizní zprávy hodnocen stavem S1 – bez zjevných závažných závad a poruch.

Zdivo obou opěr je možno popsat jako zdivo ze žulových bloků a fylitových kamenů. I přes vizuálně dobrý stav spodní stavby je v rámci rekonstrukce navrženo zesílení spodní stavby, a to z důvodu přetížení spodní stavby a základové spáry od nové nosné konstrukce s průběžným kolejovým šterkovým ložem, která nahrazuje stávající nosnou konstrukci s prvkovou mostovkou. Založení bude zesíleno pomocí mikropilot, zdivo dříků opěr bude zpevněno pomocí injektáží.

10.4. Geotechnické podmínky

10.4.1. Inženýrskogeologický průzkum

V rámci přípravných prací byl proveden Geotechnický průzkum. Cílem průzkumných prací bylo zjištění geologického složení a vrstevního sledu základových půd, klasifikace zeminového a horninového prostředí, stanovení geotechnických parametrů zastižených zemin a hornin a ověření hydrogeologických poměrů budoucího staveniště, včetně dokumentace úrovně hladiny podzemní vody a jejího chemismu na betonové konstrukce.

Tabulka č. 1 - Seznam souřadnic a výšek realizovaných vrtů

Vrt	Souřadnice		z (m n. m.)
	Y	X	
JV1	874 042.30	1 056 165.80	474.65
JV2	874 033.65	1 056 226.10	474.86

Zeminy zastižené průzkumnými pracemi v úrovni základové spáry byly na základě výsledků laboratorních rozborů a zkoušek zatříděny podle ČSN P 73 1005. Geotechnické parametry jednotlivých vrstev byly odvozeny podle laboratorních zkoušek, místních zkušeností, analogie a jsou shrnuty dále v přehledné tabulce.

Ve znění ČSN EN 1998-1 „Navrhování konstrukcí odolných proti zemětřesení - část 1“ (Eurokód 8) předmětné území náleží do zóny s přiřazenou hodnotou referenčního zrychlení základové půdy $a_g R \dots 0,08 - 0,100 g$. Dle čl. 3.1.2 citované normy lze podloží přiřadit typu základových půd A.

Hydrogeologické poměry:

Ve smyslu hydrogeologického členění ČR náleží zájmové území s železniční tratí do rájónu základní vrstvy 6212 Krystalinikum v povodí Mže po Stříbro a Radbuzy po Staňkov, budovaného komplexu převážně metamorfovaných a méně magmatických hornin, které jsou jako celek málo propustné.

Relativně lepší propustnost má zvětralínový plášť a kvartérní pokryv, dále zóna přípovrchového rozpojení hornin a některé tektonicky porušené zóny a zlomy. Propustnost prostředí se odvíjí od charakteru zvětralín a hustoty, rozevření a výplně puklin. K proudění podzemní vody dochází zejména v eluviích a v pásnu přípovrchového rozpojení hornin (zvětrání v kombinaci s rozpukáním).

Pro posouzení hydrogeologických poměrů lokality byla v rámci průzkumu provedena dokumentace naražené a ustálené HPV a zjištění jejího chemismu. Tabulka č. 3 na str. 7 zahrnuje též úroveň hladiny Mže zjištěnou v době realizace průzkumu. Provedené vrtty JV1 a JV2 ověřují zvodnění vázané na prostředí kvartérních sedimentů s průlinovou propustností. Zvodeň má volnou souvislou hladinu ustálenou 1,20 - 1,45 m pod stávající úrovní terénu, tj. na kótě 473,45 - 473,41 m n. m. Přibližně kopíruje jeho povrch a odpovídá při IGP zjištěné aktuální hladině Mže (473,35 m n. m.).

Ochrana území:

Vymezený úsek železniční trati náleží do dílčího povodí 4. řádu Mže, číslo hydrologického pořadí 1-10-01-0160-0-00, která protéká pod mostem v km 72,637. Podle serveru HEIS VÚV TGM není součástí žádné CHOPAV. Celý Tachov s okolím pokrývá rozsáhlé OP 3. stupně Milíkov-povrchový zdroj Mže (OkÚ Tachov - ŽP-893/91-234/3 z 29.10.1991)

Agresivita podzemní vody:

Dle výsledků zkrácených chemických rozborů (příloha č. 5) podzemní voda z kvartérních sedimentů z obou vrtů vytváří ve znění ČSN EN 206-1 slabě agresivní prostředí stupně XA1, vlivem obsahů 21,26 - 27,21 mg.l⁻¹ CO₂ agresivního na vápno (normové rozpětí pro stupeň XA1 činí 15 - 40 mg.l⁻¹).

geologické poměry:

Geomorfologicky náleží město Tachov do oblasti Českoleské, podcelku Tachovská brázda a okrsku Plánská pahorkatina (kód IA-2A-d), s výrazně rozčleněným erozně denudačním reliéfem, předurčeným geologickou stavbou území a jejím tektonickým porušením.

Předkvartérní podloží

Budují metamorfované horniny krystalinika Českého masívu, řazené k moldanubické oblasti, stáří proterozoikum - paleozoikum. Litologicky se jedná o dvojslídne pararuly ± se sillimanitem (ve výřezu geomapy zobrazené červenohnědými plochami s č. 1342), s protáhlé čočkovitými tělesy amfibolitů (zelené, kód 1252). Směrem k východu je prorážejí tělesa granitových hornin (1546) náležející k borskému masívu. Při povrchu pararuly vytvářejí hlinito-písčité i kamenité eluvia. Pararuly v navětralém a zdravém stavu ověřují oba provedené vrtty v hloubce 4,40 - 5,60 m pod stávajícím povrchem terénu, v úrovni 470,46 - 469,05 m n. m. Mírně zvlněný strop se zvolna zvedá směrem k jihu, tj. od vrtu JV1 k vrtu JV2.

Kvartérní pokryv reprezentují soudržné a nesoudržné sedimenty fluvialní geneze. Jejich hlavní součástí představuje pleistocénní údolní terasa Mže, složená ze špatně vytríděných polymiktních štěrků se zvýšeným obsahem jemnozrnných částic, s písčitou a s písčito-hlinitou mezizrnnou výplní. Vedle štěrkové frakce, tvořené pestrými horninami krystalinika a křemenem, v podobě dobře oválných valounů, zrn s nižším stupněm zaoblení vel. do 12 cm i téměř ostrohranných úlomků, obsahují při rozhraní s podložím též kamenitou složku vel. až do 15 cm, jako ostrohranné

deskovité a hranolovité bloky hornin rulového složení. Souhrnná mocnost štěrků činí 2,10 - 2,90 m.

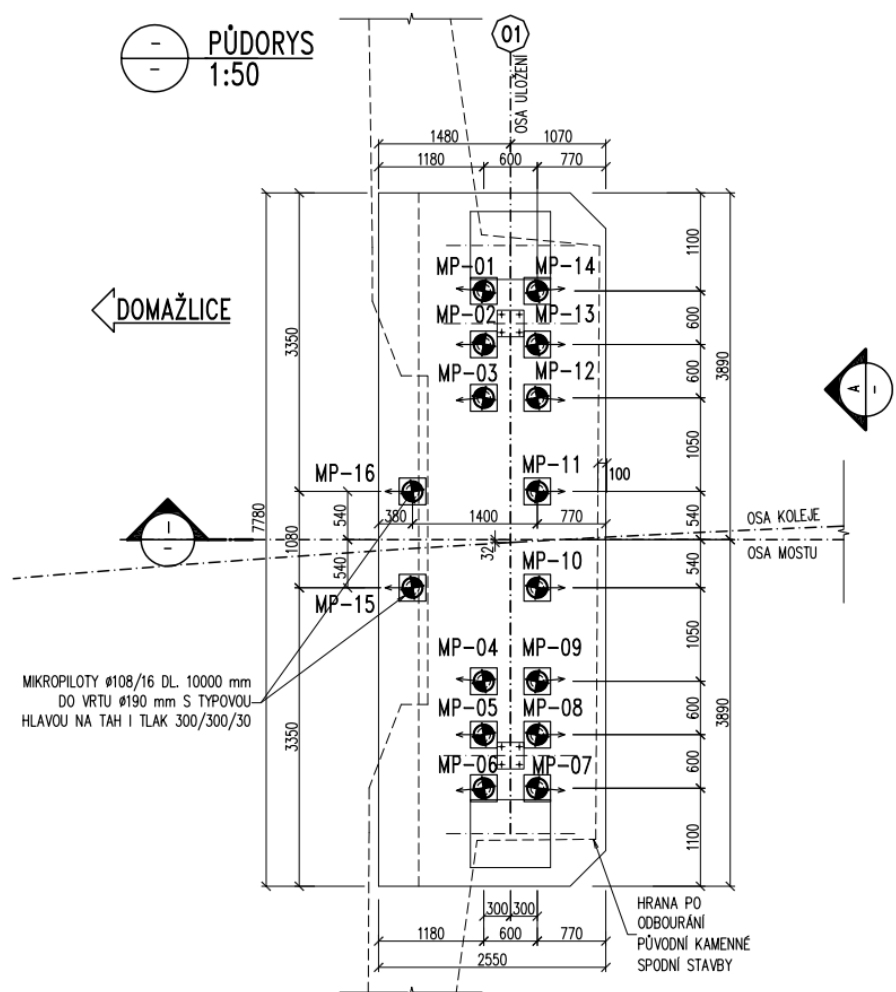
Deluvia a sprašové hlíny mají dle geologické mapy malé plošné rozšíření. V redeponované podobě jsou součástí nivních sedimentů. V nejsvrchnější části vrstevního profilu se nacházejí uloženiny antropogenního původu - navážky, tvořené místními zeminami (písečné jíly a hlinité písky) s příměsí úlomků cihel, vymezené v mocnosti 0,40 - 0,70 m. V okolí vrtu JV2 je pokrývá humózní písčité hlína tl. 0,30 m, v místě vrtu JV1 pak jen drn tl. 0,10 m.

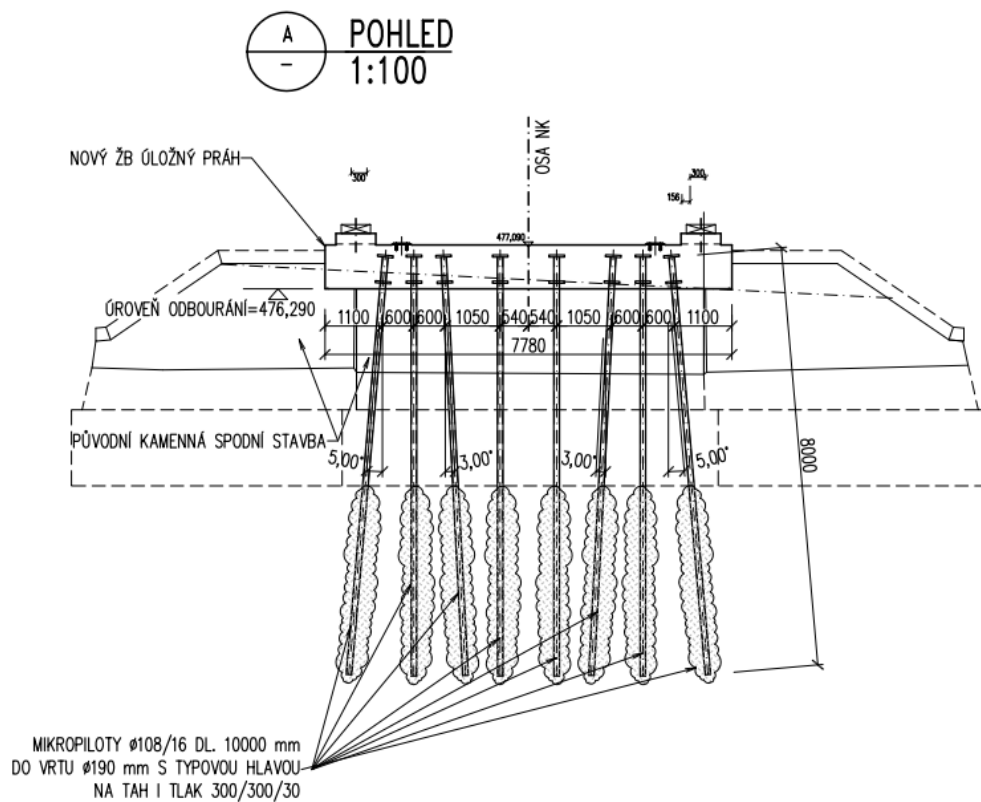
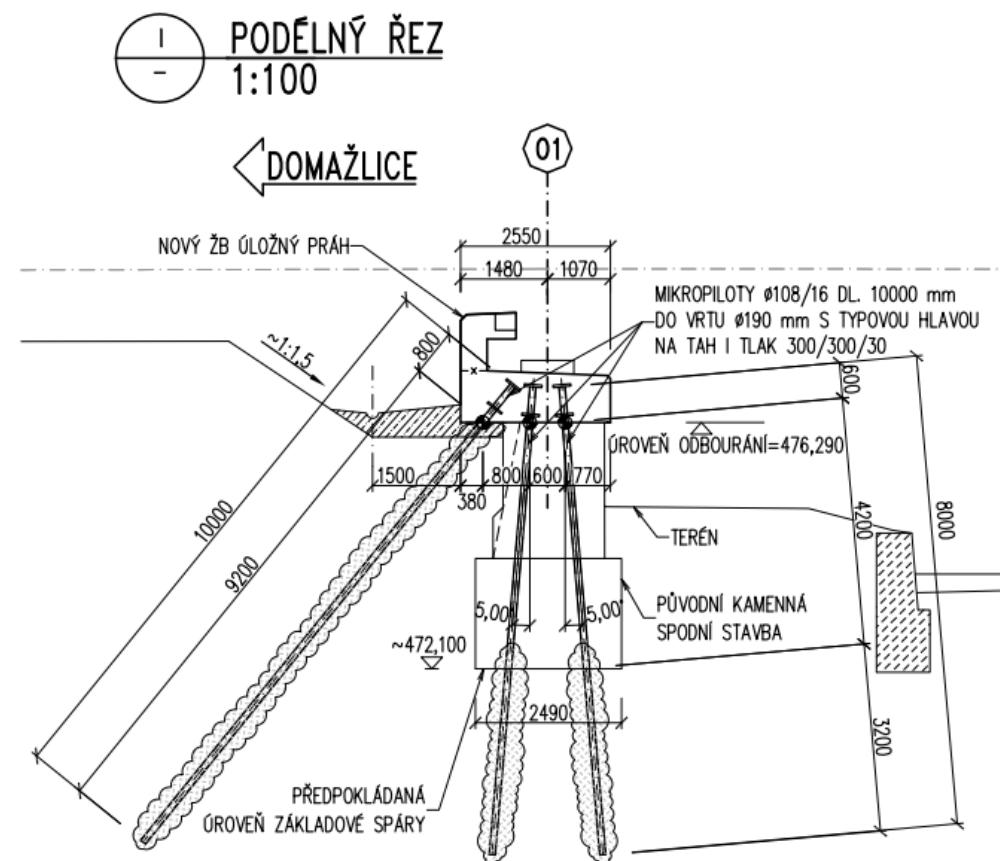
10.5. Popis statického modelu

Pro výpočet globálních účinků zatížení a stanovení vnitřních sil a deformací byl vytvořen kombinovaný prostorový model v programu Scia Engineer. Je tvořen z prutových prvků kombinovaných s desko-stěnovými prvky. Průřezové veličiny modelovaných prutů odpovídají průřezovým charakteristikám skutečných prvků. Z tohoto modelu byly i stanoveny maximální reakce a síly na ložiska.

Vlastní posouzení zesílení mikropilot bylo provedeno v programu GEO 5 (FINE s.r.o.)

10.5.1. Geometrie spodní stavby





10.6. Předpoklady výpočtu

Dle podkladů od zhotovitele zesílení spodní stavby byly upraveny okrajové podmínky a upraven výpočet spodní stavby na následovně

Stávající spodní stavba je založena na dřevěných roštích. Není zcela jasné zda-li není dokonce rošt podporován dřevěnými pilotami.

Na základě těchto skutečností je uvažováno s tím, že stávající těleso spodní stavby a nové betonové části opěr (nahrazující původní kamenné zdivo), je přenášeno stávající spodní kamennou spodní stavbou. Nové mikropiloty přenášejí novou ocelovou konstrukci včetně všech vniklých nahodilých kombinací (zatěžovací schéma LM71, klasifikační součinitel $\alpha = 1,21$)

Na základě těchto uvažování je zatížitelnost spodní stavby $Z_{LM71}=1,21$.

10.7. Přílohy

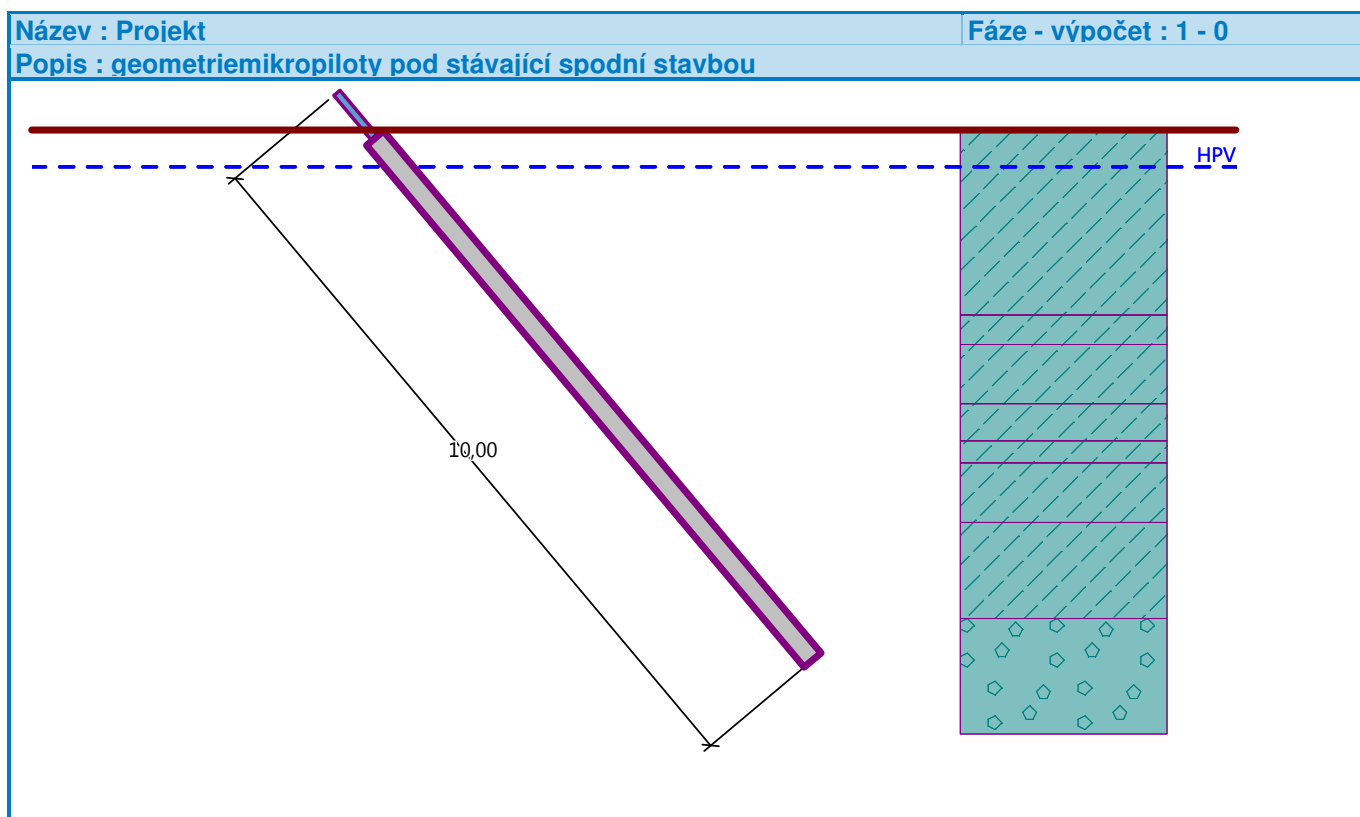
7.2 Posouzení tažené mikropiloty u pevného ložiska – výstup GEO5.

Výpočet Mikropiloty

Vstupní data

Projekt

Akce : Rekonstrukce mostů v km 72,637 a 72,721 trati Domažlice - Planá
Část : Posouzení zesílení spodní stavby
Vypracoval : Ing. T. Vejčera
Datum : 19.6.2023



Nastavení

Standardní - EN 1997 - DA2

Materiály a normy

Betonové konstrukce : EN 1992-1-1 (EC2)

Součinitele EN 1992-1-1 : standardní
Ocelové konstrukce : EN 1993-1-1 (EC3)
Dílčí součinitel únosnosti ocelového průřezu : $\gamma_{M0} = 1,00$

Mikropiloty

Výpočet únosnosti dříku : geometrická (Eulerova) metoda
Výpočet únosnosti kořene : metoda Lizziho
Metodika posouzení : mezní stavy

Součinitele redukce parametrů zemin			
Trvalá návrhová situace			
Součinitel redukce úhlu vnitřního tření :	$\gamma_{m\phi}$ =	1,25	[-]
Součinitel redukce soudržnosti :	γ_{mc} =	1,40	[-]
Součinitel redukce kritické síly :	γ_{mf} =	1,00	[-]
Součinitel spolehlivosti cementové směsi :	γ_{sc} =	1,50	[-]
Součinitel spolehlivosti oceli :	γ_{ss} =	1,50	[-]
Součinitel redukce únosnosti kořene :	γ_r =	1,50	[-]

Parametry zemin

GT1

Objemová tíha : $\gamma = 18,50 \text{ kN/m}^3$
Úhel vnitřního tření : $\phi_{ef} = 27,00^\circ$
Soudržnost zeminy : $c_{ef} = 0,00 \text{ kPa}$
Obj.tíha sat.zeminy : $\gamma_{sat} = 18,50 \text{ kN/m}^3$

GT2

Objemová tíha : $\gamma = 18,50 \text{ kN/m}^3$
Úhel vnitřního tření : $\phi_{ef} = 0,00^\circ$
Soudržnost zeminy : $c_{ef} = 0,00 \text{ kPa}$
Obj.tíha sat.zeminy : $\gamma_{sat} = 18,50 \text{ kN/m}^3$

GT3

Objemová tíha : $\gamma = 19,50 \text{ kN/m}^3$
Úhel vnitřního tření : $\phi_{ef} = 32,00^\circ$
Soudržnost zeminy : $c_{ef} = 1,00 \text{ kPa}$
Obj.tíha sat.zeminy : $\gamma_{sat} = 20,00 \text{ kN/m}^3$

GT5

Objemová tíha : $\gamma = 25,50 \text{ kN/m}^3$
Úhel vnitřního tření : $\phi_{ef} = 32,00^\circ$
Soudržnost zeminy : $c_{ef} = 70,00 \text{ kPa}$
Obj.tíha sat.zeminy : $\gamma_{sat} = 25,50 \text{ kN/m}^3$

Geometrie

Průměr = 108,0 mm
Tloušťka stěny = 16,0 mm

Volná délka mikropiloty $l = 0,80 \text{ m}$
Délka kořene $l_r = 9,20 \text{ m}$
Průměr kořene $d_r = 0,30 \text{ m}$
Odklon mikropiloty od svislice $\alpha = 40,00^\circ$
Vysazení mikropiloty nad terén $l_a = 0,50 \text{ m}$

Materiál konstrukce

Objemová tíha $\gamma = 23,00 \text{ kN/m}^3$
Výpočet betonových konstrukcí proveden podle normy EN 1992-1-1 (EC2).

Beton : C 25/30

Válcová pevnost v tlaku

$$f_{ck} = 25,00 \text{ MPa}$$

Modul pružnosti

$$E_{cm} = 31000,00 \text{ MPa}$$

Ocel konstrukční: EN 10210-1 : S 355

Mez kluzu

$$f_y = 355,00 \text{ MPa}$$

Modul pružnosti

$$E = 210000,00 \text{ MPa}$$

Geologický profil a přiřazení zemin

Informace o umístění

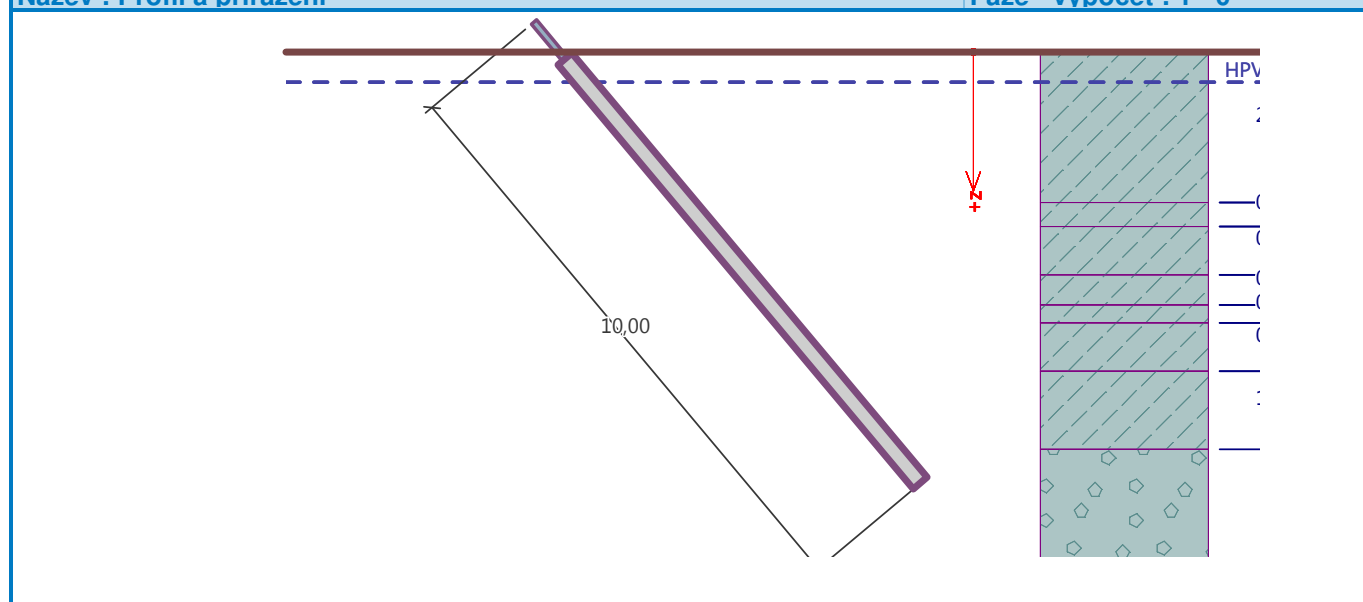
Kóta povrchu = 3,70 m

Geologický profil a přiřazení zemin

Číslo	Mocnost vrstvy t [m]	Hloubka z [m]	Nadm. výška [m]	Přiřazená zemina	Vzorek
1	2,50	0,00 .. 2,50	3,70 .. 1,20	GT1	
2	0,40	2,50 .. 2,90	1,20 .. 0,80	GT1	
3	0,80	2,90 .. 3,70	0,80 .. 0,00	GT2	
4	0,50	3,70 .. 4,20	0,00 .. -0,50	GT2	
5	0,30	4,20 .. 4,50	-0,50 .. -0,80	GT3	
6	0,80	4,50 .. 5,30	-0,80 .. -1,60	GT3	
7	1,30	5,30 .. 6,60	-1,60 .. -2,90	GT3	
8	-	6,60 .. ∞	-2,90 .. -	GT5	

Název : Profil a přiřazení

Fáze - výpočet : 1 - 0



Zatížení

Číslo	Zatížení		Název	Síla N [kN]	Moment M [kNm]
	nové	změna			
1	Ano		Zatížení č. 1	-1030,00	0,00

Hladina podzemní vody

Hladina podzemní vody je v hloubce 0,50 m od původního terénu.

Posouzení čís. 1

Posouzení průřezu 1

Výpočet proveden pro zatěžovací stav číslo 1. (Zatížení č. 1)

Mikropilota je tažená, vnitřní stabilita vyhovuje.

Posouzení únosnosti spřaženého průřezu: Tažená mikropilota - s pevností betonu v tahu se nepočítá.

Napětí v oceli = 222,73 MPa

Výpočtová pevnost oceli = 236,67 MPa

Spřažený průřez mikropiloty VYHOVUJE

Posouzení čís. 1

Posouzení kořene

Způsob výpočtu - metoda Lizziho.

Součinitel vlivu průměru kořene = 0,80

Průměrné mezní plášťové tření $q_{sav} = 250,00$ kPa

Posouzení tažené mikropiloty

Únosnost pláště mikropiloty $R_s = 1734,16$ kN

Výpočtová únosnost kořene mikropiloty $R_d = 1156,11$ kN

Maximální tahová síla $N_{max} = 1030,00$ kN

Únosnost tažené mikropiloty VYHOVUJE

7.1 Posouzení tlačené mikropiloty pod pevným ložiskem – výstup GEO5

Výpočet Mikropiloty

Vstupní data

Projekt

Akce : Rekonstrukce mostů v km 72,637 a 72,721 trati Domažlice - Planá

Část : Posouzení zesílení spodní stavby

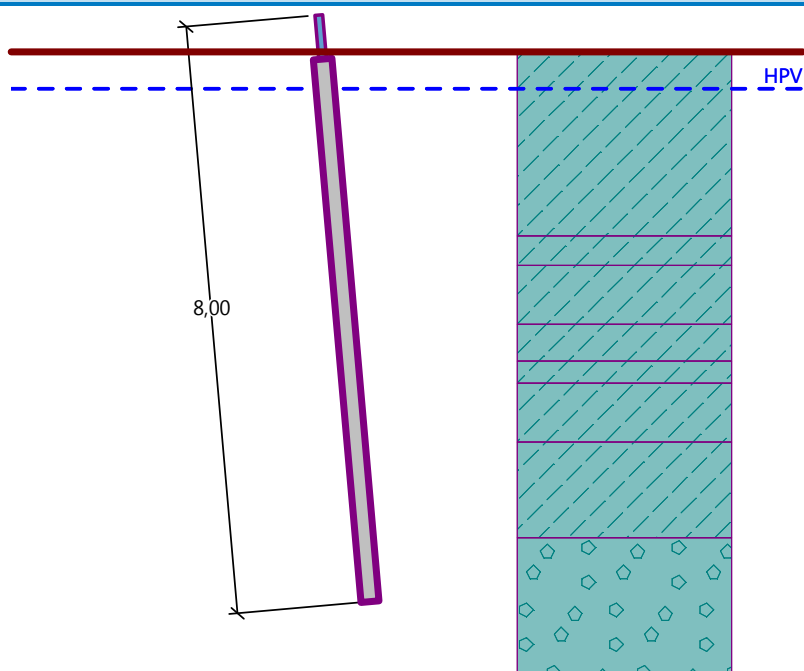
Vypracoval : Ing. T. Vejčera

Datum : 19.6.2023

Název : Projekt

Fáze - výpočet : 1 - 0

Popis : geometriemikropiloty pod stávající spodní stavbou



Nastavení

Standardní - EN 1997 - DA2

Materiály a normy

Betonové konstrukce : EN 1992-1-1 (EC2)
Součinitele EN 1992-1-1 : standardní
Ocelové konstrukce : EN 1993-1-1 (EC3)
Dílní součinitel únosnosti ocelového průřezu : $\gamma_{M0} = 1,00$

Mikropiloty

Výpočet únosnosti dříku : geometrická (Eulerova) metoda
Výpočet únosnosti kořene : metoda Lizziho
Metodika posouzení : mezní stavy

Součinitele redukce parametrů zemin			
Trvalá návrhová situace			
Součinitel redukce úhlu vnitřního tření :	$\gamma_{m\phi} =$	1,25	[-]
Součinitel redukce soudržnosti :	$\gamma_{mc} =$	1,40	[-]
Součinitel redukce kritické síly :	$\gamma_{mf} =$	1,00	[-]
Součinitel spolehlivosti cementové směsi :	$\gamma_{sc} =$	1,50	[-]
Součinitel spolehlivosti oceli :	$\gamma_{ss} =$	1,50	[-]
Součinitel redukce únosnosti kořene :	$\gamma_r =$	1,50	[-]

Parametry zemin

GT1

Objemová tíha : $\gamma = 18,50 \text{ kN/m}^3$
Úhel vnitřního tření : $\phi_{ef} = 27,00^\circ$
Soudržnost zeminy : $c_{ef} = 0,00 \text{ kPa}$
Obj.tíha sat.zeminy : $\gamma_{sat} = 18,50 \text{ kN/m}^3$

GT2

Objemová tíha : $\gamma = 18,50 \text{ kN/m}^3$

Úhel vnitřního tření : $\varphi_{ef} = 0,00^\circ$
Soudržnost zeminy : $c_{ef} = 0,00 \text{ kPa}$
Obj.tíha sat.zeminy : $\gamma_{sat} = 18,50 \text{ kN/m}^3$

GT3

Objemová tíha : $\gamma = 19,50 \text{ kN/m}^3$
Úhel vnitřního tření : $\varphi_{ef} = 32,00^\circ$
Soudržnost zeminy : $c_{ef} = 1,00 \text{ kPa}$
Obj.tíha sat.zeminy : $\gamma_{sat} = 20,00 \text{ kN/m}^3$

GT5

Objemová tíha : $\gamma = 25,50 \text{ kN/m}^3$
Úhel vnitřního tření : $\varphi_{ef} = 32,00^\circ$
Soudržnost zeminy : $c_{ef} = 70,00 \text{ kPa}$
Obj.tíha sat.zeminy : $\gamma_{sat} = 25,50 \text{ kN/m}^3$

Geometrie

Průměr = 108,0 mm
Tloušťka stěny = 16,0 mm

Volná délka mikropiloty $l = 0,60 \text{ m}$
Délka kořene $l_r = 7,40 \text{ m}$
Průměr kořene $d_r = 0,25 \text{ m}$
Odklon mikropiloty od svislice $\alpha = 5,00^\circ$
Vysazení mikropiloty nad terén $l_a = 0,50 \text{ m}$

Materiál konstrukce

Objemová tíha $\gamma = 23,00 \text{ kN/m}^3$
Výpočet betonových konstrukcí proveden podle normy EN 1992-1-1 (EC2).

Beton : C 25/30

Válcová pevnost v tlaku $f_{ck} = 25,00 \text{ MPa}$
Modul pružnosti $E_{cm} = 31000,00 \text{ MPa}$

Ocel konstrukční: EN 10210-1 : S 355

Mez kluzu $f_y = 355,00 \text{ MPa}$
Modul pružnosti $E = 210000,00 \text{ MPa}$

Geologický profil a přiřazení zemin

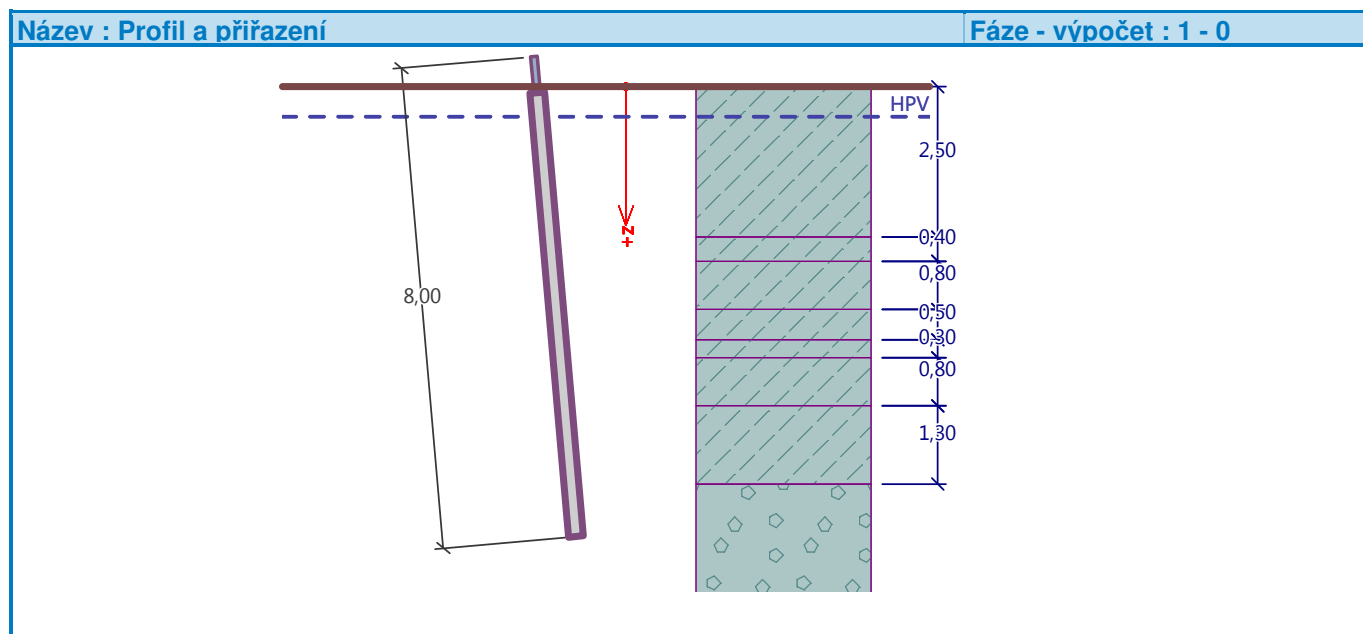
Informace o umístění

Kóta povrchu = 3,70 m

Geologický profil a přiřazení zemin

Číslo	Mocnost vrstvy t [m]	Hloubka z [m]	Nadm. výška [m]	Přiřazená zemina	Vzorek
1	2,50	0,00 .. 2,50	3,70 .. 1,20	GT1	
2	0,40	2,50 .. 2,90	1,20 .. 0,80	GT1	
3	0,80	2,90 .. 3,70	0,80 .. 0,00	GT2	
4	0,50	3,70 .. 4,20	0,00 .. -0,50	GT2	
5	0,30	4,20 .. 4,50	-0,50 .. -0,80	GT3	
6	0,80	4,50 .. 5,30	-0,80 .. -1,60	GT3	

Číslo	Mocnost vrstvy t [m]	Hloubka z [m]	Nadm. výška [m]	Přiřazená zemina	Vzorek
7	1,30	5,30 .. 6,60	-1,60 .. -2,90	GT3	
8	-	6,60 .. ∞	-2,90 .. -	GT5	



Zatížení

Číslo	Zatížení nové změna	Název	Síla N [kN]	Moment M [kNm]
1	Ano	Zatížení č. 1	431,00	0,00

Hladina podzemní vody

Hladina podzemní vody je v hloubce 0,50 m od původního terénu.

Posouzení čís. 1

Posouzení průřezu 1

Výpočet proveden pro zatěžovací stav číslo 1. (Zatížení č. 1)

Posouzení vnitřní stability průřezu: geometrická (Eulerova) metoda

Výpočet vzpěrné délky průřezu - uložení (kloub-kloub).

Modul reakce podloží $E_p = 10,00 \text{ MN/m}^3$

Spočtený počet půlvln $n = 1,36$

Vzpěrná délka $l_{cr} = 2,31 \text{ m}$

Kritická normálová síla $N_{crd} = 2057,38 \text{ kN}$

Maximální normálová síla $N_{max} = 431,00 \text{ kN}$

Vnitřní stabilita průřezu mikropiloty VYHOVUJE

Posouzení únosnosti spřaženého průřezu:

Plocha ideálního průřezu $A_i = 5,29E+03 \text{ mm}^2$

Moment setrvačnosti ideálního průřezu $J_i = 5,28E+06 \text{ mm}^4$

Štíhlost prutu $\lambda = 73,029$

Součinitel vzpěrnosti $\kappa = 0,731$

Napětí v oceli $= 119,21 \text{ MPa}$

Výpočtová pevnost oceli = 236,67 MPa

Spřažený průřez mikropiloty VYHOVUJE

Posouzení čís. 1

Posouzení kořene

Způsob výpočtu - metoda Lizziho.

Součinitel vlivu průměru kořene = 0,80

Průměrné mezní plášťové tření $q_{sav} = 200,00$ kPa

Posouzení tlačené mikropiloty

Únosnost pláště mikropiloty $R_s = 929,91$ kN

Výpočtová únosnost kořene mikropiloty $R_d = 619,94$ kN

Maximální normálová síla $N_{max} = 431,00$ kN

Únosnost tlačené mikropiloty VYHOVUJE

Tabulka zatížitelnosti

Přehled zatížitelnosti částí mostu (dle S5/1)

A. Identifikace mostu

TÚ (číslo, název): 0331 Havlovice - Tachov DÚ: 38 km:

7	2	6	3	7
---	---	---	---	---

B. Identifikace části mostu

Část mostu: nosná konstrukce / opěra / pilíř, poř. číslo 1....., pod kolejí č.
(ve směru staničení)

C. Doplnující údaje části mostu

Kategorie zatížitelnosti: ...C..... Výpočtový model: kombinovaný – prutový + deskostěnový

Geometrie koleje, uvažovaná v přepočtu části mostu (ve směru staničení):

	na začátku	uprostřed	na konci
poloměr oblouku	201 [m]	201 [m]	201 [m]
převýšení koleje	95 [mm]	95 [mm]	95 [mm]
excentricita osy koleje	59 [m]	310 [m]	32 [m]

Směrná úroveň spolehlivosti $\beta = \dots\dots\dots^5$, zbytková životnost:let

Popis použitých úlev ⁶⁾:

Popis závad uvažovaných v přepočtu části mostu:

.....
.....

Datum zjištění technického stavu mostu zpracovatelem přepočtu / /

Poznámka k části mostu či k rozhodující poloze zatížení: Zatížitelnost určena pro novou nosnou ocelovou konstrukci. U prvků s vyšší hodnotou zatížitelnosti byl rozhodující stav posouzení na únavu..

Poř. číslo	Prvek ⁴⁾	Detail	Namáhání	k _i	typ	L _p	ϕ_i	L _{ϕ}	$\gamma_{Q,LM71}$	$\gamma_{Q,LM71,E^{1)}$	Viz číslo strany přepočtu	Z _{LM71}	Z _{LM71,E²}	Poznámky ³⁾
1	2	3	4	5	6	7	8	9	10	11	12	13	14	15
1	Příčníky		Kombinace namáhání v MSÚ	1	N,V,M	-	1,36	6,6	1,45	-				1,67
	HL. nosníky			1										-
2	Diagonála D2			1	M,N	-	1,21	21,88	1,45	-				1,35
3	Diagonála D3			1	M,N	-	1,21	21,88	1,45	-				1,56
4	Diagonála D4			1	M,N	-	1,21	21,88	1,45	-				1,77
5	Diagonála D5			1	M,N	-	1,21	21,88	1,45	-				1,88
6	Diagonála D6			1	M,N	-	1,21	21,88	1,45	-				2,26
7	Horní pás			1	M,N	-	1,21	21,88	1,45	-				1,41
8	Dolní pás			1	M,N,V _z	-	1,21	21,88	1,45	-				2,76
	Opěry a založení			1										-
9	Mikropiloty			1	N	-	1,21	21,88	1,45	-				1,10
10	Úložný práh			1	reakce	-	1,21	21,88	1,45	-				1,11

Dne: 12 / 06 / 2023 , zatížitelnost určil: Ing. T. Vejběra